

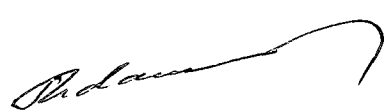
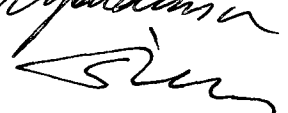
**İSTANBUL TEKNİK ÜNİVERSİTESİ ★ FEN BİLİMLERİ ENSTİTÜSÜ**

**AFET BÖLGELERİNDE YAPILACAK YAPILAR HAKKINDAKİ YENİ  
YÖNETMELİK İLE ESKİ YÖNETMELİĞİN ÇOK KATLI ÇELİK BİR  
BİNA ÜZERİNDE PROJE UYGULAMALI KIYASLANMASI**

**YÜKSEK LİSANS TEZİ  
İnş. Müh. Gonca BALCIOĞLU  
(501970021011)**

100543

**Tezin Enstitüye Verildiği Tarih : 30 Haziran 1999  
Tezin Savunulduğu Tarih : 5 Temmuz 1999**

**Tez Danışmanı :** Prof.Dr. Tevfik Seno ARDA   
**Diğer Jüri Üyeleri** Prof.Dr. Nesrin YARDIMCI   
Prof.Dr. Sadettin ÖKTEN (M.Ü.) 



**TEMMUZ 1999**

## ÖNSÖZ

Yapıların afetlere dayanıklı olması ve afetlerin yapılarda yarattığı zararların en aza indirilmesi için gerekli yapım kuralları, Bayındırlık ve İskan Bakanlığı tarafından yayınlanan ‘Afet Bölgelerinde Yapılacak Yapılar Hakkında Yönetmelik’ ile belirlenmiştir. En son 1998 yılında önemli oranda revize edildikten sonra yürürlüğe giren Yönetmeliğin bir önceki revizyonu 1975 yılında yapılmış ve 23 yıl bu şekilde yürürlükte kalmıştır. 1998 Yönetmeliği özellikle depreme dayanıklı yapım kuralları konusunda, diğer ülkelerde uygulanan çağdaş deprem yönetmelikleri ile uyumlu olarak pek çok yeni hüküm getirmektedir.

İ.T.Ü. Fen Bilimleri Enstitüsü, İnşaat Mühendisliği Bölümü Yapı Programı çerçevesinde gerçekleştirilen bu yüksek lisans çalışmasında, çok katlı çelik bir binanın 1975 ve 1998 yılları yönetmeliklerine göre yapılan deprem hesaplarındaki farklar kıyaslanacaktır.

Çalışmalarım boyunca eşsiz tecrübeleriyle yol gösteren sayın hocam Prof. Dr. Tevfik Seno ARDA'ya, projenin gelişmesinde büyük katkıları olan İnş. Yük. Müh. Kerem PEKER'e, tezimin hazırlanması sürecinde verdiğim sıkıntiya karşılıksız katılanan ERDEMİLİ Proje ve Müşavirlik Ltd. Şti. çalışanlarına, tezin yazılmasında bana çok yardım eden İnş. Müh. Yeliz FIRAT ve İnş. Müh. Ahmet KAPTAN'a ve çizimlerin hazırlanmasında ise Hülya ATEŞ'e teşekkürlerimi sunarım.

Temmuz 1999

Gonca BALCIOĞLU

## İÇİNDEKİLER

<b>ÖNSÖZ</b>	<b>ii</b>
<b>TABLO LİSTESİ</b>	<b>v</b>
<b>ŞEKİL LİSTESİ</b>	<b>vi</b>
<b>SEMBOL LİSTESİ</b>	<b>vii</b>
<b>ÖZET</b>	<b>xI</b>
<b>SUMMARY</b>	<b>xIII</b>
<b>1. GİRİŞ</b>	<b>1</b>
1.1. Konunun Genel Tanımı	1
1.2. Tez Konusunun Tanımı	2
1.3. Binanın Tanımı	3
1.3.1. Yangın merdiveni hesabı	4
1.4. Statik Sistemin Tanımı	6
1.4.1. Çok katlı binaların stabilitesi	6
1.4.2. Taşıyıcı sistemin belirlenmesi	7
1.5 Analiz Programının Tanımı	8
<b>2. DEPREME DAYANIKLI YAPI TASARIMI</b>	<b>9</b>
2.1. Depreme Karşı Güvenlik	9
2.2. 1998 Yılı Yönetmeliği	11
2.2.1. Depreme dayanıklı binalar için hesap kuralları	11
2.2.2. Çelik binalar için depreme dayanıklı tasarım	26
2.3. 1975 Yılı Yönetmeliği	30
2.3.1. Depreme dayanıklı binalar için hesap kuralları	30
2.3.2. Çelik binalar için depreme dayanıklı tasarım	33
2.4. Deprem Yönetmeliklerinin Kıyaslaması	33
2.4.1. Hesap yönteminin seçilmesi	33
2.4.2. Eşdeğer deprem yükü yöntemi	34
2.4.3. Dinamik hesap metodlarının kıyaslanması	36
2.4.4. Çelik yapıların tasarımının kıyaslanması	36
<b>3. YÜKLER</b>	<b>38</b>
3.1. Yüklerin Tanımı	38
3.2. Düşey Yükler	38
3.3. Dinamik Yükler	39
3.3.1. Rüzgar yükü	39
3.3.2. Deprem yükü	39
<b>4. YENİ DEPREM YÖNETMELİĞİNE GÖRE ÇÖZÜM</b>	<b>44</b>
4.1. Yapıya Etkiyen Yatay Yük	44

4.2. Deprem Hesabı	44
4.3. Temel Hesabı	45
4.3.1. Malzeme özellikleri	46
4.3.2. Ön boyutlandırma	46
4.3.3. Kesin hesap	47
4.3.4. Ankastre kolon ayağı hesabı	49
<b>5. ESKİ DEPREM YÖNETMELİĞİNE GÖRE ÇÖZÜM</b>	<b>50</b>
5.1. Yapıya Etkiyen Yatay Yük	50
5.2. Deprem Hesabı	50
5.3. Temel Hesabı	50
5.3.1. Malzeme özellikleri	51
5.3.2. Ön boyutlandırma	51
5.3.3. Kesin hesap	52
5.3.4. Ankastre kolon ayağı hesabı	53
<b>6. KESİT HESAPLARI VE BİRLEŞİMLER</b>	<b>54</b>
6.1. Yapısal Elemanların Özellikleri	54
6.2. Kesit Hesapları	54
6.3. Kirişlerin Kolonlardan Güçlü Olma Şartı	57
6.4. Birleşimler	57
<b>7. YENİ VE ESKİ DEPREM YÖNETMELİKLERİNE GÖRE YAPILAN HESAPLARIN KIYASLANMASI</b>	<b>61</b>
<b>8. SONUÇLAR VE ÖNERİLER</b>	<b>63</b>
<b>KAYNAKLAR</b>	<b>65</b>
<b>EKLER</b>	<b>66</b>
<b>ÖZGEÇMİŞ</b>	<b>96</b>

## TABLO LİSTESİ

	<u>Sayfa No</u>
<b>Tablo 2.1.</b> : Etkin Yer İvmesi Katsayısı ( $A_o$ ).....	15
<b>Tablo 2.2.</b> : Zemin Sınıflarına Göre Spektrum Katsayısı Değerleri $S(T)$ .....	17
<b>Tablo 2.3.</b> : Spektrum Karakteristik Periyotları ( $T_A, T_B$ ).....	18
<b>Tablo 2.4.</b> : Deprem Bölge Katsayısı $A_o, R=8$ İçin $A_o/R$ Ve Bu Bölgelerde Beklenen En Büyük İvme Değerleri .....	19
<b>Tablo 2.5.</b> : Hareketli Yük Katılım Katsayısı ( $n$ ).....	20
<b>Tablo 2.6.</b> : Yönetmeliklerin Kıyaslaması.....	34
<b>Tablo 6.1.</b> : Kolon-Kiriş Rijit Birleşimi.....	58
<b>Tablo 6.2.</b> : Kiriş-Kiriş Mafsallı Birleşimi.....	59
<b>Tablo A.1.</b> : Düzensiz Binalar.....	67
<b>Tablo A.2.</b> : Bina Önem Katsayısı ( $I$ ).....	68
<b>Tablo A.3.</b> : Zemin Grupları ( $A, B, C, D$ ).....	69
<b>Tablo A.4.</b> : Yerel Zemin Sınıfları ( $Z_1, Z_2, Z_3, Z_4$ ).....	69
<b>Tablo A.5.</b> : Taşıyıcı Sistem Davranış Katsayısı ( $R$ ).....	70
<b>Tablo A.6.</b> : Yapı Tipi Katsayısı ( $K$ ).....	71

## **SEKİL LİSTESİ**

	<u>Sayfa No</u>
<b>Şekil 1.1</b> : Binanın 3 Boyutlu Görünüşü.....	3
<b>Şekil 1.2</b> : Yangın Merdiveni.....	4
<b>Şekil 1.3</b> : Çelik Yüksek Binalarda Sistem $m^2$ Ağırlığı.....	7
<b>Şekil 2.1</b> : Elasto-Plastik Etki Şekil Değiştirme Bağıntısı.....	11
<b>Şekil 2.2</b> : Sünek ve Sünek Olmayan Etki-Şekil Değiştirme Bağıntısı.....	12
<b>Şekil 2.3</b> : Hesap Yönteminin Seçilmesi.....	13
<b>Şekil 2.4</b> : Uygulamada Hesap Yönteminin Seçilmesi.....	13
<b>Şekil 2.5</b> : Yeni Yönetmelik Spektrum Eğrisi.....	16
<b>Şekil 2.6</b> : Eski Yönetmelik Spektrum Eğrisi.....	31
<b>Şekil 4.1</b> : Temel Planı.....	48
<b>Şekil 6.1</b> : Kolon Birleşim Kaynakları.....	60
<b>Şekil C.1</b> : Sonlu Eleman Ağı.....	84
<b>Şekil C.2</b> : Depremli Hal İçin Zemin Emniyet Gerilmeleri.....	85
<b>Şekil C.3</b> : Düşey Yükleme İçin Zemin Emniyet Gerilmeleri.....	86
<b>Şekil C.4</b> : Zımbalama Dayanımı Oranları.....	87
<b>Şekil C.5</b> : X Yönü Şerit Donatı Miktarı.....	88
<b>Şekil C.7</b> : Y Yönü Şerit Donatı Miktarı.....	89
<b>Şekil D.1</b> : Depremli Hal İçin Zemin Emniyet Gerilmeleri.....	93
<b>Şekil D.2</b> : X Yönü Şerit Donatı Miktarı.....	94
<b>Şekil D.3</b> : Y Yönü Şerit Donatı Miktarı.....	95

## SEMBOL LİSTESİ

<b>A</b>	: Kat alanı
<b>a<sub>m</sub></b>	: Yangın merdiveninde bir kişinin olağan kullanma alanı
<b>a</b>	: Kaynak kalınlığı
<b>A(T)</b>	: Spektral ivme katsayısı
<b>A<sub>0</sub></b>	: Etkin yer ivmesi katsayısı
<b>A<sub>1</sub></b>	: Bir kattaki toplantı hacimleri alanı
<b>A<sub>s</sub></b>	: Çekme donatısı alanı
<b>b<sub>m</sub></b>	: Yangın merdiveni genişliği
<b>b</b>	: Profil başlık genişliği
<b>b'</b>	: Azaltılmış gövde genişliği
<b>B<sub>B</sub></b>	: Mod birleştirme yönteminde mod katkılarının birleştirilmesi ile bulunan herhangi bir büyülüklük
<b>B<sub>D</sub></b>	: B <sub>B</sub> büyülüğüne ait büyütülmüş değer
<b>b<sub>min</sub></b>	: Minimum yangın merdiveni genişliği
<b>C</b>	: Deprem katsayısı
<b>C<sub>0</sub></b>	: Deprem bölge katsayısı
<b>C<sub>t</sub></b>	: Eşdeğer deprem yükü yönteminde birinci doğal titreşim periyodunun yaklaşık olarak belirlenmesinde kullanılan katsayı
<b>D</b>	: Yapının deprem doğrultusuna paralel genişliği
<b>D<sub>i</sub></b>	: Eşdeğer deprem yükü yönteminde burulma düzensizliği olan binalar için i'inci katta $\pm 5\%$ ek dış merkezlige uygulanan büyütme katsayısı
<b>d<sub>i</sub></b>	: Binanın i'inci katında deprem yüklerine göre hesaplanan yer değiştirmeye
<b>E<sub>c</sub></b>	: 28 günlük betonun elastisite modülü
<b>F</b>	: Statik eşdeğer toplam yatay yük
<b>F<sub>b</sub></b>	: Profil başlık alanı
<b>f<sub>ck</sub></b>	: 28 günlük betonun silindir karakteristik basınç dayanımı
<b>f<sub>ctd</sub></b>	: Hesapta kullanılacak beton çekme dayanımı
<b>F<sub>g</sub></b>	: Profil gövde alanı
<b>F<sub>i</sub></b>	: Eşdeğer deprem yükü yönteminde i'inci kata etkiyen eşdeğer deprem yükü
<b>F<sub>k</sub></b>	: Kolonun yuva içindeki kesit alanı
<b>F<sub>t</sub></b>	: Eski yönetmelikte, binanın en üst katına etkiyen ek yatay yük
<b>F<sub>T</sub></b>	: Taban plakası alanı
<b>f<sub>yk</sub></b>	: Donatı çeliğinin karakteristik akma dayanımı
<b>g<sub>i</sub></b>	: Binanın i'inci katında toplam sabit yük
<b>h</b>	: Kolonun yuva içindeki boyu
<b>h<sub>i</sub></b>	: Binanın i'inci katının kat yüksekliği
<b>h<sub>k</sub></b>	: Profil yüksekliği
<b>H<sub>N</sub></b>	: Binanın temel üstünden itibaren ölçülen toplam yüksekliği (Bodrum katlarında rıjît çerçeveye perdelerinin bulunduğu binalarda zemin kat döşemesi üstünden itibaren ölçülen toplam yükseklik)

<b>I</b>	: Bina önem katsayısı
<b>i<sub>x</sub></b>	: Kesitin asal ekeni etrafında atalet yarıçapı
<b>I<sub>x</sub>, I<sub>y</sub></b>	: Kesit atalet momentleri
<b>K</b>	: Yapı tipi katsayısı
<b>K</b>	: Zemin yatak katsayısı
<b>I<sub>w1</sub>, I<sub>w2</sub>, I<sub>w3</sub></b>	: Kaynak boyları
<b>M<sub>pa</sub></b>	: Kolonun serbest yüksekliğinin alt ucunda $f_{ck}$ , $f_{yk}$ ve çeliğin pekleşmesi göz önüne alınarak hesaplanan pekleşmeli taşıma gücü momenti
<b>M<sub>pi</sub></b>	: Kirişin sol ucu i'deki kolon yüzünde $f_{ck}$ , $f_{yk}$ ve çeliğin pekleşmesi göz önüne alınarak hesaplanan pozitif veya negatif pekleşmeli taşıma gücü momenti
<b>M<sub>pj</sub></b>	: Kirişin sağ ucu j'deki kolon yüzünde $f_{ck}$ , $f_{yk}$ ve çeliğin pekleşmesi göz önüne alınarak hesaplanan pozitif veya negatif pekleşmeli taşıma gücü momenti
<b>M<sub>pkirişler</sub></b>	: Kirişlerin plastikleşme momenti
<b>M<sub>pkolonlar</sub></b>	: Kolonların plastikleşme momenti
<b>M<sub>pü</sub></b>	: Kolonun serbest yüksekliğinin üst ucunda $f_{ck}$ , $f_{yk}$ ve çeliğin pekleşmesi göz önüne alınarak hesaplanan pekleşmeli taşıma gücü momenti
<b>M<sub>px</sub>, M<sub>py</sub></b>	: Plastikleşme momenti
<b>M<sub>ux</sub>, M<sub>uy</sub></b>	: Kesitin taşıyabileceği maksimum moment
<b>N</b>	: Binanın kat adedi
<b>n</b>	: Hareketli yük katılım katsayısı
<b>n<sub>m</sub></b>	: Kattaki merdiven sayısı
<b>N</b>	: Tahliyece edilecek kişi sayısı
<b>N<sub>1</sub></b>	: Toplantı hacimleri istiab hacmi
<b>N<sub>p</sub></b>	: Plastikleşme normal kuvveti
<b>P<sub>em</sub></b>	: Alt yapı basınç emniyet gerilmesi
<b>q<sub>i</sub></b>	: Binanın i'inci katında toplam hareketli yük
<b>R</b>	: Taşıyıcı sistem davranış katsayısı
<b>R<sub>a(T)</sub></b>	: Deprem yükü azaltma katsayısı
<b>s</b>	: Profil gövde genişliği
<b>S(T)</b>	: Spektrum katsayısı
<b>S<sub>kx</sub></b>	: x-x'e dik doğrultudaki burkulma boyu
<b>S<sub>pa(T<sub>r</sub>)</sub></b>	: r'inci doğal titreşim modu için ivme spektrumu ordinatı
<b>T</b>	: Bina doğal titreşim periyodu
<b>t</b>	: Profil başlık kalınlığı
<b>t'<sub>g</sub></b>	: Azaltılmış gövde kalınlığı
<b>T<sub>0</sub></b>	: Zemin hakim periyodu
<b>T<sub>1</sub></b>	: Bina birinci doğal titreşim periyodu
<b>T<sub>1A</sub></b>	: Binanın amprik bağıntı ile hesaplanan birinci doğal titreşim periyodu
<b>T<sub>A</sub>, T<sub>B</sub></b>	: Spektrum karakteristik periyotları
<b>u<sub>p</sub></b>	: Zımbalama çevresinin uzunluğu
<b>V<sub>ik</sub></b>	: Çerçevevi veya perdeli-çerçevevi sistemlerin çerçevelerinde, binanın i'inci katındaki tüm kolonlarda göz önüne alınan deprem doğrultusunda hesaplanan kesme kuvvetleri toplamı
<b>V<sub>is</sub></b>	: Çerçevevi veya perdeli-çerçevevi sistemlerin çerçevelerinde, binanın i'inci katında hem alttaki hem üstteki düğüm noktalarında sağlandığı

$V_{pd}$	: kolonlarda, göz önüne alınan deprem doğrultusunda hesaplanan kesme kuvvetleri toplamı
$V_{pr}$	: Hesapta kullanılacak zımbalama yükü
$V_t$	: Zımbalamada kesitin taşıma gücü
	: Eşdeğer deprem yükü yönteminde göz önüne alınan deprem doğrultusunda binaya etkiyen toplam eşdeğer deprem yükü (taban kesme kuvveti)
$V_{tb}$	: Mod birleştirme yönteminde göz önüne alınan deprem doğrultusunda modlara ait katkıların birleştirilmesi ile bulunan bina toplam eşdeğer deprem yükü (taban kesme kuvveti)
$W$	: Binanın hareketli yük katılım katsayısı kullanılarak bulunan toplam ağırlığı
$W'_{px}$	: Kesitin azaltılmış mukavemet momenti
$w_i$	: Binanın $i$ 'inci katının, hareketli yük katılım sayısı kullanılarak hesaplanan ağırlığı
$W_k$	: Kesitin mukavemet momenti
$X_g, Y_g$	: Kat geometri merkezi koordinatları
$\gamma$	: Zımbalama katsayısı
$\mu$	: Süneklik
$(\Delta_i)_{max}$	: Binanın $i$ 'inci katındaki maksimum görelî kat ötelemesi
$(\Delta_i)_{ort}$	: Binanın $i$ 'inci katındaki ortalama görelî kat ötelemesi
$\Sigma \delta_{i,w10}$	: Olasılığı 10 yılda bir mertebesinde olan rüzgar etkileri altında binanın toplam yatay yer değiştirmesi
$\Sigma \delta_{i,w100}$	: Olasılığı 100 yılda bir mertebesinde olan rüzgar etkileri altında binanın toplam yatay yer değiştirmesi
$\Sigma \delta_{ix}$	: $i$ 'inci katın şekil değiştirmesinden ileri gelen o kata ait yatay yer değiştirmesi
$\sigma_{ox}$	: Burkulma durumunda oluşan gerilme
$\Sigma \delta_x$	: Bina toplam yatay yer değiştirmesi
$\Sigma A_e$	: Herhangi bir katta, göz önüne alınan deprem doğrultusunda etkili kesme alanı
$\Sigma A_g$	: Herhangi bir katta, göz önüne alınan deprem doğrultusuna paralel doğrultuda perde olarak çalışan taşıyıcı sistem elemanları enkesit alanlarının toplamı
$\Sigma A_k$	: Herhangi bir katta, göz önüne alınan deprem doğrultusuna paralel kargir dolgu duvar alanları (kapı ve pencere boşlukları hariç) toplamı
$\Sigma A_w$	: Herhangi bir katta, kolon enkesiti etkin gövde alanları toplamı (depreme dik doğrultudaki kolon çıkışlarının alanı hariç)
$\eta_{bi}$	: $i$ 'inci katta tanımlanan burulma düzensizliği katsayısı
$\eta_{ci}$	: $i$ 'inci katta tanımlanan dayınım düzensizliği katsayısı
$\delta_{elastik}$	: Elastik şekil değiştirme
$\Delta F_N$	: Yeni yönetmelikte, binanın $n$ 'inci katına (tepesine) etkiyen ek eşdeğer deprem yükü
$\Delta_i$	: Binanın $i$ 'inci katındaki görelî kat ötelemesi
$\alpha_i$	: Herhangi bir $i$ 'inci katta hesaplanan $V_{is} / V_{ik}$ oranı
$\theta_i$	: $i$ 'inci katta tanımlanan ikinci mertebe gösterge değeri
$\delta_{max}$	: Maksimum şekil değiştirme
$\gamma_{mc}$	: Beton malzeme katsayısı
$\gamma_{ms}$	: Çelik malzeme katsayısı

$\lambda_x$	: Narinlik oranı
$\chi_x, \chi_y$	: Plastikleşme katsayısı
$\sigma_{zem}$	: Zemin emniyet gerilmesi
$\omega$	: Burkulma katsayısı
$\beta$	: Mod birleştirme yöntemi ile hesaplanan büyüklüklerinin alt sınırlarının belirlenmesi için kullanılan katsayı
$\chi$	: Yangın merdiveni katsayısı

# **AFET BÖLGELERİNDE YAPILACAK YAPILAR HAKKINDAKİ YENİ YÖNETMELİK İLE ESKİ YÖNETMELİĞİN ÇOK KATLI ÇELİK BİR BİNA ÜZERİNDE PROJE UYGULAMALI KIYASLANMASI**

## **ÖZET**

Yedi bölümden oluşan bu tez çalışmasında, eski ve yeni deprem yönetmeliklerince ön görülen depreme dayanıklı yapı tasarım kuralları kıyaslanmış ve bu karşılaşturma çok katlı çelik bir binanın her iki yönetmeliğe göre analiz sonuçları ışığında pekiştirilmeye çalışılmıştır.

Giriş bölümü olan birinci bölümde, konunun genel tanımına degeinilerek tez konusunun içeriği belirtimmiştir. Kıyaslamaya esas teşkil edecek bina önce geometriyle tanımlanmış, ardından çok katlı binaların stabilitesi göz önünde bulundurularak taşıyıcı sistemin nasıl belirlendiği açıklanmıştır. Çözümden elde edilen sonuçların nasıl elde edildiğine fikir olması açısından, bu bölümde bina analizinde kullanılan SAP2000 programı esaslarına da degeinilmiştir.

İkinci bölümde, öncelikle depreme karşı güvenlik kavramı açıklanmış buradan yola çıkarak depreme dayanıklı yapı tasarımına dair şartlar, hem 1998 hem de 1975 yılı yönetmeliklerinde yer alan hesap ve tasarım kuralları başlıklarında ayrı ayrı incelenmiştir. Hesap yöntemi ve tasarıma esas olan bu kurallar arasında ortaya çıkan genel farklılıklar ise bu inceleme sonucunda belirtimmiştir.

Üçüncü bölümde, binaya etkiyen yüklerin tanımlanmasına yer verilmiştir.

Dördüncü bölümde, binanın yeni deprem yönetmeliğine göre çözümü irdelenerek, temel hesabına yer verilmiştir.

Beşinci bölümde ise, dördüncü bölümdeki işlemler eski deprem yönetmeliğine göre yürütülmüştür.

Altıncı bölümde, yapısal elemanların özelliklerine degeinilmiş ve oluşan en elverişsiz kesit zorlarına göre bu kesit özelliklerinin yeterliliği TS 4561'e göre kontrol edilmiştir. Bunlara ilaveten, bireşim hesapları sunulmuştur.

Yedinci bölümde, her iki çözümden elde edilen sonuçlar kıyaslanarak iki yönetmelik arasındaki farklılıklar pekiştirilmiştir.

Sekizinci ve son bölümde ise, hem iki yönetmeliğin genel kıyaslaması, hem de çözüm sonucunda ortaya çıkan farklılıklar yorumlanarak, önerilerde bulunulmuştur.

Bu inceleme esnasında, yukarıda adı geçen yönetmelikler, yürürlükte olan Türk Standartları (TS 648, TS 4561, TS 3357), yurdumuzda da Avrupa ile birlikte kullanılmasının ilgili mercilere uygun görüldüğü ve çalışmaların yürütüldüğü

Eurocode, konunun güncelliği nedeniyle TMMOB İnşaat Mühendisleri Odası ve Türkiye Deprem Vakfı tarafından yayınlanmış incelemeler ve konuya ilgili kitaplardan edinilen bilgilerden yararlanılmıştır.



## **PROJECT APPLIED COMPARISON OF THE OLD AND THE RECENT TURKISH EARTHQUAKE CODES BY THE ANALYSIS OF A HIGH-RISE STEEL BUILDING**

### **SUMMARY**

In this thesis, composed of seven sections, the design rules for earthquake resistant buildings mentioned in the old and recent Turkish Earthquake Codes are compared with each other and this comparison is intensified by the analysis results of a high rise steel building with respect to both of the codes.

In the introductory section, the content of the thesis topic is presented by giving a general explanation of the subject. The related building is introduced by its geometry and the determination of the portal system by giving a general knowledge about the stability of high rise buildings. As to give an idea about the computer program utilized in the analysis, SAP2000 is shortly described.

In section two, the definition of the term “safety against earthquakes” and the earthquake resistant design is mentioned by presenting the design and analysis rules of the 1998 and 1975 codes, separately. And consequently, the general differences between the codes’ rules are submitted.

Section three, covers the definition of loads which the building is subjected to.

In section four, the analysis of the building in compliance with the recent code is carried out, including the foundation calculations of the building.

Section five resembles section four, the only difference is that the calculations are carried out in compliance with the old code.

In section six, taking the most inconvenient member forces into account, the section properties of the members, submitted also in the same section, are checked in compliance with TS 4561. In additional, the calculations of the connection details are submitted.

In section seven, the distinction between the two codes is made clear by presenting the differences between the computational results.

In section eight, comments on both the results of the two codes’ general comparison and the differences between the two analyses are submitted, giving some suggestions.

While investigating the subject, the above mentioned codes, the Turkish Standards (TS 648, TS 4561, TS 3357), the Eurocode which is in process to be the officially

approved to be applied in Europe and hopefully in our country, some papers submitted by TMMOB Civil Engineers Chamber and Turkish Earthquake Foundation and related books are used as references, in order to designate the general distinctions.



## **1. GİRİŞ**

### **1.1. Konunun Genel Tanımı**

1975 yılından beri uygulanmakta olan ‘Afet Bölgelerinde Yapılacak Yapılar Hakkında Yönetmelik’, zamanına göre oldukça çağdaş ve başarılı bir yönetmelikti. 20 yılı aşkın bir süredir uygulanan bu yönetmeliğin başarısı, bu süre içerisinde karşılaşılan şiddetli depremler sonrası gözlemler, meydana gelen hasarın, tasarım veya üretim aşamalarında, 1975 yönetmeliğinin gerektiği gibi uygulanmamasından kaynaklandığını göstermiştir. Ancak bu yönetmelik, aradan geçen uzunca zaman içinde, doğal olarak eskimiş ve çağdaş olma niteliğini yitirmiştir. Ayrıca söz konusu yönetmelikteki bazı maddeler tartışılabilir bazıları da uygulanamaz nitelikte idi. Uzun yıllar boyunca yapılan uygulamalarda karşılaşılan bazı aksaklılıklar ve gerek yapı teknolojisinde gerekse deprem mühendisliği bilim dalındaki gelişmeler 1975 yönetmeliğinin yenilenmesini kaçınılmaz duruma getirmiştir[1].

Deprem kuşağı üzerinde bulunan ülkemizde yüksek yapıların boyutlandırılmasında deprem çoğu kez rüzgara göre daha etkili olmaktadır. Deprem bölgelerinde yapılacak yapıların, bu yapının ömrü boyunca etkilenebileceği büyük şiddetteki depremlerde taşıyıcı sistemde göçme olmayacağı, orta şiddetteki depremlerde taşıyıcı sisteminde büyük hasarlar olmayacağı, hafif şiddetteki depremlerde tüm yapının hasarsız olacak şekilde boyutlandırılması gerekmektedir.

Yönetmeliğin son biçimi, dünyadaki ve yurdumuzdaki deprem mühendisliği gelişmelerinin pek çoğunu kapsayan çağdaş ve olumlu yaklaşımalar içermektedir.

### **1.2. Tez Konusunun Tanımı**

Büyük şehirlerin nüfus yoğunluğunun fazla olduğu yerleşme ve ticaret merkezleri ile bazı fabrikalarda geniş faydalı kullanma alanlarına ihtiyaç bulunması buna karşılık

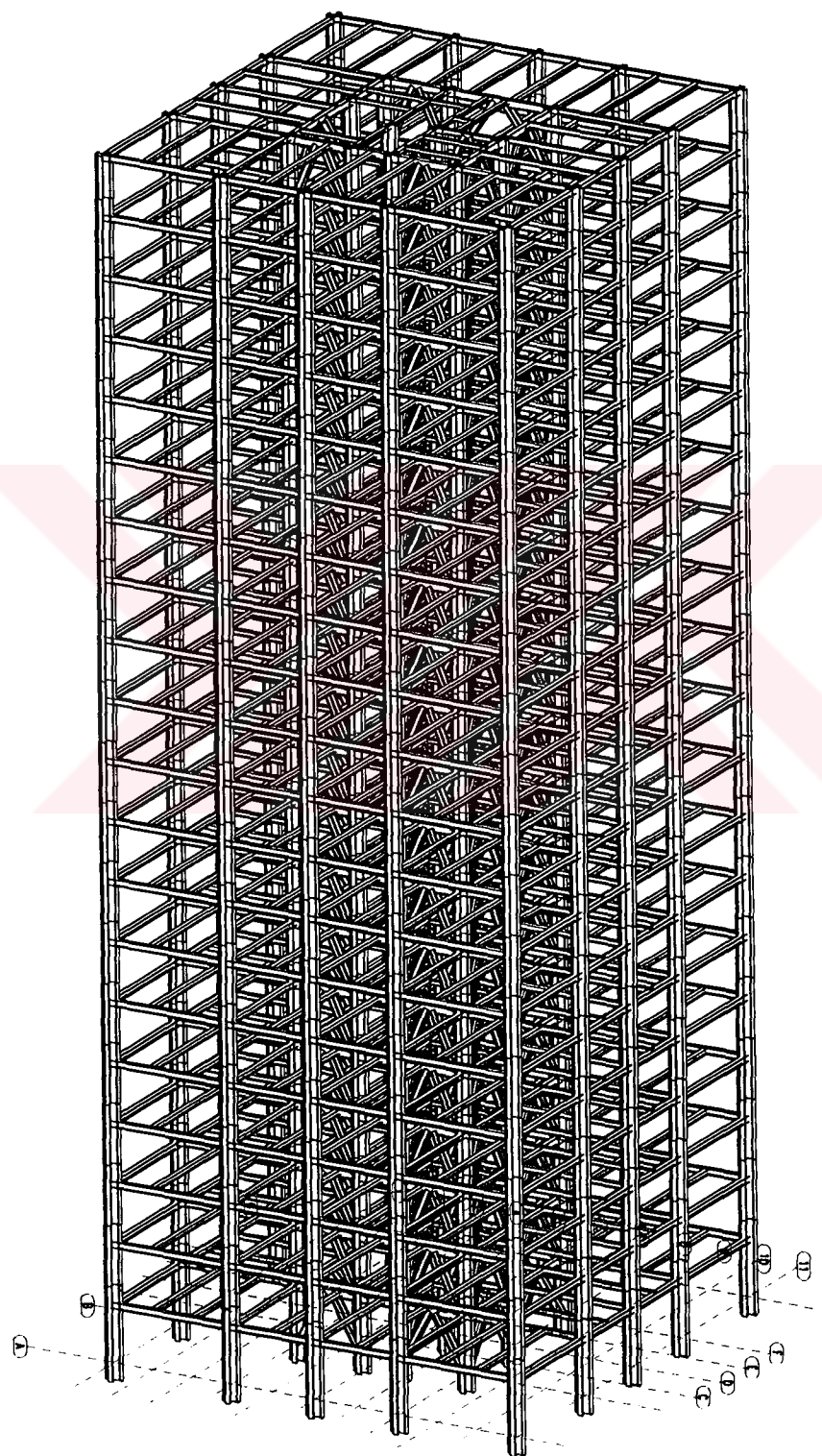
binaların oturacağı arsaların küçüklüğü, ayrıca ekonomik maliyet koşulları yüksek binalar yapılmasını zorunlu kılar. Belirli bir yüksekliğe kadar gerek ekonomik bakımdan gerek diğer bazı nedenlerle bu binaların taşıyıcı iskeletleri betonarme karkas olarak yapılır. Çok yüksek binaların taşıyıcı iskeletlerinde yüksek mukavemetli bir malzeme kullanılması zorunluluğu vardır. Bugün yapının çok büyük dikkat ve titizlik isteyen B600 kalitesinde beton kullanılması halinde dahi; gerek büyük açıklık ve gerekse çok katlı binalardaki kesit tesirlerinin büyülüğu, çok büyük betonarme kesitlerin kullanılmasını gerektirmektedir. Binalarda büyük kesitli kolon ve kirişler fazla yer kapladıkları, maliyet artışına yol açtıkları ve bina öz ağırlığının artmasından dolayı deprem etkilerinin de artması gibi temel problemler çıkardıkları için mimar ve mühendisler tarafından istenmezler. Bu nedenler, kullanılacak çelik ve betonun cinsine göre, betondan 6 - 15 kez daha büyük mukavemet özellikleri olan çeliğin kullanılmasını zorunlu kılmıştır. Böylece de hem içerisinde kolon bulunmayan büyük açıklıklı rahat hacimler sağlanmış ve hem de çok katlı binalar yapılarak yoğun nüfuslu iş ve yerleşme merkezleri ihtiyaçları karşılanmıştır[2].

Hazırlanan tezde bu sebeplerden dolayı 20 katlı bir binanın taşıyıcı iskeleti çelik karkas olarak düşünülmüştür. Çok katlı çelik binalarda kat sayısının günümüzdeki üst sınırı 120-135 arasında oynamaktadır. Tezde çok katlı bir yapıda daha çok önem kazanan deprem hesabı İmar ve İskan Bakanlığının ‘Afet Bölgelerinde Yapılacak Yapılar Hakkında Yönetmelik’ in 1975 ve 1998 yılları basımları için ayrı ayrı yapılacak ve sonuçlar karşılaşılacaktır.

20 katlı bir binada daha az katlı binaların geleneksel sorunlarına ek sorunlar vardır. Bu ek sorunların en önemlilerinden biri de, bu nitelikteki yapılarda rüzgar, deprem, vb. yatay yük ve etkilerin en az düşey yük ve etkiler kadar, hatta kat sayısı arttıkça onlardan daha çok zorlayıcı olmalarıdır.

### **1.3. Binanın Tanımı**

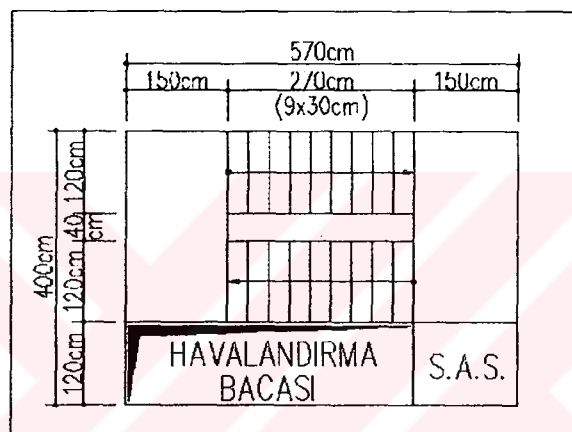
Bina iş merkezi olarak tasarlanmıştır. Binanın 3 boyutlu görünüşü Şekil 1.1’de gösterilmiştir. İş yeri binalarında en az iki yangın merdiveni bulunmalıdır. Yangın merdiveni ile ilgili koşullar aşağıda açıklanmıştır.



Şekil 1.1 Binanın 3 boyutlu görünüşü

### **1.3.1. Yangın Merdiveni Hesabı**

Tamamen bina içindeki yangın merdivenlerinin kovalarında, daima açık kalacak havalandırma bacaları tesis edilerek kaçak dumandan korunma sağlanmalıdır. Yangın merdivenlerine, yanına en az 30 dakika dayanıklı ve alev kesici, kaçış yönünde açılan ve kendi kendine kapanan kapılar aracılığıyla ulaşılması gereklidir. Yangın merdivenlerine bir Yangın Güvenlik Hacmi'nden (S.A.S) geçerek girilmesi tercih edilmeli ve bu sistem topluma açık binaların iç konumlu yangın merdivenleri için zorunludur (Şekil 1.2) [3].



Şekil 1.2 Yangın merdiveni

#### **a) Merdiven Genişliği**

Merdiven genişliği hesabında denklem (1.1) kullanılır

$$b_m = \chi * N / n > b_{min} \quad (1.1)$$

Bu denklemde  $b_m$ ; merdiven genişliği,  $\chi$ ; inişte 1,25 cm/kİŞİ, çıkışta 2 cm/kİŞİ olarak alınan bir katsayı,  $n$ ; kattaki merdiven sayısı olarak hesaplanır.  $N$ ; o kattan tahliyesi gereklİ kişi sayısı, denklem (1.2)'de gösterilmiştir.

$b_{min}$ = Konutlarda 80cm, topluma açık yapılarda 120 cm.

$$N = N_1 + (A - A_1) / a_m \quad (1.2)$$

$A$ ; kat alanı,  $A_1$ ; aynı kattaki toplantı hacimleri alanı,  $N_1$ ; toplantı hacimleri istiap hacmi,  $a_m$ ; bir kişinin olağan kullanma alanı olarak verilmiştir.  $A=676 \text{ m}^2$ ,  $A_1=50 \text{ m}^2$ ,  $N_1= 20$  kişi,  $a= 4 \text{ m}^2$ ,  $n_n=2$  adet,  $\chi=1.25 \text{ cm/kİŞİ}$  olarak belirlenmiştir. Kattan tahliyesi gereklİ kişi sayISI denklem (1.1), merdiven geniSHliği ise denklem (1.1) kullanılarak aşağıdaki gibi hesaplandı.

$$N=20+( 676 - 50 ) / 4 = 176.5 \cong 177 \text{ kişi}$$

$$b_m=1.25 * 177 / 2 = 110.63 < b_{\min}=120 \text{ cm}$$

$b_m=120 \text{ cm}$  olarak alınmıştır.

#### **b) Merdiven Yüksekliği ve Sahانlıklar Arası Kot Farkı**

Merdiven boşluğu yüksekliği, basamak üzerinden tavana serbest olarak en az 200 cm olmalıdır. Sahanlıklar arası kot farkı en çok 3.70 m olmalıdır. Tezde 3.50 m olarak seçilmiştir.

#### **c) Basamak Boyutları**

Basamak genişlikleri ortalama 28 cm' den az ve basamak yüksekliği 18 cm'den çok olamaz. Dönüşlerde, dar kenarlarda basamak genişliği 20 cm'nin altına inemez.

Seçilen basamak boyutları 30 cm \* 18 cm' dir.

#### **d) Merdiven Kapıları**

Yangın merdiveni kapılarının genişliği konut ve bürolarda en az 80 cm, topluma açık yapılarda en az 120 cm olacaktır.

Kapı kanatları kaçış yönüne açılacak bir mekanizma ile kendiliğinden kapanacak ve duman sızdırılmaz olacaktır. Kapılarda eşik olmayacağındır. Ayrı bir kaçış yolu bulunmayan binalarda turnike ve tamburlu dönme kapılar yapılamaz

## **1.4. Statik Sistemin Tanımı**

### **1.4.1. Çok Katlı Binaların Stabilitesi**

Çok katlı binalarda doğramalar ve genellikle gevrek nitelikli dolgu duvarların kırılma ve çatlamalarının önlenmesi, binanın içinde yaşayanlar yönünden saptanmış koşullar altında kullanabilirliğinin korunması bakımlarından taşıyıcı sistemin yatay yer ve şekil değiştirmelerinin belirli sınır değerleri aşmamaları sağlanmalıdır. Genellikle kabul edilen üst sınırlar, binanın toplam yatay yer değiştirmesinin bina toplam yüksekliğinin 500'de birinden

$$\Sigma \delta_x \leq \Sigma h_i / 500 = H_N / 500 \quad (1.3)$$

ve herhangi bir katın şekil değiştirmesinden ileri gelen o kata ait yatay yer değiştirmesinin de kat yüksekliğinin 500'de birinden küçük tutulmasıdır.

$$\delta_{ix} \leq h_i / 500 \quad (1.4)$$

Ayrıca binanın toplam yatay yer değiştirmesi, olasılığı 10 yılda bir mertebesinde olan rüzgar etkileri altında 20 cm'den

$$\Sigma \delta_{i,w10} \leq 20 \text{ cm} \quad (1.5)$$

ve olasılığı 100 yılda bir mertebesinde olan rüzgar etkileri altında 50 cm'den az olmamalıdır.

$$\Sigma \delta_{i,w100} \leq 50 \text{ cm} \quad (1.6)$$

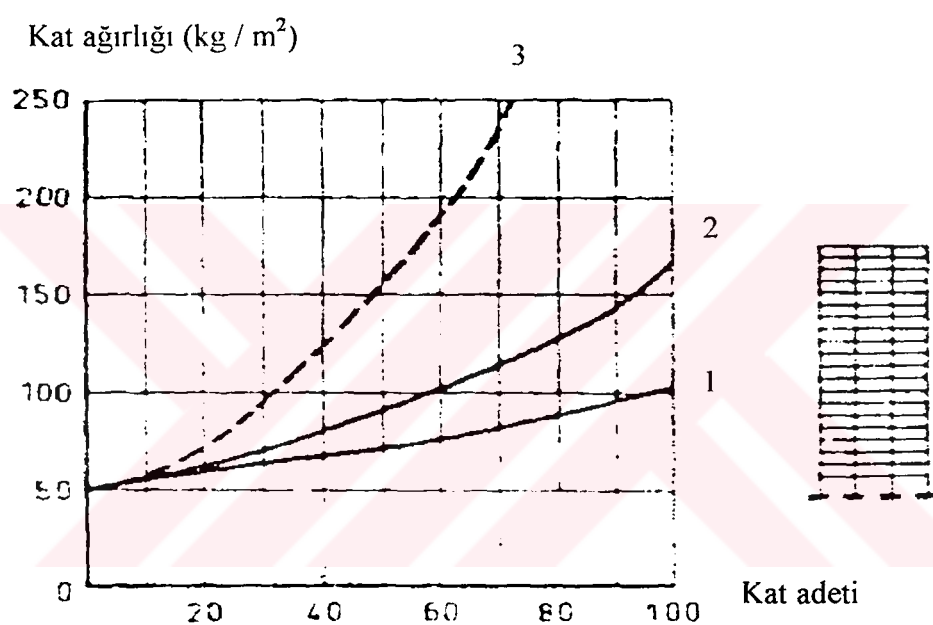
Yatay yer ve şekil değiştirmelerin bu bağlayıcı üst sınırları yanında, yatay etkilerin güvenli bir şekilde taşınarak zemine iletilmesi, binanın tüm sel stabilitesinin korunması ve dinamik etkilerin göz önüne alınması gereklidir.

Bu koşulları sağlamak üzere düzenlenen taşıyıcı sistemin iç kuruluşi ne olursa olsun, binanın yatay etkiler altındaki genel davranışları, tabanında zemine ankastre bir düşey konsol kiriş niteliğindedir. Yapının tüm sel stabilité sorunu, bu konsol sistemin

devrilmemesinin sağlanması olup öncelikle temel ve zeminle ilgilidir. Ancak yüklerin temel düzeyine uygun bir biçimde aktarılmasını sağlayan taşıyıcı sistemlerin olumlu etkileri de söz konusu olur[4].

#### 1.4.2. Taşıyıcı Sistemin Belirlenmesi

Yatay yüklerin etkinliği bina yüksekliği arttıkça üstel bir fonksiyon gidişindedir. Geleneksel sistemli çelik yüksek yapılarda taşıyıcı sistem  $m^2$  ağırlıklarını veren diyagram ( Şekil 1.3 ) taşıyıcı sistemlerin seçimini kavramamızı sağlar[4].



Şekil 1.3 Çelik yüksek binalarda sistem  $m^2$  ağırlığı

- 1) Yalnız düşey yüklerden ileri gelen
- 2) Düşey+yatay yüklerden ileri gelen kafes-tüp sistemler
- 3) Düşey+yatay yüklerden ileri gelen çerçeve sistemler

Çok katlı binalarda bina kat sayısına göre, alçaktan yükseğe doğru izleyen taşıyıcı sistemlerden biri kullanılmaktadır; geleneksel rijit çerçeveli sistem, düşey dolu ya da perdeli sistemler, çekirdekli sistemler, çerçeveli tüp, iç içe tüp, bölmeli tüp sistemler ve kafes bağlı tüp sistemlerdir.

Merdivenler, asansör boşlukları, tesisat bacaları çevrelerinde toplanan ayrı düzlemlerdeki perdelerin birleşmesinden oluşan taşıyıcı sistemlere çekirdek adı verilmektedir.

Sistem Şekil 1.1'deki gibi düzenlenerek yapıya gelen yatay etkilerin çoğunu çekirdekçe aktarılmasına ve kolonlara ise sadece düşey yük etkilerinin gelmesine çalışılmıştır. Böylece elde edilebilen narin kolonlarla, güncel mimari ve dış görünüş anlayışına uygun hafif cepheler ortaya çıkarılmaya çalışılmıştır. Planda döşeme geometrik merkezi ile çekirdek eylemsizlik merkezinin çakıştırılmasına çalışılmıştır.

$$I_x = 38081.33 \text{ m}^4$$

$$I_y = 38081.33 \text{ m}^4$$

Geometri merkezi :  $X_g = 13.63 \text{ m}$ ,  $Y_g = 13.61 \text{ m}$

Yüzde beşten çok aykırılıklar, özellikle tek çekirdekli sistemlerde yapı burulması nedeniyle kolonlara önemli yatay etkiler getirdiğinden sakıncalıdır.

### 1.5. Analiz Programının Tanımı

Yapı SAP2000 ( STRUCTURAL ANALYSIS PROGRAM ) ile sonlu çubuk elemanlardan oluşan bir model olarak tasarılanıp çözülmerek gerekli kesit tesirleri bulunduktan sonra boyutlandırma yapılmıştır.

Kullanılan SAP2000 programında elemanların kesit tesirleri ( moment, kesme kuvveti ve normal kuvvet ), aynı zamanda düğüm nokta deplasmanları ve dönmeleri takip edilmekte böylece sistemin yeterliliğine karar verilmektedir.

## **2. DEPREME DAYANIKLI YAPI TASARIMI**

### **2.1. Depreme Karşı Güvenlik**

Bir yapının tasarımı ve boyutlandırılması genel olarak göçme durumunda yeterli güvenliğin sağlanması ve kullanma durumunda kararlılık, çatlama ve yer değiştirme gibi koşulların yerine getirilmesi olarak tanımlanabilir. Tasarımda yeterli güvenliğin sağlanması için yapının taşıyabileceği yükün taşınması beklenenden büyük olması sağlanmalıdır. Güvenliğin sağlanması yapının bütünlüğüne veya kararlılığına olumsuz yönde etki edecek göçme biçimlerinin ortaya çıkmaması için önlem alınır. Ancak depreme dayanıklı tasarım ve boyutlamada düşey yükler altındakinden daha büyük belirsizlikler vardır. Bu belirsizlikler, etkimesi beklenen yükler yanında, yapı elemanlarının ve birleşim yerlerinin sünekliğini büyük ölçüde etkileyen davranışlarının belirlenmesinde ve taşıma güçlerinin bulunmasında ortaya çıkar. Bu nedenle yapının ömrü boyunca etki altında kalması söz konusu olabilecek deprem yüklerine güvenlikle karşı koyabilmesi, sağlamlığı kesin olarak belirlenebilecek bir özellik değildir. Yüklerin ve dayanım özelliklerinin istatiksel değerlerine bağlı olarak istatistiksel olarak belirlenebilir.

Bir yapının sabit yük, faydalı yük, sıcaklık etkisi gibi etkilere maruz kalma sıklığı ile karşılaşıldığında depremin çok daha seyrek olduğu görülür. Depreme dayanıklı yapı tasarımda tüm dünyada uygulanan ilke, yapının sık ve küçük şiddetteki depremleri elastik sınırlar içinde kalarak; orta şiddetteki depremleri elastik sınırların ötesinde, fakat taşıyıcı sistemde kolayca onarılabilcek önemsiz hasarlarla; çok seyrek şiddetli depremleri, büyük hasarla fakat taşıyıcı sistemi tamamen göçmeden, can kaybı olmaksızın karşılayılmamıştır. Bu anlayışla boyutlandırılan yapılarda deprem ivmesi, şiddetli bir depremde yapıya etki edebilecek değerin oldukça altında ( $1/2\text{-}1/10$  gibi) bir değer olarak kullanılır.

Depreme karşı güvenliğin sağlanmasında önce taşıyıcı sistemin tasarımının özenli yapılması önemlidir. İyi bir tasarımda taşıyıcı sistemin çözümlemede göz önüne alınan davranış şekli ile deprem altındaki birbirine yakın olur. Bu amaçla tasarımda aşağıdaki hususlara dikkat edilmesi uygundur [5]:

### **1)Geometri:**

Yapılan yapı ne kadar basit düzenlenmişse, depreme dayanıklılığının bu derece yüksek olduğu belirlenmiştir. Basit ve düzenli yapıların yapımı da kolaydır ve yapımında hata yapma olasılığı azdır. Bu tür yapıların depremdeki davranışını tahmin etmek ve buna göre çözümleme yapmak daha kolaydır. Karmaşık ve düzensiz yapıları modellemek ve ek olarak ortaya çıkan burulma etkisini göz önüne almak daha uzun işlemler gerektirir. Bu nedenlerle yapının iki doğrultuda simetriye sahip olması istenir. Tezde düzenlenen binada simetriklik sağlanmaya çalışılmıştır.

### **2)Sürekливість:**

Taşıyıcı sistemde plan ve düşeyde bulunan elemanlarının düzgün ve sürekli olarak düzenlenmesi önemlidir. Kolon ve kırışların planda düzgün dağılması, sistemin belirli bölgelerinin aşırı biçimde zorlanması önler. Bütün kolon ve ona mesnetlenen kırışların eksenleri arasındaki dışmerkezlikten kaçınılmalıdır. Taşıyıcı sistemde süreklilik ile elemanların birbirine yardım etmesi sağlanırken, elastik davranışın ötesindeki taşıma kapasitesi artırılmış olur. Bina sisteminde süreksızlıkların kaçınılmıştır.

### **3)Rijitlik ve dayanım:**

Yapı elemanlarının rijitliğini uygun seçenek; titreşim periyodunu belirli bir aralığa getirerek deprem etkilerini küçütmek mümkündür. Bunun için spektrum eğrisinde bölgenin hakim periyodu ile yapının kini uzak tutarak rezonans olayı önlenmelidir.

### **3)Göçme modu:**

Deprem etkisine karşı boyutlamada kesitler öngörülen etkilere karşı koyacak şekilde boyutlandırılırken, özellikle düşey taşıyıcıların dayanımlarını kaybederek tüm sistemin göçmesinden veya burkulma gibi ani göçmeden uzak kalınmak istenir.

Genel olarak kolon yerine kırışerde mafsal oluşarak göçmenin ortaya çıkması tercih edilir.

#### 4) Süneklik:

Taşıyıcı sistemin veya elemanların sünekliği, işaret değiştiren ve sistemi elastik sınırın ötesinde zorlayan etkiler altında enerji yutma sonucunu doğurduğundan, sadece dinamik yükler etkisinde önem kazanır. Seyrek meydana gelecek şiddetli deprem etkisini, yapının elastik davranışının üzerinde şekil değiştirerek karşılaması öngörlür. Yapının elastik sınırı geçip, sünerek kesit zorlarında önemli artmalar olmadan şekil değiştirme yapması istenir. Bu yolla depremin dinamik etkisi ısı enerjisine dönüşerek yutulmakta ve sökümlenmektedir. Sünme bölgesinin uzun olması, şekil değiştirmeleri bunun yanında sönümü artırır. Böyle yapılara sünek yapılar denir. Süneklik tanımı Şekil 2.1'e uygun olarak denklem (2.1) 'deki tanımlanabilir. Süneklik göçme sırasında büyük ve elastik olmayan şekil değiştirmelerin ortaya çıkması olarak görülebilir.

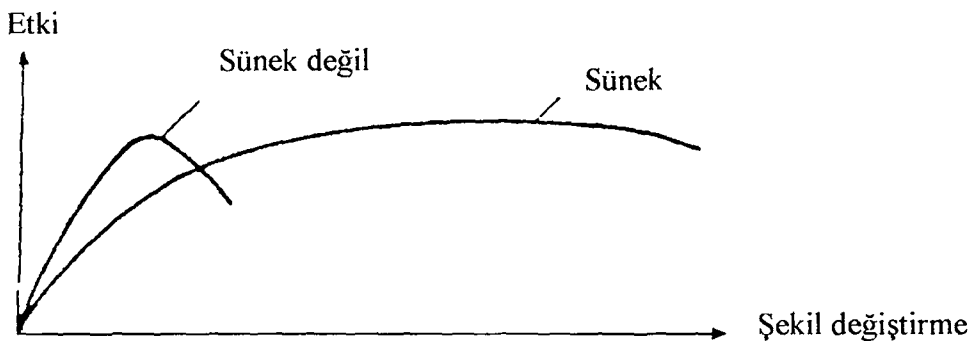
$$\mu = \delta_{\max} / \delta_{\text{elastik}} \quad (2.1)$$



Şekil 2.1 Elasto-plastik etki şekil değiştirme bağıntısı

Bir yapı sünekse, deprem sırasında zeminden yapıya iletilen enerjinin büyük bir kısmı, elastik sınırın ötesindeki büyük genlikli titreşimler yapının dayanımını önemli bir kayba uğratmadan yutulur. Gerçek malzeme, Şekil 2.1'de verilen ideal elasto-plastik davranıştan daha çok Şekil 2.2' de verilen iki eğri arasındaki bir davranıştır. Süneklik sayesinde, yüklemenin aşırı artmasında akmaya ulaşan kesitlerde plastik şekil değiştirmelerle enerji alınırken, iç kuvvetlerin daha az zorlanan kesitlere

dağılması sağlanır. İyi düzenlenmiş sünek bir taşıyıcı sistemde deprem enerjisi, kontrollü hasarla, göçmeden uzak kalınarak karşılanmış olur [5].



Şekil 2.2 Sünek ve sünek olmayan etki-şekil değiştirmeye bağıntısı

## 2.2. 1998 Yılı Yönetmeliği

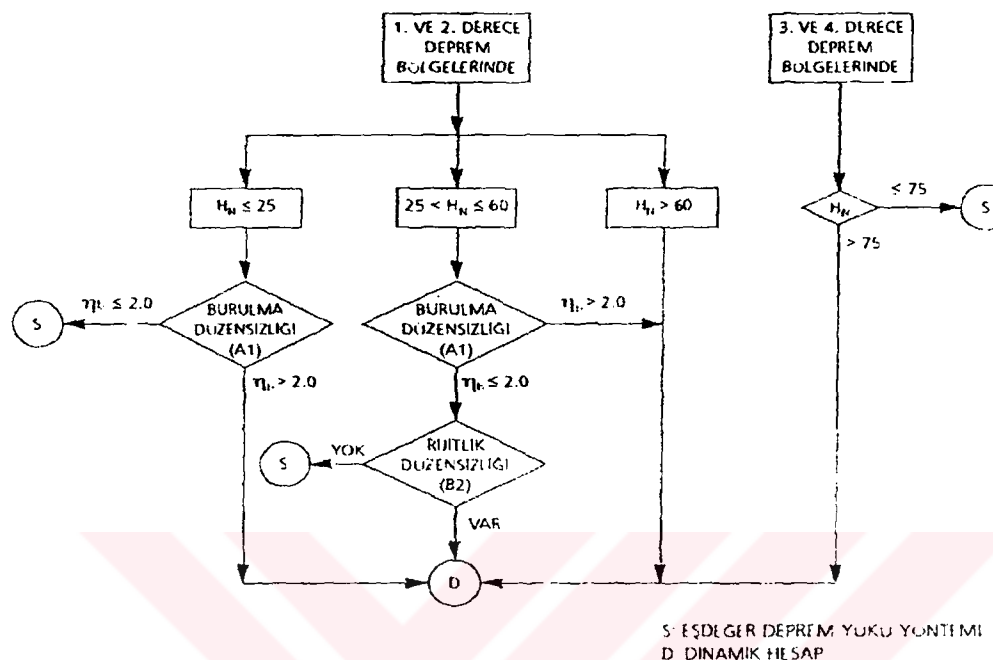
### 2.2.1. Depreme Dayanıklı Binalar İçin Hesap Kuralları

Yapıların taşıyıcı sisteminin, düşey yükler yanında, deprem etkisini de güvenlikle karşılaması beklenir. Bu etki genel olarak dinamik karakterde ve değişik yönlerde etkili olmasına rağmen, pek çok durumda eşdeğer statik yüklerle indirgenerek göz önüne alınır. 1998 yılı yönetmeliğinde de, uygulamada karşılaşılan yapıların büyük çoğunluğu için Eşdeğer Deprem Yükü Yöntemi'nin kullanılmasına izin verilmektedir. Deprem etkisinin önemli olduğu yüksek yapılarda ise, davranış Yapı Dinamiği'nin ilkelerini kullanarak daha ayrıntılı belirlenmelidir. Hesap yönteminin seçilmesi ile ilgili koşullar Şekil 2.3'teki akış diyagramı üzerinde gösterilmiştir[1].

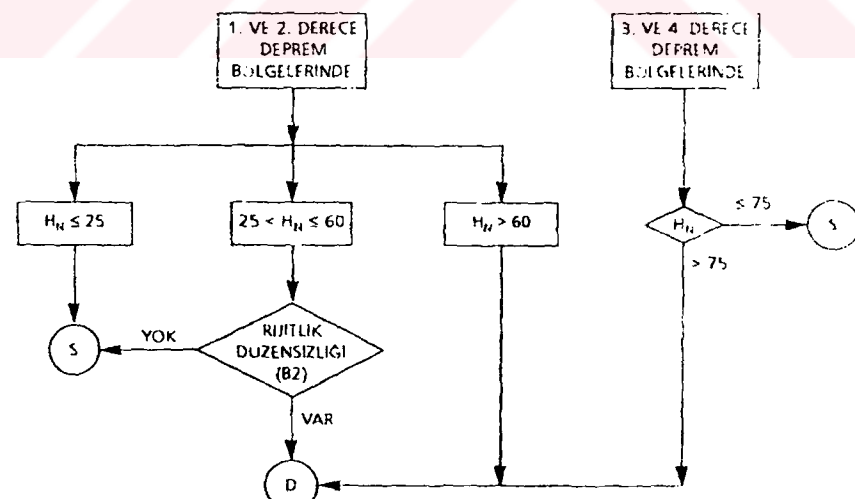
Şekil 2.3'te görüldüğü gibi, 1. ve 2. Derece deprem bölgeleri için hesap yönteminin seçilmesinde, toplam yapı yüksekliği ( $H_N$ ) ile birlikte bazı düzensizlik durumları da belirleyici etken olmaktadır. Yeni yönetmelikte depreme karşı davranışlarındaki olumsuzluklar nedeni ile tasarımından ve yapımından kaçınılması gereken düzensiz binaların tanımlanması ile ilgili olarak, planda ve düşey doğrultuda düzensizlik meydana getiren durumlar ayrıntılı bir biçimde yer almaktadır.

Ceşitli örnekler üzerinde yapılan incelemeler,  $\eta_b$  ile gösterilen burulma düzensizliği değerinin 2.00'den daha büyük olma olasılığının pek zayıf bir olasılık olduğunu göstermiştir. Bu durumda, uygulama açısından geçerli olan, yöntem seçimi akış diyagramı basitleşir ve Şekil 2.4'te gösterilen biçimini alır[1]. Yeni yönetmelik,

deprem etkisinin daha rahat karşılanması bakımından, yapıda düzgün taşıyıcı sistem seçimini özendirici ve tersini caydırıcı hükümlere sahiptir. Belirtilen düzensizliklerden en az birinin bulunduğu binalar düzensiz olarak sınıflandırılır [4].



Şekil 2.3 Hesap yönteminin seçilmesi



Şekil 2.4 Uygulamada hesap yönteminin seçilmesi

Eklerde Tablo A.1'de açıklandığı üzere; dösemelerin kendi düzlemleri içinde rıjt diyafram olarak çalışmaları durumunda burulma düzensizliği (2.2a) ve (2.2b), komşu katlar arası dayanım düzensizliği (2.3a) ve (2.3b), komşu katlar arası rıjtlik düzensizliği ise (2.4) denklemleri ile hesaplanır [6].

$$(\Delta_i)_{\text{ort}} = 1/2 * [(\Delta_i)_{\text{max}} + (\Delta_i)_{\text{min}}] \quad (2.2a)$$

$$\eta_{bi} = (\Delta_i)_{\text{max}} / (\Delta_i)_{\text{ort}} > 1.2 \quad (2.2b)$$

$$\eta_{ci} = (\sum A_c)_i / (\sum A_c)_{i+1} < 0.80 \quad (2.3a)$$

$$\sum A_c = \sum A_w + \sum A_g + 0.15 \sum A_k \quad (2.3b)$$

$$\eta_{ki} = (\Delta_i)_{\text{ort}} / (\Delta_{i+1})_{\text{ort}} > 1.5 \quad (2.4)$$

Tablo A.1'de tanımlanan düzensiz binaların tasarımlarından ve yapımından kaçınılmalıdır. Taşıyıcı sistem planda simetrik veya simetriğe yakın düzenlenmeli ve Tablo A.1'de A1 başlığı ile tanımlanan burulma düzensizliğine olabildiğince yer verilmemelidir. Bu bağlamda, perde vb. rıjt taşıyıcı sistem elemanlarının binanın burulma rıjtliğini artıracak biçimde yerleştirilmesine özen gösterilmelidir. Düşey doğrultuda ise Tablo A.1'de B1 ve B2 başlıkları ile tanımlanan ve herhangi bir katta zayıf kat veya yumuşak kat durumu oluşturan düzensizliklerden kaçınılmalıdır.

### **1) Elastik Deprem Yüklerinin Tanımlanması**

Deprem yüklerinin belirlenmesi için esas alınacak olan ve tanım olarak %5 sönüüm oranı için elastik Tasarım İvme Spektrumu'nun yerçekimi ivmesi  $g'$ ye bölünmesine karşı gelen Spektal İvme Katsayısı,  $A(T)$ , denklem (2.5) ile verilmiştir.

$$A(T) = A_0 * I * S(T) \quad (2.5)$$

Deprem yükleri belirlenirken her 200-250 yılda bir meydana gelebilecek depremin etkileri göz önüne alınarak, dört bölgeye ayrılmıştır. Birinci bölge tehlikesi en çok olan kısımları gösterirken, dördüncü bölge tehlikesi en düşük olan yerleri kapsar.

Yönetmelikte Etkin Yer İvmesi Katsayısı olan  $A_0$  dört deprem bölgesi için değerleri 0.1 ile 0.4 arasında değişeceğin şekilde Tablo 2.1'de verilmiştir.

Tablo 2.1 Etkin Yer İvmesi Katsayısı

Deprem Bölgesi	$A_0$
1	0.40
2	0.30
3	0.20
4	0.10

I, Bina Önem Katsayısı binaları kullanım amacına veya türlerine göre dört gruba ayırarak 1.0 ile 1.5 arasında olacak şekilde eklerde Tablo A.2'de verilmiştir. Depremden hemen sonra kullanılması gereken yapılar ve insanların çok yığıldığı yapılarda depremin doğuracağı zarar daha büyük olacağı için bu katsayı büyük tutulmuştur.

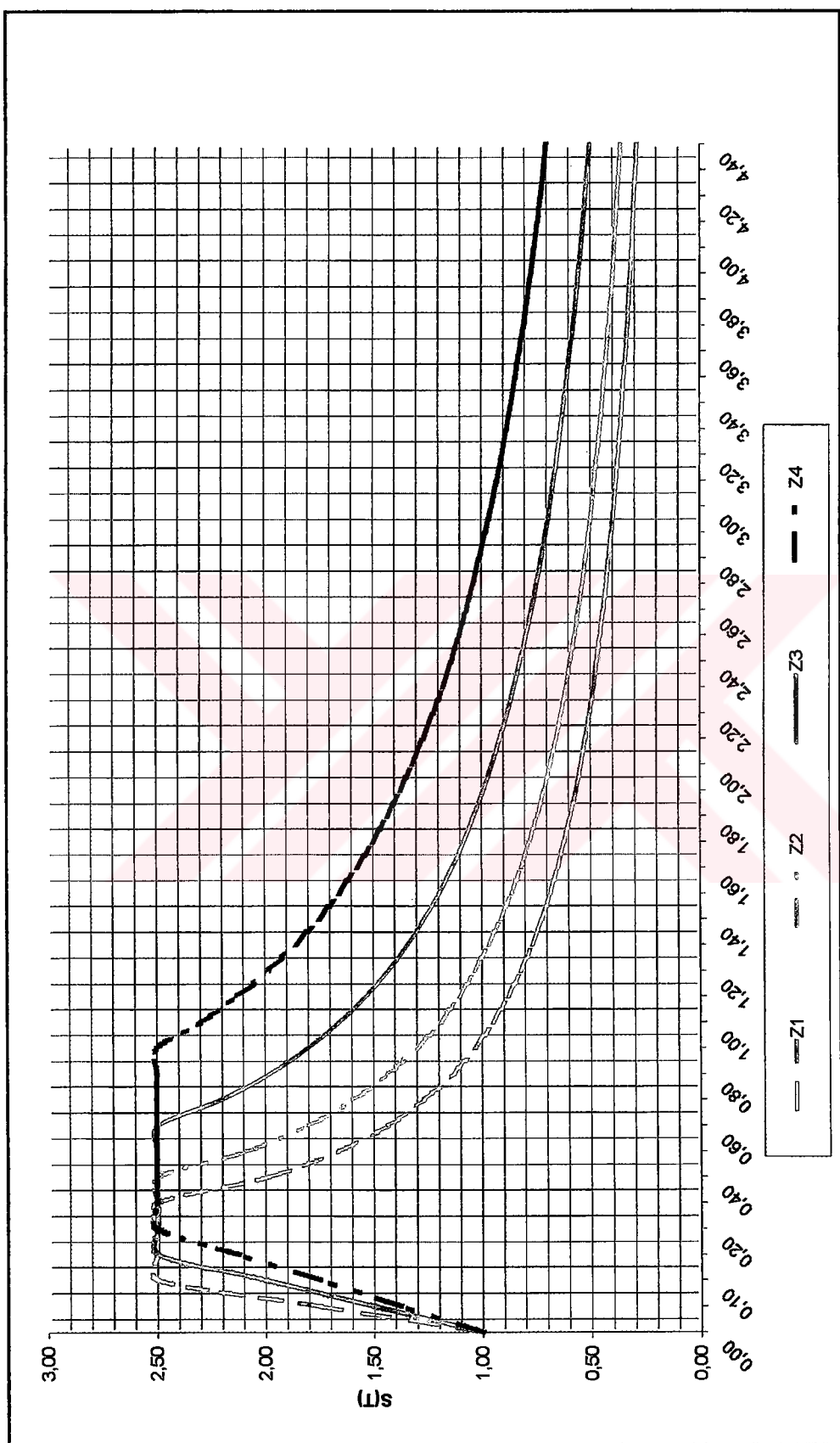
$S(T)$ , Spektrum Katsayısı Şekil 2.5 ve Tablo 2.2'de gösterilen biçimde verilmiştir.  $S(T)$ , T titreşim periyoduna bağlı olarak denklem (2.6) ile hesaplanacaktır.

$$S(T) = 1 + 1.5 * T / T_A \quad (0 \leq T \leq T_A) \quad (2.6a)$$

$$S(T) = 2.5 \quad (T_A \leq T \leq T_B) \quad (2.6b)$$

$$S(T) = 2.5 * (T_B / T)^{0.8} \quad (T > T_B) \quad (2.6c)$$

Spektrum Karakteristik Periyotları,  $T_A$  ve  $T_B$  yerel zemin koşullarına bağlı olarak Tablo 2.3'de gösterildiği gibi belirlenecek ve yerel zemin sınıflarının seçilmesine ait şartlar, eklerde Tablo A.3 ve Tablo A.4'te verilmiştir.



Şekil 2.5: Spektrum eğrisi

**Tablo 2.2 Spektrum Eğrisi Değerleri**

	<b>Z1</b>	<b>Z2</b>	<b>Z3</b>	<b>Z4</b>
<b>TA</b>	0,10	0,15	0,15	0,20
<b>TB</b>	0,30	0,40	0,60	0,90
0,00	1,00	1,00	1,00	1,00
0,05	1,75	1,50	1,50	1,38
0,10	2,50	2,00	2,00	1,75
0,15	2,50	2,50	2,50	2,13
0,20	2,50	2,50	2,50	2,50
0,30	2,50	2,50	2,50	2,50
0,40	1,99	2,50	2,50	2,50
0,50	1,66	2,09	2,50	2,50
0,60	1,44	1,81	2,50	2,50
0,70	1,27	1,60	2,21	2,50
0,80	1,14	1,44	1,99	2,50
0,90	1,04	1,31	1,81	2,50
1,00	0,95	1,20	1,66	2,30
1,10	0,88	1,11	1,54	2,13
1,20	0,82	1,04	1,44	1,99
1,30	0,77	0,97	1,35	1,86
1,40	0,73	0,92	1,27	1,76
1,50	0,69	0,87	1,20	1,66
1,60	0,66	0,82	1,14	1,58
1,70	0,62	0,79	1,09	1,50
1,80	0,60	0,75	1,04	1,44
1,90	0,57	0,72	0,99	1,38
2,00	0,55	0,69	0,95	1,32
2,10	0,53	0,66	0,92	1,27
2,20	0,51	0,64	0,88	1,22
2,30	0,49	0,62	0,85	1,18
2,40	0,47	0,60	0,82	1,14
2,50	0,46	0,58	0,80	1,10
2,60	0,44	0,56	0,77	1,07
2,70	0,43	0,54	0,75	1,04
2,80	0,42	0,53	0,73	1,01
2,90	0,41	0,51	0,71	0,98
3,00	0,40	0,50	0,69	0,95
3,10	0,39	0,49	0,67	0,93
3,20	0,38	0,47	0,66	0,91
3,30	0,37	0,46	0,64	0,88
3,40	0,36	0,45	0,62	0,86
3,50	0,35	0,44	0,61	0,84
3,60	0,34	0,43	0,60	0,82
3,70	0,34	0,42	0,58	0,81
3,80	0,33	0,41	0,57	0,79
3,90	0,32	0,40	0,56	0,77
4,00	0,31	0,40	0,55	0,76
4,10	0,31	0,39	0,54	0,74
4,20	0,30	0,38	0,53	0,73
4,30	0,30	0,37	0,52	0,72
4,40	0,29	0,37	0,51	0,70

Tablo 2.3 Spektrum Karakteristik Periyotları ( $T_A$ ,  $T_B$ )

<b>Tablo 2.6'ya göre Yerel Zemin Sınıfı</b>	$T_A$ (saniye)	$T_B$ (saniye)
<b>Z1</b>	0.10	0.30
<b>Z2</b>	0.15	0.40
<b>Z3</b>	0.15	0.60
<b>Z4</b>	0.20	0.90

## 2) Elastik Deprem Yüklerinin Azaltılması

Depremde taşıyıcı sistemin kendine özgü doğrusal elastik olmayan davranışını da göz önüne almak üzere elastik deprem yükleri Deprem Yükü Azaltma katsayısına bölünecektir. Bu katsayı  $R_a(T)$ , taşıyıcı sistemin süneklik düzeyi yüksek ya da normal olması durumuna göre belirlenen Taşıyıcı Sistem Davranış Katsayısı  $R'$ ye ve doğal titreşim periyodu,  $T$ 'ye bağlı olarak denklem (2.7) ile belirlenecektir. Yapılan incelemelerden, sünek yapılar için  $R'$ nin büyük değerler aldığı ve dolayısıyla eşdeğer statik yüklerin küçük olması sağlandığı görülür.  $R$  katsayısının seçilmesi ile ilgili koşullar, eklerde Tablo A.5 ile verilmiştir. Taşıyıcı sistemlerin sünek olmaları ölçüsünde, göçmeye erişmeden deprem enerjisini yutabilmesinin etkisi,  $R$  katsayısı ile eşdeğer statik yüklerle yansıtılmıştır [6].

$$R_a(T) = 1.5 + (R - 1.5) * T / T_A \quad (0 \leq T \leq T_A) \quad (2.7a)$$

$$R_a(T) = R \quad (T > T_A) \quad (2.7b)$$

Yönetmelikte en önemli kavamlardan biri olan süneklik kavramı üzerinde oldukça durulmuş ve taşıyıcı sistemin süneklik düzeylerini ve yapının belirli süneklik sınırı altına düşmemesi için bazı kısıtlamalar getirilmiştir.

## 3) Eşdeğer Deprem Yükü Yöntemi

Göz önüne alınan deprem doğrultusunda, binanın tümüne etkiyen Toplam Eşdeğer Deprem Yükü (taban kesme kuvveti)  $V_1$ , denklem (2.8) ile hesaplanır. Deprem

yüklemesinin bir dinamik etki olduğu düşünülürse, kütle ile ivmenin çarpımından oluşan bir D'Alembert kuvveti olarak yazılabilceği kabul edilir.

$$Vt = W * A(T_1) / Ra(T_1) \geq 0.1 * A_0 * I * W \quad (2.8)$$

$A_0$ , maksimum deprem ivmesinin yerçekimi ivmesine oranı olarak belirtilebilir.

Tablo2.4 Deprem bölge katsayısı  $A_0$ ,  $R=8$  için  $A_0 / R$  ve bu bölgelerde beklenen en büyük ivme değerleri

Deprem bölgesi	1	2	3	4
$A_0$	0.40	0.30	0.20	0.10
$A_0/R$	0.05	0.04	0.03	0.01
Beklenen en büyük deprem şiddeti	IX ve daha büyük	VIII	VII	VI
$\ddot{v}_{g \max} / g$	0.53 ve daha büyük	0.52	0.23	0.10

Bu tabloda verilen  $A_0/R$  değerleri ile beklenen maksimum deprem ivmesinin yerçekimi ivmesine olan oranı karşılaştırılırsa, önemli fark görülür. Bu fark, eşdeğer statik yükler altında çözüm, taşıyıcı sistemin elastik davranışının kabul edilerek yapılırken, taşıyıcı sistemin göçme yükünün daha gerçekçi olarak elasto-plastik davranış kabulu ile bulunması gerekiğinden kaynaklanmaktadır. Buna göre, taşıyıcı sistemin  $A_0 * g / R$  maksimum deprem ivmesi altında elastik davranış ile,  $\ddot{v}_{g \max}$  maksimum deprem ivmesi altındaki elasto-plastik davranış yaklaşık olarak eşdeğer kabul edilmiş bulunmaktadır. Bu kabulün temelinde taşıyıcı sistemin elastik çözümünün, elasto-plastik çözümünden çok daha kolay elde edilebileceği bulunmaktadır. Elasto-plastik davranış altında, yapı elastik davranışa göre büyük taşıma kapasitesine sahip olduğu için genellikle  $A_0 < \ddot{v}_{g \max} / g$  olması doğaldır.

Eğer süneklik için gerekli koşullar sağlanmışsa, elasto-plastik kapasite, elastik olanın 5 ~ 10 katına çıkabilir. Ayrıca elasto-plastik davranışta yutulan enerji, yapının daha

büyük deprem ivmelerine karşı koymalarını sağlar. Deprem bölge katsayısı belirlenirken bir yapının ekonomik ömrünün 60 ~ 70 yıl olduğu kabul edilmiş ve bu sürede söz konusu bölgede beklenen en şiddetli deprem göz önüne alınmıştır [5].

$w_i$  kat ağırlıkları denklem (2.9) 'de gösterilmiştir.

$$w_i = g_i + n * q_i \quad (2.9)$$

Bina toplam ağırlığı ise denklem (2.10) 'la belirlenir.

$$W = \sum_{i=1}^N w_i \quad (2.10)$$

Bu denklemde  $n$  hareketli yük katılım katsayısidır. Hesaba esas olan depremin meydana gelmesi ile bütün katlarda tam hareketli yükün bulunmasının beraberce ortaya çıkması olasılığının çok küçük olacağı düşünülerek,  $n$  gibi bir hareketli yük azaltma katsayısı Tablo 2.5'deki gibi öngörülmüştür. Bu katsayı yapıda, statik hesaplara esas olan hareketli yükün bulunma olasılığı ile artmaktadır [5].

Tablo 2.5 Hareketli Yük Katılım Katsayısı ( $n$ )

Binanın Kullanım Amacı	$n$
Depo, antrepo, vb.	0.80
Okul, öğrenci yurdu, spor tesisi, sinema tiyatro, konser salonu, garaj, lokanta, mağaza, vb.	0.60
Konut, işyeri, otel, hastane,	0.30

Toplam eşdeğer deprem yükü, Bina katlarına etkiyen eşdeğer deprem yüklerinin toplamı olarak denklem (2.11) ile hesaplanmıştır.

$$V_t = \Delta F_N + \sum_{i=1}^N F_i \quad (2.11)$$

Yeni yönetmelikte bina yüksekliği,  $H_N > 25\text{m}$  halinde binanın  $N$ 'inci katına etkiyen ek

esdeğer deprem yükü  $\Delta F_N$ 'nin değeri denklem (2.12) ile hesaplanacaktır.  $\Delta F_N$  yapının en üst katına ek olarak uygulanacak yatay yük olup, yüksek yapılarda birinci mod yanında etkili olabilecek yüksek modların katkısını hesaba katmak içindir.  $H_N \leq 25\text{m}$  için ise  $\Delta F_N = 0$  alınır.

$$\Delta F_N = 0.07 * T_1 * V_t \leq 0.2 * V_t \quad (2.12)$$

Toplam esdeğer deprem yükünün  $\Delta F_N$  dışında geri kalan kısmı, N'inci kat dahil olmak üzere bina katlarına Denk. (2.13) ile dağılacaktır.

$$F_i = (V_t - \Delta F_N) * (w_i * H_i) / \left[ \sum_{j=1}^N (w_j * H_j) \right] \quad (2.13)$$

Dösemelerin yatay düzlemede rıjt diyafram olarak çalıştığı binalarda, her katta iki yatay yer değiştirmeye bileşeni ile düşey eksen etrafındaki dönme, bağımsız statik yer değiştirmeye bileşenleri olarak göz önüne alınacaktır. Her katta belirlenen esdeğer deprem yükleri kat kütle merkezine ve ayrıca ek dışmerkezlik etkisi'nin hesaba katılabilmesi amacıyla, kaydırılmış kütle merkezleri'ne tekil yatay yükler olarak uygulanacaktır. Bulunan bu  $F_i$  kat yatay yüklerinin, kat kütle merkezine etkidiği kabul edildiğinden; katlar, deprem etkisi altında bir öteleme yer değiştirmesi yanında kata etkiyen burulma momenti sonucu bir dönme yer değiştirmesi yaparlar. Bu ise kiriş ve kolonlarda ilave eğilme momentlerinin doğmasına neden olur. Yönetmelik yapının her iki doğrultuda kütle merkezi ile rıjtlik merkezleri arasındaki dışmerkezlige yatay yük doğrultusuna dik doğrultudaki en büyük plan boyutunun %5'i eklenerek bulunacak burulma momentine göre irdelenmesini öngörüyor. Kaydırılmış kütle merkezleri, gerçek kütle merkezinin göz önüne alınan deprem doğrultusundaki kat boyutunun + %5'i ve - %5'i kadar kaydırılması ile belirlenen noktalardır. Böylece, deprem durumunda düzgün olmayan kütle dağılımından doğacak olan burulma momenti de hesaba katılmış olmaktadır. Bu durumda statik hesabın, yapının taşıyıcı sisteminin meydana gelebilecek değişik kütle dağılımlarını da içermek amacıyla, her zaman burulma etkisini göz önüne alarak yapılması gerekmektedir [6].

Eklerde Tablo A.1 ile tanımlanan A2 türü düzensizliğin bulunduğu ve döşemelerin yatay düzlemde rıjıt diyafram olarak çalışmadığı binalarda, döşemelerin yatay düzlemdeki şekil değiştirmelerinin göz önüne alınmasını sağlayacak yeterlikte bağımsız statik yer değiştirme bileşeni hesapta göz önüne alınacaktır. Ek dışmerkezlik etkisinin hesaba katılabilmesi için, her katta çeşitli noktalarda dağılı bulunan tekil kütlelerin her biri, deprem doğrultusuna dik doğrultudaki kat boyutunun  $+5\%$ ’i ve  $-5\%$ ’i kadar kaydırılacaktır.

Binanın herhangi bir i’inci katında Tablo A.1’de tanımlanan A1 türü düzensizliğin bulunması durumunda,  $1.2 < \eta_{bi} \leq 2.0$  olmak koşuluyla, yukarıdaki tanımlara göre bu kata uygulanan  $\pm 5\%$  ek dışmerkezlik, her iki deprem doğrultusu için denklem (2.14)’te verilen  $D_i$  katsayı ile çarpılarak büyütülecektir.

$$D_i = (\eta_{bi} / 1.2)^2 \quad (2.14)$$

Eşdeğer Deprem Yükü Yöntemi’nin uygulandığı tüm binalarda binaların birinci doğal titreşim periyodunun Rayleigh Oranı ile bulunması öngörmüştür. Ancak, birinci ve ikinci deprem bölgelerinde  $H_N \leq 25m$  sağlayan binaları, üçüncü ve dördüncü deprem bölgelerinde ise Eşdeğer Deprem Yükü Yönteminin uygulandığı tüm binalarda birinci doğal titreşim periyodunun denklem (2.15)’teki yaklaşık yöntemle hesaplanmasına izin verilmiştir. Birinci ve ikinci deprem bölgelerinde  $H_N > 25m$  olması halinde Rayleigh Oranı’nın kullanılması zorunlu tutulmuştur.

$$T_1 \cong T_{1A} = C_1 * H_N^{3/4} \quad (2.15)$$

$C_t$  değeri bina taşıyıcı sisteme bağlı olarak hesaplanacaktır.

#### 4) Dinamik Analiz

Bu yöntemde de yer hareketi doğrultusundaki yatay kuvvetler hesap edilir. Ancak statik hesap yöntemlerinden en önemli farkı, toplam yatay kuvveti ve bunların düşey doğrultudaki yayılışının daha doğru yöntemle hesaplanmasıdır. Yatay kuvvetlerin şiddeti de yapının serbest titreşim moduna bağlıdır. Bunlar ise kütle ve rıjitliğin yükseklik boyunca dağılımından hesap edilir. Dinamik hesap için, taşıyıcı sistemi temsil edecek bir model kurulur. Bu modelde, kütle kat seviyelerinde toplanarak,

katların sadece öteleme yer değiştirmesi yapabileceği kabul edilebileceği gibi düğüm noktasında dönme serbestlik derecesi de öngörülebilir.

#### a) Mod Birleştirme Yöntemi

Bu yöntem yeni yönetmelikte bulunan iki dinamik analiz yönteminden biridir. Bu yöntemde maksimum iç kuvvetler ve yer değiştirmeler, binada yeterli sayıda doğal titreşim modunun her biri için hesaplanan maksimum katkıların istatistiksel olarak birleştirilmesinden elde edilir.

Herhangi bir  $r'$ inci titreşim modunda göz önüne alınacak ivme spektrumu ordinatı denklem (2.16) ile ya da elastik tasarım ivme spektrumu eğrisi kullanılarak hesaplanabilir.

$$S_{pa}(T_r) = A(T_r) * g / R_a(T_r) \quad (2.16)$$

Döşemenin yatay düzlemede rıjıt diafram olarak çalıştığı binalarda, her bir katta aşağıda tanımlanan kaydırılmış kütle merkezlerinin her birinde, birbirine dik iki doğrultularda iki yatay serbestlik derecesi ile düşey eksen etrafındaki dönme serbestlik derecesi göz önüne alınacaktır. Kat kütleleri, her katın kütle merkezinde ve ayrıca ek dış merkezlik etkisinin hesaba katılabilmesi amacıyla, kaydırılmış kütle merkezlerinde tanımlanacaktır. Ancak herhangi bir  $i'$ inci katın kütle eylemsizlik momenti,  $m_{0i}$ , kaydırılmamış kütle merkezinden geçen düşey eksen etrafında hesaplanacaktır.

Hesaba katılması gereken yeterli titreşim modu sayısı,  $Y$ , göz önüne alınan birbirine dik x ve y yatay deprem doğrultularının her birinde, her bir mod için hesaplanan etkin kütlelerin toplamının hiçbir zaman bina toplam kütlesinin %90'ından daha az olmaması kuralına göre belirlenecektir. Ayrıca göz önüne alınan deprem doğrultusunda etkin kütlesi, bina toplam kütlesinin %5'inden büyük olan titreşim modları göz önüne alınacaktır.

Yeni yönetmelikte mod katkılarının birleştirilmesi için uygulanacak kurallar belirtilmiştir. Binaya etkiyen toplam deprem yükü, kat kesme kuvveti, iç kuvvet bileşenleri, yer değiştirme ve göreli kat ötelemesi gibi büyülüklerin her biri için ayrı

ayrı uygulanmak üzere, her titreşim modu için hesaplanan ve eşzamanlı olmayan maksimum katkılarının istatiksel olarak birleştirilmesi için uyulması gereken kurallar :

$T_s < T_r$  olmak üzere, göz önüne alınan herhangi titreşim moduna ait doğal periyotların daima  $T_s / T_r < 0.80$  koşulunu sağlaması durumunda, maksimum mod katkılarının birleştirilmesi için Karelerin Toplamının Kare Kökü Kuralı uygulanabilir.

Yukarıdaki koşulun sağlanmaması durumunda, maksimum mod katkılarının birleştirilmesi için Tam Karesel Birleştirme (C.Q.C.) Kuralı uygulanacaktır [6].

Göz önüne alınan deprem doğrultusunda mod katkılarının birleştirilmesi ile elde edilen bina toplam deprem yükü  $V_{TB}$ 'nin, Eşdeğer Deprem Yükü Yöntemi'nde hesaplanan bina toplam deprem yükü  $V_t$ 'ye oranının aşağıda tanımlanan  $\beta$  değerinden küçük olması durumunda ( $V_{TB} < \beta * V_t$ ), Mod Birleştirme Yöntemi'ne göre bulunan iç kuvvet ve yer değiştirme büyülükleri, denklem (2.17)'ye göre hesaplanacak.

$$B_D = (\beta * V_t / V_{TB}) * B_B \quad (2.17)$$

#### b) Zaman Tanım Alanında Hesap Yöntemleri

Özel durumlarda, bina ve bina türü yapıların zaman tanım alanında doğrusal elastik ya da doğrusal elastik olmayan deprem hesabı için, daha önce kaydedilen veya yapay yollarla üretilen benzeştirilmiş deprem yer hareketleri kullanılabilir.

Zaman tanım alanında yapılacak deprem hesabında, aşağıdaki özellikler taşıyan en az üç kaydedilmiş veya benzeştirilmiş ivme kaydı kullanılacak ve bunlara göre elde edilen büyülüklerin en elverişsiz olanları kullanılacaktır. Bu kurallar:

1. İvme kayıtlarındaki kuvvetli yer hareketi kısmının süresi, ivmelerin zarfları  $\pm 0.05g$  den az olmamak koşulu ile,ının birinci doğal titreşim periyodunun 5 katından ve 15 saniyeden kısa olmayacağı.
2. Kaydedilmiş veya benzeştirilmiş her bir ivme kaydına göre %5 sönüüm oranı için yeniden bulunacak spektral ivme değerleri, bütün periyotlar için A(T) spektral ivme katsayıları değerlerinin g ile çarpımının %90'ından az olmayacağı.

## 5) Yer Değiştirmelerinin Sınırlanırılması, İkinci Mertebe Etkileri

Herhangi bir kolon veya perde için, ardışık iki kat arasındaki yer değiştirme farkını ifade eden görelî kat ötelemesi,  $\Delta_i$ , denklem (2.18)'e göre verilmiştir. Burada  $d_i$  ve  $d_{i-1}$ , binanın  $i'$ inci ve  $(i-1)$ 'inci herhangi bir kolon veya perdenin uçlarında hesapтан elde edilen yatay yer değiştirmeleri göstermektedir.

$$\Delta_i = d_i - d_{i-1} \quad (2.18)$$

Her bir deprem doğrultusu için, binanın herhangi bir ilinci katındaki kolon veya perdelerde görelî kat ötelemelerinin en büyük değeri,  $(\Delta_i)_{max}$ , denklem (2.19)'da verilen koşullardan elverişsiz olanını sağlayacaktır.

$$(\Delta_i)_{max} / h_i \leq 0.0035 \quad (2.19a)$$

$$(\Delta_i)_{max} / h_i \leq 0.02 / R \quad (2.19b)$$

Denklem (2.19)'da verilen koşulun binanın herhangi bir katında sağlanmaması koşulunda, taşıyıcı sistemin rıjitliği artırılarak deprem hesabı tekrarlanacaktır.

Taşıyıcı sistem elamanlarının doğrusal elastik olmayan davranışını esas alan daha kesin bir hesap yapılmadıkça, ikinci mertebe etkileri aşağıdaki şekilde göz önüne alınabilir.

1. Göz önüne alınan deprem doğrultusunda her bir katta, İkinci Mertebe Göstergesi Değeri,  $\theta_i$ 'nin denklem (2.20) ile verilen koşulu sağlaması durumunda, ikinci mertebe etkileri yürürlükteki çelik yapı yönetmeliklerine değerlendirilecektir.

$$\theta_i = \left[ (\Delta_i)_{ort} * \sum_{j=1}^N w_j \right] / [V_i * h_i] \leq 0.12 \quad (2.20)$$

2. Denklem (2.20)'un herhangi bir katta sağlanmaması durumunda, taşıyıcı sistem rıjitliği yeterli ölçüde artırılarak deprem hesabı tekrarlanacaktır.

## **2.2.2. Çelik Binalar İçin Depreme Dayanıklı Tasarım**

Depreme karşı davranışları bakımından, çelik binaların yatay yük taşıyıcı sistemleri süneklik düzeyi yüksek ve süneklik düzeyi normal sistemler olmak üzere iki sınıfa ayrılmıştır [6].

Emniyet gerilmeleri yöntemine göre yapılan kesit hesaplarında, birleşim ve ekler dışında, emniyet gerilmeleri için TS-648'de EİY yükleme durumunda izin verilen %15 artırımı, deprem durumunda en fazla %33'e çıkarılabilir.

Taşıma gücü yöntemine göre yapılan kesit hesaplarında, deprem etkisini içeren yükleme durumları için TS-4561'deki yük katsayıları denklem (2.21)'deki şekilde değiştirilecektir:

$$1.0 G + 1.0 Q \pm 1.0 E \quad (2.21)$$

veya daha elverişsiz sonuç vermesi durumunda ise denklem (2.22)'ye uyulacaktır

$$0.9 G \pm 1.0 E \quad (2.22)$$

Ayrıca, taşıma gücü yöntemiyle TS-4561'e göre yapılacak hesaplarda çelik akma sınırına uygulanacak malzeme güvenlik katsayıısı 1.15, betonarme-çelik kompozit döşemelerde beton karakteristik basınç dayanımına uygulanacak malzeme güvenlik katsayıısı ise 1.5 olarak alınacaktır.

### **1) Süneklik Düzeyi Yüksek Sistemler**

Süneklik düzeyi yüksek sistemler aşağıdaki koşulları sağlayan çerçeve türü taşıyıcı sistemler, dışmerkez çelik perdelerden oluşan yatay yük taşıyıcı sistemler veya bu iki tür sistemin birleşiminden oluşan sistemler olabilir.

#### **1.a) Süneklik Düzeyi Yüksek Çerçeveler**

Kesit hesapları TS-648'e göre emniyet gerilmeleri yöntemi ile yapılsa bile, tüm çerçeve elemanlarında başlık genişliği/kalınlığı ve gövde derinliği/kalınlığı oranları için TS-4561'de verilen koşullara uyulacaktır.

Çerçeve türü sistemlerde veya perdeli - çerçeveli sistemlerin çerçevelerinde, göz önüne alınan deprem doğrultusunda her bir kolon - kiriş düğüm noktasına birleşen kolonların plastikleşme momentlerinin toplamı, o düğüm noktasına birleşen kirişlerin plastikleşme momentleri toplamından daha büyük olacaktır.

$$(M_{pa} + M_{pu}) \geq (M_{pi} + M_{pj}) \quad (2.23)$$

Denklem (2.23), depremin her iki yönü için elverişsiz sonuç verecek şekilde ayrı ayrı uygulanacaktır. Kolon plastikleşme momentlerinin hesabında, depremin yönü ile uyumlu olarak bu momentleri en küçük yapan tasarım eksenel kuvvetleri göz önüne alınacaktır. Tek katlı binalarda ve çok katlı binaların en üst katındaki düğüm noktalarında denklem (2.23)'ün sağlanıp sağlanmadığına bakılmalıdır.

Sadece çerçevelerden veya perde ve çerçevelerin birleşiminden oluşan taşıyıcı sistemlerde, göz önüne alınan deprem doğrultusunda binanın herhangi bir i'inci katında denklem (2.24)'in sağlanması koşulu ile, ilgili katın alt ve / veya üstündeki bazı düğüm noktalarında denklem (2.23)'ün sağlanmamış olmasına izin verilebilir.

$$\alpha_i = V_{is} / V_{ik} \geq 0.70 \quad (2.24)$$

Denklem (2.24)'ün sağlanması durumunda,  $0.70 < \alpha_i < 1.00$  aralığında, denklem (2.23)'ün hem alttaki, hem de üstteki düğüm noktalarında sağlandığı kolonlara etkiyen eğilme momentleri ve kesme kuvvetleri ( $1 / \alpha_i$ ) oranı ile çarpılarak arttırlacaktır.

Herhangi bir katta denklem (2.24)'in sağlanamaması durumunda, sadece çerçevelerden veya perde ve çerçevelerin birleşiminden oluşan taşıyıcı sistemlerdeki tüm çerçeveler suneklik düzeyi normal çerçeve olarak göz önüne alınacak ve Tablo 2.1'e göre Taşıyıcı Sistem Davranış Katsayısı değiştirilerek hesap tekrarlanacaktır.

Çerçevelerde ek ve birleşimler için aşağıdaki kurallar esas alınacaktır [6]:

Çerçevelerin kolon - kiriş birleşimlerinde kolon sürekli olacaktır. Kirişin kolon kesitinin başlığına bağlanması durumunda kolon gövdesi kiriş başlığı seviyesinde berkitme levhaları ile güçlendirilecektir.

Birinci ve ikinci derece deprem bölgelerinde, eğilme aktaran birleşim ve eklerde kaba bulon kullanılmayacaktır. Ancak, öngirmeli olarak kullanılan yüksek dayanımlı bulonlar ve ankray bulonları bu kısıtlamanın dışındadır. Yüksek dayanımlı bulonlar ISO 8.8 veya 10.9 kalitesinde olacaktır.

Kolon ekleri, kolon - kiriş birleşim yerinden en az kat yüksekliğinin 1 / 4'ü kadar uzakta yapılacaktır. Eklerin küt kaynak yapılması durumunda, kaynak ağızı açılacak ve derin penetrasyonlu kaynak kullanılacaktır.

Köşe kaynaklı ya da öngirmesiz bulonlu kolon - kiriş birleşimlerinin yük aktarma gücü, birleşime bağlanan elemanın taşıma gücünün 1.20 katından daha az olamaz. Diğer tür kolon - kiriş birleşimlerinde, birleşimin yük aktarma gücü, birleşime bağlanan elemanın kendi taşıma gücünden hiçbir zaman daha az olamaz.

Kiriş ekleri, kolon – kiriş birleşim yerinden en az kiriş yüksekliği kadar uzakta yapılacaktır.

### **1.b) Süneklik Düzeyi Yüksek Çelik Çaprazlı Perdeler**

Süneklik düzeyi yüksek çelik çaprazlı perdeler; kolonlar, kirişler ve düğüm noktalarına dışmerkez olarak bağlanan çapraz örgü çubuklarından oluşan yatay yük taşıyıcı sistem elemanlarıdır. Bu elemanlara uygulanacak koşullar aşağıda belirtilmiştir:

- 1)Örgü çubuklarının kolon - kiriş birleşim noktasına ya da iki örgü çubuğuının bir kiriş üzerindeki ortak birleşim noktasına göre dışmerkezliği, perde kolonları arasındaki açıklığın 1/5'i ile 1/10'u arasında seçilecektir. Dışmerkez örgü çubuklarının kirişle birleşme noktalarında, kirişin yanal burkulmasının ve ayrıca yerel burkulmaların önlenmesi için gerekli önlemler alınacaktır.
- 2)Örgü çubuklarının kolonlara bağlı olduğu çaprazlı perdelerde, bağlantı kolon kesitinin başlığına yapılacaktır. Kolon gövdesine bağlantı yapılamaz.
- 3)Basınç kuvveti de alacak şekilde hesaplanan örgü çubuklarının narinlik oranı 100'den fazla olamaz.

4)Birden çok parçalı olup basınç kuvveti de alan örgü çubuklarında, TS-648'in ara bağlantılarına ilişkin tüm kuralları geçerlidir.

5)Örgü çubuklarının birleşimlerinde kaba bulon kullanılması durumunda, bulonların emniyet gerilmeleri %33 azaltılacaktır.

## **2) Süneklik Düzeyi Normal Sistemler**

### **2a) Süneklik Düzeyi Normal Çerçeveler**

Süneklik düzeyi normal çerçevelerde ek ve birleşimlerin hesabında, bulunan iç kuvvetlerin iki katı kullanılacaktır. Süneklik düzeyi yüksek çerçeveler için verilen ek ve birleşim kuralları 2. madde hariç olmak üzere, süneklik düzeyi normal çerçeveler için de geçerlidir.

### **2b) Süneklik Düzeyi Normal Çelik Çaprazlı Perdeler**

Süneklik düzeyi normal çelik çaprazlı perdeler; kolonlar, kirişler ve düğüm noktalarına merkezi olarak bağlanan çapraz örgü çubuklarından oluşan yatay yük taşıyıcı sistem elemanlarıdır. Bu elemanlara uygulanacak koşullar aşağıda belirtilmiştir [6]:

1)Çaprazların sadece çekmeye çalışmak üzere hesaplanması durumunda, çapraz örgü çubuklarının narinlik oranı 250'yi aşmayacaktır.

2)Basınç kuvveti de alacak şekilde hesaplanan örgü çubuklarının narinlik oranı 100'den fazla olamaz.

3)Birden çok parçalı olup basınç kuvveti de alan örgü çubuklarında, TS-648'in ara bağlantılarına ilişkin tüm kuralları geçerlidir.

4)Örgü çubuklarının birleşimlerinde kaba bulon kullanılması durumunda, bulonların emniyet gerilmeleri %33 azaltılacaktır.

## **2.3. 1975 Yılı Yönetmeliği**

### **2.3.1. Depreme Dayanıklı Yapılar İçin Hesap İlkeleri**

1975 yılı yönetmeliğinde deprem etkilerine göre hesap bakımından yapılar genel hatlarıyla belirtilen taşıyıcı sistemi düzenli ve düzensiz olmak üzere iki sınıfa ayrılmıştır. Taşıyıcı sistemleri döşeme ya da kirişler ile düşey kolonlardan oluşan, kolon ve perdeleri sürekli olarak temele kadar inen yapılara düzenli yapılar denir. Bunun dışında kalan ve rıjilik ya da kütle yayılışı bakımından süreksızlıklar gösteren yapılara düzensiz yapılar denir [7].

Eski yönetmelikte güvenilir bir dinamik çözümleme yapılmadıkça, taşıyıcı sistemi düzenli olan ve temel üst katundan ölçülen yüksekliği 75m'yi geçmeyen her türlü binanın deprem hesabı statikçe eşdeğer yatay yükler kullanılarak yapılır. Ancak taşıyıcı sistemi düzensiz veya temel üst katundan ölçülen yüksekliği 75m'yi geçen tüm binalarda güvenilir bir dinamik hesap yöntemi seçilmelidir. Böyle bir dinamik hesapta zemin ve yapının dinamik özellikleri ayrıntılıyla göz önünde tutulur. Gerçek ya da idealleştirilmiş spektrumlara göre mod süperpozisyonu yöntemi ya da depreme davranışın zamana göre değişimini veren titreşim denkleminin integrasyonu vb. yöntemlerden biri ya da model deneyleri kullanılabilir. Ancak, dinamik hesap sonucunda bulunacak toplam yatay yükler 2.3.1'de bulanan değerlerin %70'inden küçük olamaz.

#### **a) Toplam Yatay Yük Hesabı**

Statik eşdeğer yatay yüklerin toplamı

$$F = C * W \quad (2.25)$$

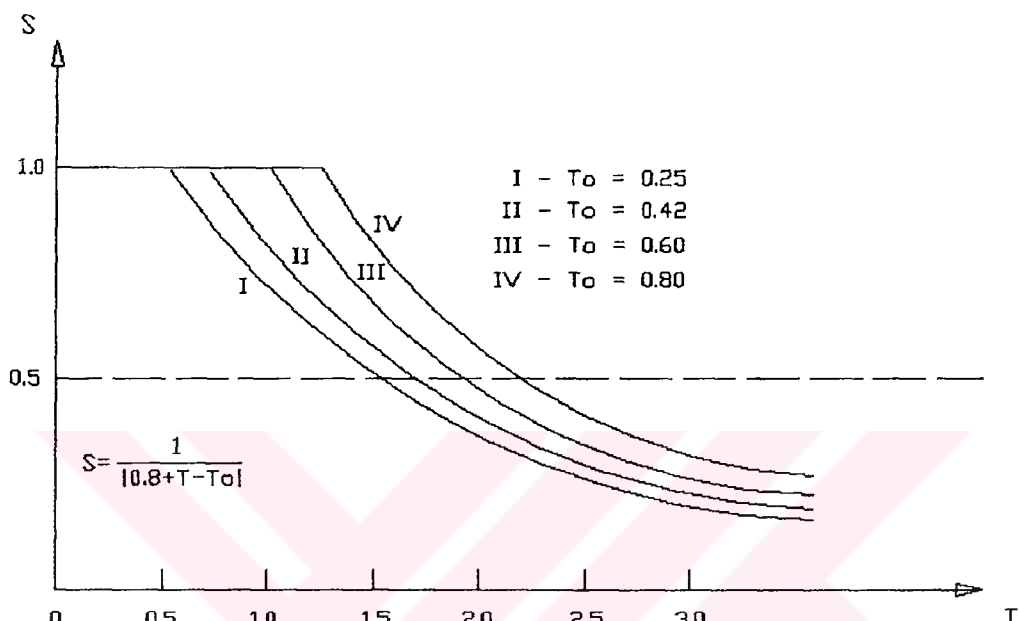
denklemi ile hesaplanacaktır. Burada C deprem katsayısı olarak adlandırılmıştır.

$$C = C_0 * K * S * I \quad (2.26)$$

denklemi ile saptanır.  $C_0$ , K, S, I sırasıyla Deprem Bölge Katsayısı, Yapı Tipi Katsayısı, Spektrum Katsayısı, Yapı Önem Katsayısı'dır.  $C_0$ , Toplam dört deprem

bölgesinde 0.1 ile 0.8 arasında değişmektedir. C deprem katsayısı hiçbir zaman  $C_0/2$  den daha küçük alınmamalıdır. K değerleri eklerde Tablo A.6'dan elde edilecektir.

I, halkın az yığıldığı yapılarda 1.0, diğer durumlarda ise 1.5 olarak alınmaktadır. S, ise denklem (2.27)'deki gibi hesaplanmıştır.



Şekil 2.6 Spektrum Eğrisi

$$S = \frac{1}{|0.8 + T - T_0|} \quad (2.27)$$

Denklem (2.27)'de T, saniye cinsinden yapının birinci normal moduna ait doğal periyodu,  $T_0$  zemin hakim periyodudur. Spektrum eğrisi Şekil 2.6'da gösterilmiştir.

Güvenilir varsayımlara dayanan deneysel ya da teorik ilkelere göre hesabı yapılmadıkça S katsayısının hesabında kullanılacak bina doğal periyodu

$$T = 0.09 * H_N / \sqrt{D} \quad (2.28)$$

$$T = (0.07 \sim 0.1) * N \quad (2.29)$$

yaklaşık denklemlerinden bulunan T değerinin elverişsiz olanı alınır.  $H_N$ , D, N, değerleri sırasıyla ,binanın temel üst kotundan ölçülen yüksekliği (m), yatay yükler

doğrultusuna paralel doğrultudaki bina genişliği (m), bina temel düzeyi üzerindeki kat adedidir. Büyük açıklıklı endüstri yapıları, sinema, spor tesisleri vb. yapılarla temel üst kotundan ölçülen yüksekliği 35 m'yi geçen binalar ile, baca, kule yüksek hazne vb. yapılarda doğal periyot zemin ve yapıya ait özellikler dikkate alınarak güvenilir bir dinamik yöntem ile hesaplanmalıdır.

Toplam yatay yük hesaplanmasıında kullanılacak olan  $W$ , toplam yapı ağırlığı

$$W = \sum_{i=1}^N W_i \quad (2.30)$$

olup  $W_i$  kat ağırlığı;

$$W_i = g_i + n * q_i \quad (2.31)$$

denklemi ile hesaplanır. Burada,  $g_i$ ,  $i$ 'inci kattaki sabit yükler toplamı,  $q_i$ ,  $i$ 'inci kattaki hareketli yükler toplamıdır,  $n$ , hareketli yük katsayısı yapının cinsine göre 0.3 ile 0.8 arasındadır [7].

### b) Yatay Yükün Yükseklik Boyunca Dağıtılması

Yapının kat düzeylerine uygulanacak  $F_i$  yatay yükleri

$$F_i = (F - F_t) * (W_i * h_i) / \left[ \sum_{i=1}^N (W_i * h_i) \right] \quad (2.32)$$

denklemi ile hesaplanır. Burada  $F$ , toplam yatay yük,  $W_i$ ,  $i$  'inci katın kat ağırlığı,  $h_i$ ,  $i$ 'inci katın temel üst kotundan ölçülen yüksekliği,  $F_t$ , yapının en üst kat düzeyine uygulanacak tekil kuvvettir.  $F_t$  kuvvetinin değeri

$$F_t = 0.004 * F * (H_N / D)^2 \quad (2.33)$$

denklemi ile hesaplanır. Eski yönetmelikte  $F_t$  için sınırlamalar getirilmiştir.

1)  $F_t$  hiçbir zaman  $0.15F$  'den büyük olamaz.

2)  $H_N / D \leq 3$  olması halinde  $F_t = 1$  alınabilir

### c) Yatay Burulma Momenti

Bu yönetmelikte binanın yatay burulma momenti etkisi hesabına ilişkin hesabın yapımı şu şekildedir. Her iki doğrultuda herhangi bir katın kütle merkezi ile rıjilik merkezi arasında hesapla bulunan eksantrikligé, yatay yük doğrultusuna dik doğrultudaki en büyük bina boyutunun %5'i eklenecek bulunacak burulma momentlerine göre belirlenmiştir.

#### 2.3.2 Çelik Binalar İçin Depreme Dayanıklı Tasarım

Çelik yapıların hesap ilkeleri aşağıda belirtilmiştir:

- 1) Çelik karkas yapılarda rıjit kiriş-kolon birleşimleri, kesit etkilerini tam aktarabilecek şekilde düzenlenmelidir.
- 2) Çelik karkas yapılarda döşemeler betonarme prefabrike eleman ya da özel metal profilli döşemeler olabilir. Yapının yanal rıjılığı, sadece belirli akslarda düzenlenmiş betonarme çekirdek ya da rıjit çerçevelerle sağlandığında, kat döşemeleri düzeyinde etkiyen yatay kuvvetlerin bu rıjit akslara aktarılması, ya monolitik döşemenin kendi düzlemindeki rıjılığı ile ya da monolitik olmayan döşemelerde düzenlenecek yatay bağlantılarla sağlanmalıdır.
- 3) Duvar ve bölmeler, hafif pano vb. prefabrike duvar elemanları ya da yerinde örme duvar olabilir.
- 4) Rüzgar ve kararlılık bağlantıları, deprem kuvvetlerini de mesnetlere dek emniyetle aktarabilecek biçimde düzenlenmelidir.
- 5) Birinci ve ikinci derece deprem bölgelerinde kaba bulonların emniyet gerilmeleri %30 azaltılacak ve çift somunlu olarak yapılacaktır [7].

### 2.4 Deprem Yönetmeliklerinin Kıyaslaması

#### 2.4.1 Hesap Yönteminin Seçimlerinin Kıyaslaması

Hesap ilkelerinde karşımıza çıkan ilk farklılık, 1997 deprem yönetmeliğinde 1. ve 2. deprem bölgeleri için hesap yönteminin seçilmesinde toplam yapı yüksekliği ( $H_N$ ) ile birlikte bazı düzensizlik durumlarının belirleyici etken olması ve bu nedenle düzensizlik durumlarının detaylı bir şekilde tanımlanmış olmasıdır. Düzensizliklerin

belirli koşullar altında bulunması halinde ise sonuçlarda katsayılarla artırma yapılmış. 1975 deprem yönetmeliğinde ise düzensizlikler sadece düşey taşıyıcı sistemin süreksizliğini kapsıyor ve düzensizlik halindeki tek şart hesap yönteminin dinamik metot seçilmesidir.

#### 2.4.2 Eşdeğer Deprem Yükü Yöntemlerinin Kıyaslaması

Yeni yönetmelikte eşdeğer statik yöntemin uygulanabilmesi için geçerli olan şartlar deprem bölgelerine de bağlıdır. Eski yönetmelikte bütün deprem bölgeleri için 75m'yi geçmeyen, düzenli binalar için statik metot uygulanabilirken, 1997 yönetmeliğinde 1. ve 2. deprem bölgelerinde düzensizliklere göre 25m ve 60m bina yüksekliği koşulu, 3. ve 4. deprem bölgelerinde ise 75m yüksekliği koşullarının sağlanması halinde statik metot uygulanabilir. Tablo 2.6'da eski ile yeni yönetmelik eşdeğer deprem yükü yöntemi kıyaslanması gösterilmiştir.

Tablo 2.6 Eşdeğer Deprem Yükü Yöntemi Kıyaslaması

1997 YÖNETMELİĞİ		1975 YÖNETMELİĞİ	
Taban kesme Kuvveti	$V_t = W * A(T_1) / R_a(T_1)$ $V_t \geq 0.1 * A_0 * I * W$	Taban kesme Kuvveti	$F = C * W$
Spektral ivme Katsayısı	$A(T) = A_0 * I * S(T)$	Deprem Katsayısı	$C = C_0 * K * S * I$
Deprem yükü Azaltma katsayısı	$R_a(T) = 1.5 + (R - 1.5) * T / T_A \quad (0 \leq T \leq T_A)$ $R_a(T) = R \quad (T > T_A)$	Deprem yükü Azaltma katsayısı	—
Spektrum Katsayısı	$S(T) = 1 + 1.5 * T / T_A \quad (0 \leq T \leq T_A)$ $S(T) = 2.5 \quad (T_A \leq T \leq T_B)$ $S(T) = 2.5 * (T_B / T)^{0.8} \quad (T > T_B)$	Spektrum Katsayısı	$S = 1 /  0.8 + T - T_0 $
Doğal Titreşim Periyodu	$T_1 = C_1 * H_N^{3/4} \quad H_N \leq 25 \text{ m.}$ $T_1 = 2\pi \left[ \sum_{i=1}^N (m_i d_{fi}^2) / \sum_{i=1}^N (F_{fi} d_{fi}) \right]^{1/2} \quad H_N \geq 25 \text{ m.}$	Doğal titreşim Periyodu	$T = 0.09 * H / \sqrt{D} \quad H_N \leq 35 \text{ m}$ veya $T = (0.07 \sim 0.10) * N \quad \text{Dinamik metot} \quad H_N > 35 \text{ m}$
Kat deprem Yükü	$F_i = (V_i - \Delta F_N) * (W_i * H_i) / \left[ \sum_{j=1}^N (W_j * H_j) \right]$	Kat deprem yükü	$F_i = (F - F_t) * (W_i * h_i) / \left[ \sum_{j=1}^N (W_j * h_j) \right]$

Yeni yönetmelikte sünek tasarım ilkesine uyulması gerekiyor. Bunun için taban kesme kuvveti deprem yükü azalta katsayısı,  $R_a$ 'ya bölünerek küçültülüyor. Yeni yönetmelikte spektral ivme katsayısı, eski yönetmelikteki deprem katsayısına benzetilerek yapılan karşılaştırmada şu sonuçlar elde edilir:

- 1) Eski yönetmelikteki  $C_0$ 'ın yerini  $A_0$  almıştır.  $A_0$ ,  $C_0$ 'a göre maksimum yer ivmesinin yerçekimi ivmesine oranına daha yakın değerler almaktadır.
- 2) Yeni yönetmelikte I, bina önem katsayısı değerleri daha ayrıntılı bir şekilde verilmiştir.
- 3) Yeni yönetmelikte, yapının elasto-plastik davranışını göz önünde bulundurarak deprem yükünü; doğal titreşim periyodu, spektrum karakteristik periyotları ve taşıyıcı sistem davranış katsayısına bağlı olarak azaltan deprem yükü azaltma katsayısı ( $R_a$ ) tanımlanmıştır.
- 4) Yönetmeliklerin her biri, oldukça farklı spektrum eğrilerini esas almaktadır. Yeni yönetmelikte eğri,  $T_A$  ve  $T_B$  periyotları yerel sınıf koşullarına ait köşe periyotlar olmak üzere 3 ayrı fonksiyondan oluşmaktadır. Bu eğri, bir takım genelleştirilmiş spektrumlardan elde edilmiştir. Hesap yöntemine bağlı olarak sınırlar farklı değerler almaktadır. Yeni yönetmelikte en büyük değeri 2.5 iken eski yönetmelikte 1.0 değerini almaktadır.
- 5) Yeni yönetmelikte binanın birinci doğal titreşim periyodu, bina yüksekliği 25 m.'den küçük binalar için yaklaşık bağıntı ile hesaplanırken, eski yönetmelikte bu sınır 35 m. olmaktadır. Yaklaşık bağıntı yeni yönetmelikte bina taşıyıcı sistemine ve bina yüksekliğine göre değişirken, eski yönetmelik bağıntısında değişkenler bina geometrisinden (yükseklik ve söz konusu genişlik) ibarettir; buna ilaveten bir de kat adedi ve rıjtlik derecesine bağlı bir bağıntı verilmekte, iki bağıntı arasındaki seçim ve rıjtlik derecesinin tanımlanması, mühendise bırakılmaktadır. Yüksekliği 25 m'yi aşan binalarda yeni yönetmelik, daha kesin bir hesap yapılmadıkça, Rayleigh oranına bağlı hesap yapılmasını önermekte, eski yönetmelikte ise 35 m. sınırının aşılması durumunda kesin bir hesap yöntemi belirtmemektedir, bunun yerine zemin ve yapı özelliklerini göz önünde bulunduracak, güvenilir bir dinamik hesap yöntemi tavsiye edilmektedir.
- 6) Katlara etkiyen kesme kuvvetleri için geçerli olan ifade genel şekliyle, her iki yönetmelikte aynı görünse de, aynı isimlere sahip değişkenler farklı şekillerde hesaplanmaktadır. Örneğin; ek eşdeğer deprem yükü ifadesi yeni yönetmelikte doğal titreşim periyoduna da bağlımasına rağmen, eski yönetmelikte bunun yerine bine

geometrisi hesaba katılmaktadır. Ayrıca ek kesme kuvveti üst sınır koşulları ve bu kuvvetin göz önüne alınma durumları da farklılık göstermektedir; örneğin ek kesme kuvvetinin hesaba katılması koşulu yeni yönetmelikte  $H_N \geq 25$  m. iken, eski yönetmelikte bu koşul  $H/D \geq 3$  şeklini almaktadır.

#### **2.4.3. Dinamik Hesap Metotlarının Kıyaslaması**

Eski yönetmelikte dinamik hesap metodu hakkında kesin bir açıklama bulunmamaktadır. Ancak gerçek ya da idealleştirilmiş spektrumlara göre mod süperpozisyonu yöntemi ya da depreme davranışının zamana göre değişimini veren titreşim denklemlerinin integrasyonu v.b. yöntemlerden biri ya da model deneyleri kullanılabileceği belirtilmektedir. Yeni yönetmelikte ise kullanılması ön görülen dinamik hesap metotları mod birleştirme yöntemi ve zaman tanım alanında hesap yöntemleridir. Mod birleştirme yönteminde kullanılması gereken ivme spektrumu elastik tasarım spektrum eğrisi ile ya da bölüm 2.3'te belirtilen denklem 2.16 kullanılarak hesaplanabilir. Ayrıca bu yöntemde göz önüne alınacak dinamik serbestlik dereceleri, yeterli titreşim modu sayısı, mod birleştirme kuralları da belirtilmiş. Her iki yönetmelikte de dinamik metot, statik metoda bağlı olarak sınırlanmıştır. Yeni yönetmelikte dinamik metot sonuçları sisteme dikenlerin düzensizliklere bağlı olarak değişen katsayı ile hesap sonuçlarının oranı ölçüsünde artırılmış. Bu katsayı düzensizlikler durumunda 1.00 düzensizlikler yoksa 0.90 olarak belirtilmiş. Eski yönetmelikte ise dinamik metot sonuçları statik sonuçların %70',inden küçük olamaz. Böylece yeni yönetmelik eskiye oranla, dinamik analizde statik analiz sonuçlarına daha yakın değerler elde edilmesini şart koymaktadır.

Yeni deprem yönetmeliğinde yer değiştirmeler sınırlanılarak ikinci mertebe etkileri göz önüne alınıp, deprem hesabının tekrar edilme koşulları yer almaktadır.

#### **2.4.4. Çelik Yapıların Tasarımının Kıyaslaması**

Yeni yönetmelikte, çelik yapıların tasarımına ilişkin koşullar daha detaylı olarak açıklanmış, eski yönetmelikte yer almayan süneklik kavramı üzerinde durularak taşıyıcı sistemlerin sünek yapılması için gerekli koşullar belirtilmiştir. Sistem sünek yapılarak deprem etkilerinin azaltılmasına çalışılmıştır. Sistemler, süneklik düzeyi yüksek ve normal olmak üzere iki ayrı kısımda incelenmiştir. Her iki durumda da çerçevelerde kolonların kirişlerden daha güçlü olması ön görülecek göçmenin ilk önce kolon yerine kirişte olması sağlanmıştır. Bu şartın sağlanmadığı kolon-kiriş birleşimlerinde,  $\alpha_i$  kontrolü yapılarak, sistemin süneklik düzeyi normal çerçeve kabulüyle deprem hesabının tekrarlanması tekrarlanmayacağı kararı alınır. Eski yönetmelikte ise süneklik tanımına yer verilmemiştir.

Tasarımda esas alınan yükler, yeni yönetmelikte emniyet gerilmeleri ve taşıma gücü yöntemlerine göre değişik kombinasyonlarla yer almaktadır. Emniyet gerilmeleriyle ilgili olarak, yeni yönetmelikte bireşimler ve ekler haricindeki kesit hesaplarında deprem halinde %33' e kadar bir artım ifadesi kullanılırken; eski yönetmelikte sadece I. ve II. Deprem bölgelerinde kaba bulonlar için %30'luk bir azaltım ve çift somun kullanımı şartı bulunmaktadır.

Çelik yapıların kullanımındaki artışın beraberinde getirdiği sistem türlerindeki artış paralel olarak, yeni yönetmelikte ek ve bireşimlere dair kurallara geniş yer verilmiştir. Ayrıca çelik çaprazlı perdelere de degenilerek dış merkezlik durumu da göz önünde bulundurulmuştur. Eski yönetmelikte sadece çekmeye çalışan örgü çubuklarına yer verilirken, yeni yönetmelikte örgü çubukları için basınç kuvveti de alacak şekilde bir narinlik oranı tanımlanmıştır.

Buruşmayı önlemek için yeni yönetmelik, enkesit koşullarını taşıma gücü yönteminde belirtilen şartlara uygun olarak tanımlamaktadır. Eski yönetmelikte ise, enkesitlere ait herhangi bir koşula rastlanmamaktadır.

Yeni yönetmeliğin en önemli farklarından biri de çeşitli durumlarda uygun görülen şartnamelere atıfta bulunarak; TS 648, TS 4561, TS 3357 gibi yürürlükteki şartnamelerle uyumun sağlanmış olmasıdır.

## **3. YÜKLER**

### **3.1. Yüklerin Tanımı**

Yükler iki ana sınıfta açıklanabilir; statik yükler ve dinamik yükler. Çözülen sistemde yükler TS498 ve ‘Afet Bölgelerinde Yapılacak Yapılar Hakkındaki Yönetmelik’ deki şartlara uygun olacak şekilde belirlendi. Yükler kısaca şöyle açıklanabilir.

#### Statik Yükler:

Ölü yükler : Bu yükler yapının ağırlığını kapsar.

Hareketli yükler: İnsan, mobilya, mekanik alet, makine veya hareketli bölmeleri kapsar.

#### Dinamik Yükler:

Deprem, rüzgar, makine veya araç tesirlerini kapsar.

### **3.2. Düşey Yükler**

#### Ölü yükler:

$$10 \text{ cm betonarme plak} \quad 0.10 * 25 \quad = 2.50 \text{ kN/m}^2$$

$$\text{Çelik kiriş + kaplama} \quad = 1.20 \text{ kN/m}^2$$

$$\text{Asma tavan} \quad = 0.30 \text{ kN/m}^2$$

$$\Sigma G = 4.00 \text{ kN/m}^2$$

### Hareketli yükler:

Hafif duvar  $= 1.50 \text{ kN/m}^2$

$2.00 \text{ kN/m}^2$

$$\Sigma Q = 3.50 \text{ kN/m}^2$$

### **3.3. Dinamik Yükler**

#### **3.3.1. Rüzgar Yükü**

TS 498' e göre ;

1. ve 2. Katlar arasında	$0.50 \text{ kN/m}^2$
3. ve 6. Katlar arasında	$0.80 \text{ kN/m}^2$
7. ve 20. Katlar arasında	$1.10 \text{ kN/m}^2$

#### **3.3.2 Deprem Yükü**

##### **a) Yeni Deprem Yönetmeliğine Göre Yükler**

Bina 1. deprem bölgesinde, zemini ise çok sıkı kum, çakıl karışımına uygun görülerek Tablo A.3'de A grubu zemine, Tablo A.4'e göre ise Z1 sınıfı zemin olarak belirlendi.

Yapının analizinde bina yüksekliği,  $H_N=70 \text{ m} > 60 \text{ m}$  olduğu için dinamik analiz kullanılacak fakat eşdeğer deprem yükü yöntemine göre kontrol edilecektir.

Eşdeğer statik yük hesabı bölüm 2.3' te açıklanan kurallara uygun olarak aşağıdaki gibi yapıldı:

$$\text{Kat sabit ağırlığı} = A_{nd} * \sum G + N_{g,duvar} \quad (3.1)$$

$$\text{Kat hareketli ağırlığı} = A_{nd} * \sum Q$$

Duvar yükü: Duvar tuğla duvar olarak seçilmiş olup, bina çevresinde 1m yüksekliğinde, çekirdek çevresinde tam yükseklikte duvar olarak hesap edildi. Dış duvarlar;  $3.00 \text{ kN/m}^2$ , iç duvarlar  $2.00 \text{ kN/m}^2$  dir.  $A_{\text{net}}$ , kat net alanı 660.71 $\text{m}^2$  olarak hesap edildi.

$$N_{g,\text{duvar}} = 928.40 \text{ kN}$$

$$\text{Kat sabit ağırlığı} = 660.71 * 4.0 + 928.4 = 3571.20 \text{ kN}$$

$$\text{Kat hareketli ağırlığı} = 660.71 * 3.5 = 2312.00 \text{ kN}$$

Toplam kat ağırlığı, w; hareketli yük azaltma kat sayısı, n; işyerleri için 0.3 alınarak aşağıdaki gibi hesaplanır.

$$w = 3571.2 + 0.3 * 2312.0 = 4265.00 \text{ kN}$$

$$\text{Toplam bina ağırlığı} = W = 20 * 42.650 = 85300.00 \text{ kN}$$

Bina önem katsayısı, I; işyerleri için 1.0, etkin yer ivmesi katsayısı,  $A_0$ ; 1. Deprem bölgesi için 0.40 olarak alınır.  $T_1$ , binanın birinci doğal titreşim periyodu; 2.56sn olarak bulundu.

$S(T)$ , spektrum katsayısı; Z1 için  $T_A$  ve  $T_B$  sırası ile 0.10sn ve 0.30sn olduğundan dolayı  $T_1 > T_B$  için Tablo 2.3'e göre 0.46 olarak hesaplandı. Deprem yükü azaltma katsayısı,  $R_a$ ;  $T_1 > T_A$  halinde süneklik düzeyi yüksek sistemler için  $R=8.00$  alınarak 8.00 olarak belirlendi. Buna göre spektral ivme katsayısı;  $A(T)=0.40*1.0*0.46=0.18$  olarak bulundu. Taban kesme kuvveti ise;  $V_t = 85300.00 * 0.18 / 8.00 = 1919.25 < 0.10 * A_0 * I * W = 3412.00 \text{ kN}$  olduğu için  $V_t = 3412.00 \text{ kN}$  olarak belirlendi. Katlara etkiyen eşdeğer deprem yükler ise Tablo 3.1'deki gibi hesap edildi. Tablo 3.1'de belirtilen  $M_{hi}$ , burulma momentleri kaydırılmış kütle merkezine uygulanan fiktif yüklerden ortaya çıkmaktadır. Burulma momentinin kesin değeri A1 türü düzensizliği bulunduğu için  $D_i = (\eta_{hi}/1.2)^2 = 1.4$  ile çarpılarak bulundu. Kat kaydırılmış kütle merkezi denklem (3.2)'ye göre hesap edilir. B, deprem doğrultusuna dik doğrultudaki kat boyutudur.

$$e = 0.05 * B = 0.05 * 26.2 = 1.31 \quad (3.2)$$

Tablo 3.1 Yeni yönetmeliğe göre katlara etkiyen deprem kuvveti

Kat No	$H_i$ (m)	$w_i * h_i$ (kNm)	$F_i$ (kN)	$M_{bi}$ (kNm)	$M_{bi} * 1,4$ (kNm)	$\Delta F_H = 0,07 * T_1 * V_i = 611,43 \leq 0,2 * V_t = 682,40$ kN
20	70,00	298550,00	878,15	1106,47	1549,06	$V_i = W * A(T_1) / Ra(T_1) \leq 0,1 A0 * I W = 3412,00$ kN
19	66,50	283622,50	253,38	319,26	446,97	$V_i = 3412,00$ kN
18	63,00	268695,00	240,05	302,46	423,45	$wi = 4265,00$ kN
17	59,50	253767,50	226,71	285,66	399,92	$Wi = 85300,00$ kN
16	56,00	238840,00	213,38	268,85	376,40	$T_1 = 2,56$ sn
15	52,50	223912,50	200,04	252,05	352,87	
14	49,00	208985,00	186,70	235,25	329,35	
13	45,50	194057,50	173,37	218,44	305,82	
12	42,00	179130,00	160,03	201,64	282,30	
11	38,50	164202,50	146,70	184,84	258,77	
10	35,00	149275,00	133,36	168,03	235,25	
9	31,50	134347,50	120,02	151,23	211,72	
8	28,00	119420,00	106,69	134,43	188,20	
7	24,50	104492,50	93,35	117,62	164,67	
6	21,00	89565,00	80,02	100,82	141,15	
5	17,50	74637,50	66,68	84,02	117,62	
4	14,00	59710,00	53,34	67,21	94,10	
3	10,50	44782,50	40,01	50,41	70,57	
2	7,00	29855,00	26,67	33,61	47,05	
1	3,50	14927,50	13,34	16,80	23,52	
		<b>TOPLAM =</b>	<b>3134775,00</b>	<b>3412,00</b>		

Tablo 3.1'de katlara etkiyen deprem kuvvetleri ve  $A_1$  düzensizliği nedeniyle artırılmış burulma momentleri gösterildi.

### b) Eski Deprem Yönetmeliğine Göre Yükler

Taşıyıcı sistem bu yönetmeliğe göre düzenli sayılsa bile temel üst katundan ölçülen yüksekliği 75 m'yi geçtiği için dinamik hesap yapılacaktır. Fakat dinamik hesapla bulunan toplam yatay yükler eşdeğer statikle bulunan sonuçların %70 'inden daha küçük olmadığı için ilk önce statik hesap yapılarak dinamik hesapla bulunan sonuçlar karşılaştırılacaktır. Toplam yatay yük aşağıdaki gibi hesaplanır:

Deprem bölgesinde  $C_0$ , deprem bölge katsayı 0.10, K,yapı tipi katsayı diyagonalli çelik kafes çerçeveler kullanıldığı ve hafif, az bölme duvarlı yapı kabulüne göre 1.60 olarak alındı. Bina önem katsayı iş yeri olduğu için 1.00 kabul edildi. Bina toplam yüksekliği 35 m'yi geçtiği için T, bina doğal periyodu için dinamik metot kullanılarak bulunan değer olan 2.66sn alındı.  $T_0$ , zemin hakim periyodu ise Z1 cinsinin çok sıkı kum, çakıl tanımına uygun olduğu için 0.25sn olarak belirlendi. Bu değerler için spektrum eğrisinden elde edilen sonuç 0.31'dir. W, toplam bina ağırlığı yeni yönetmelikte hesaplanan değer olan 85300 kN'dur.

Toplam kesme kuvveti,  $F=0.10*1.60*1.00*0.31*85300=4230.88$  kN

Eski yönetmelikte de  $M_{bi}$ , yatay burulma momenti hesabı deprem doğrultusundaki dik en büyük bina boyutunun %5'i eklenerek bulunacaktır. Eksantriklik yeni yönetmelikte olduğu gibi,  $e=1.31m$  olarak hesap edildi. Tablo 3.2'de katlara etkiyen deprem kuvvetleri hesaplandı.

Tablo 3.2 Eski yönetmeliğe göre katlara gelen deprem kuvvetleri

Kat No	$H_i$ (m)	$w_i * h_i$ (kNm)	$F_i$ (kN)	$M_{bi}$ (kNm)	$H / D \leq 3 \Rightarrow$	$F_i = 0,00$ kN
20	70,00	298550,00	402,94	527,85	$T_i = 2,56$ sn	
19	66,50	283622,50	382,79	501,46	$F = C_0 * K * I * W$	
18	63,00	268695,00	362,65	475,07	$F = 4230,88$ kN	
17	59,50	253767,50	342,50	448,67	$w_i = 4265,00$ kN	
16	56,00	238840,00	322,35	422,28	$W_i = 85300,00$ kN	
15	52,50	223912,50	302,21	395,89		
14	49,00	208985,00	282,06	369,50		
13	45,50	194057,50	261,91	343,10		
12	42,00	179130,00	241,76	316,71		
11	38,50	164202,50	221,62	290,32		
10	35,00	149275,00	201,47	263,93		
9	31,50	134347,50	181,32	237,53		
8	28,00	119420,00	161,18	211,14		
7	24,50	104492,50	141,03	184,75		
6	21,00	89565,00	120,88	158,36		
5	17,50	74637,50	100,74	131,96		
4	14,00	59710,00	80,59	105,57		
3	10,50	44782,50	60,44	79,18		
2	7,00	29855,00	40,29	52,79		
1	3,50	14927,50	20,15	26,39		
	<b>TOPLAM=</b>	<b>3134775,00</b>	<b>4230,88</b>			

## **4. YENİ DEPREM YÖNETMELİĞİNE GÖRE ÇÖZÜM**

### **4.1. Yapıya Etkiyen Yatay Yük**

Deprem yükleri dinamik hesapla bulunan sonuçları kıyaslamak için statik olarak hesaplandı. Yapılan dinamik hesapta toplam taban kesme kuvveti 2260 kN, statik hesapta ise 3412 kN olarak bulundu. Yük kombinasyonları ve yükler hakkındaki bilgiler Ek B'de bulunmaktadır. Dinamik hesaptaki yük kombinasyonları statik ve dinamik taban kesme kuvvetlerinin oranı olan 1.57 sayısı ile çarpılarak artırıldı.

### **4.2. Deprem Hesabı**

Deprem hesabı için kontrol edilmesi gereklili düzensizlikler aşağıdaki gibi yapıldı:

#### **1) Burulma düzensizliği**

$$(\Delta_i)_{\max} = 4.84 \text{ cm}$$

$$(\Delta_i)_{\min} = 1.98 \text{ cm}$$

$$(\Delta_i)_{\text{ort}} = 1/2 * [(\Delta_i)_{\max} + (\Delta_i)_{\min}] = 3.41 \text{ cm}$$

$$\eta_{bi} = (\Delta_i)_{\max} / (\Delta_i)_{\text{ort}} = 1.42 \text{ cm} > 1.2 \text{ cm} \text{ olduğu için burulma düzensizliği } A_1 \text{ var.}$$

#### **2) Döşeme süreksizliği**

Boşluk alanının toplam alana oranı 1/3'ünden fazla olmadığı için  $A_2$  düzensizliği yok.

$$\text{Boşluk alanı / Toplam alan} = 15.29 / 660.71 = 0.02$$

#### **3) Planda çıkıştırlar olması düzensizliği**

Planda çıkıştırları olmadığı için  $A_3$  düzensizliği yok.

#### 4) Taşıyıcı eleman eksenlerinin paralel olmaması

Sistemde taşıyıcı eleman eksenleri deprem doğrultusuna paralel olduğu için A4 türü düzensizlik yok.

#### 5) Komşu katlar arası dayanım düzensizliği

Bölüm 2'de açıklandığı üzere  $\eta_{ci} = (\sum A_e)_i / (\sum A_e)_{i+1} < 0.80$  eşitsizliği sağlanmadığı için dayanım düzensizliği olmadığı için B1 düzensizliği yok.

#### 6) Rijitlik düzensizliği

$\eta_{ki} = (\Delta_i)_{or}/(\Delta_{i+1})_{or} = 3.41 / 3.20 < 1.5$  olduğu için B2 düzensizliği yok.

#### 7) Taşıyıcı sistem düşey elemanların süreksizliği olmadığı için B3 düzensizliği yok.

Yeni yönetmelikte dinamik ve statik hesap karşılaştırılması aşağıdaki gibi yapıldı:

$V_{IB} = 3412 \text{ kN}$ ,  $V_t = 2180 \text{ kN}$ ,  $A_1$  düzensizliği olduğu için  $\beta=1$  olarak seçildi.

$B_D = (1 * 3412 / 2180) * B_B$ , olan iç kuvvet ve yer değiştirmeler  $B_D$  olarak artırıldı.

Sistem için seçilmesi gereken titreşim modu sayısı bina toplam kütlesinin %90'nundan az olmayacak şekilde Ek B'de görüldüğü üzere 7 adet olarak belirlendi.

### 4.3. Temel Hesabı

Temel tipi radye olarak seçildi. TS500'e göre temel hesabı elastik zemine oturan plak teorisine uygun olarak SAFE programı kullanılarak yapıldı. TS500'e göre yük kombinasyonları şunlardır:

Düşey yük için:  $1.4G + 1.6Q$

Depremli durumda:  $G + Q + E$ ,  $0.9 G + E$

Rüzgarlı durumda:  $G + 1.3 Q + 1.3 W$ ,  $0.9 G + 1.3W$

Zemin grubu  $Z_1$ , sıkı kum ve çakıl olarak seçildiği için  $K$ , yatak katsayısı  $120000 \text{ kN/m}^3$  olarak,  $\sigma_{zem}=300 \text{ kN/m}^2$  olarak alındı [8].

#### 4.3.1. Malzeme Özellikleri

Beton: BS20,  $f_{ck}=20000 \text{ kN/m}^2$ ,  $\gamma_{mc} = 1.5$ ,  $E_c=2.85*10^7 \text{ kN/m}^2$

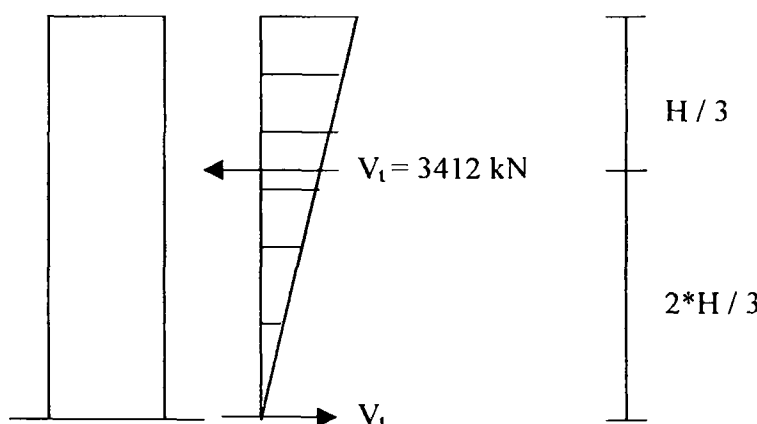
Çelik: StIII,  $f_{yk}=42000 \text{ kN/m}^2$ ,  $\gamma_{ms} = 1.15$

Zemin gerilme kontrolleri artırılmamış yük kombinasyonları kullanılarak, kesit hesabı ise artırılmış yük kombinasyonları kullanılarak yapıldı.

#### 4.3.2. Ön Boyutlandırma

##### 1) Zemin Gerilmeleri

Temel alanı bina alanından 1.5m çıkarılarak  $795.24 \text{ m}^2$  olarak belirlendi. Temel boyutları  $1\text{m} * 28.2 * 28.2\text{m}$  olarak seçildi. Temel yüksekliği en yüklü kolonda bile zımbalamayı sağladığı için ve kolonları temele gömmek için 1m seçildi. Bu sayede mesnetlerde daha fazla donatı çıkmaması sağlandı. Mukavemet momenti,  $W_x=W_y=3737.63\text{m}^3$  hesaplandı. Toplam bina sabit ağırlığı;  $G = 71424 \text{ kN}$ , hareketli ağırlığı ise  $Q = 46240 \text{ kN}$  'dur. Ön boyutlandırma için deprem yüklerini bina boyunca üçgen yayılı olduğu ve bu haldeki kuvvetlerin bileşkesinin  $V_t$  olduğu düşünülerek devrilme momenti bulundu. Bunun için en büyük taban kesme kuvveti olan statik hesaptan çıkan sonuç kullanıldı.



$$\text{Devrilme momenti ; } M_D = 3412 * 70 * 2 / 3 = 159226.7 \text{ kNm}$$

$$\text{Zemin gerilmesi; } \sigma = \frac{117664}{795.24} \pm \frac{159926 .7}{3737.63} = 14.8 \pm 4.26 \text{ kN / m}^2$$

$$\sigma_{\max} = 190.56 \text{ kN/m}^2, \quad \sigma_{\min} = 105.36 \text{ kN/m}^2$$

Bu gerilmeler emniyet gerilmeleri ile kıyaslanınca radye temelin yapılabileceği, kazıklı temelin gerekmediği görülür. Zemin emniyet gerilmesi depremli durumda  $\sigma_{zem}=300 * 1.5 = 450 \text{ kN/m}^2$ , rüzgarlı durumda  $\sigma_{zem}=300 * 1.15 = 345 \text{ kN/m}^2$  olarak artırılmıştır.

## 2) Yaklaşık Kesit Hesabı:

Yaklaşık kesit hesabı için yaklaşık moment ve bunun için gerekli donatı miktarı hesaplandı.  $M = \sigma_{\max} * L_{\max}^2 / 12$  olarak düşünüldü.  $M = 855 \text{ kN/m}$  olarak bulundu.  $K = 105$ ,  $k_s = 0.3$  hesaplanıp,  $A_s$ ; donatı alanı  $27 \text{ cm}^2/\text{m}$  bulundu. 1 m yüksekliğinde temel için min. donatı  $0.002 * 100 * 95 = 19 \text{ cm}^2/\text{m}$

## 3) Zımbalama Tahkiki :

Kolonlar tarafından yerel olarak yüklenen plakta zımbalamaya karşı dayanımı hesaplandı ve bunun hesap kesme kuvvetinden büyük olduğu gösterildi.  $V_{pr}$ , zımbalama dayanımı denklem (4.1) 'de verildi.

$$V_{pd} = \gamma * f_{cd} * u_p * d \quad (4.1)$$

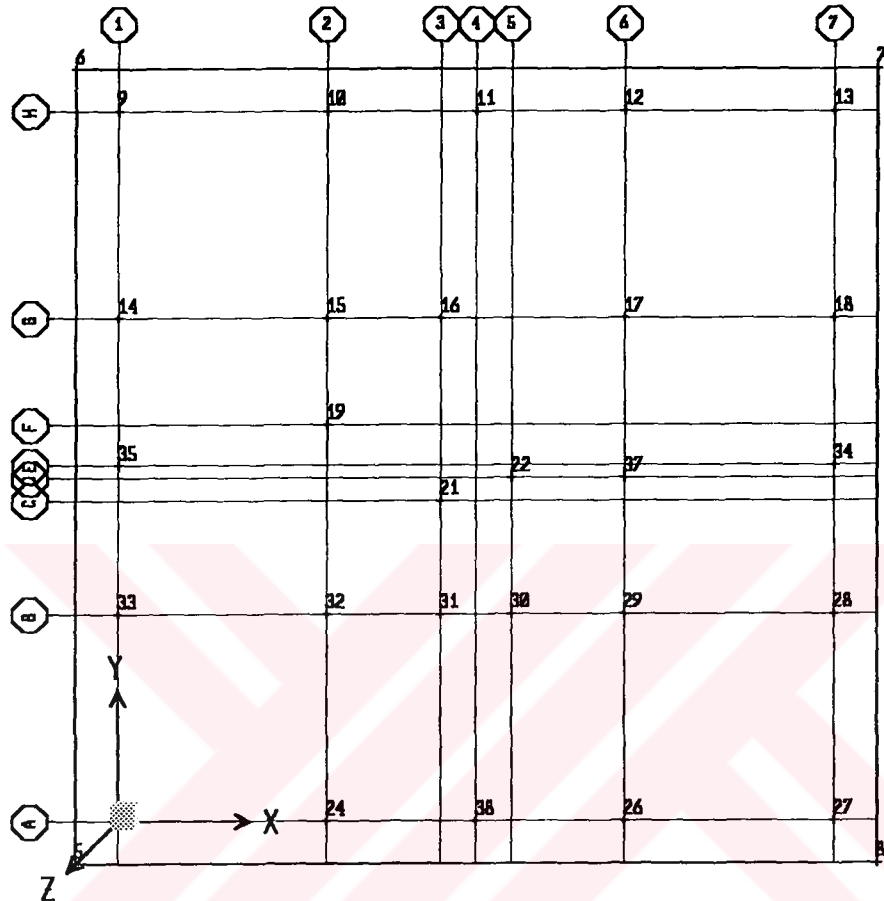
$V_{pd}$ ; hesap kesme kuvveti en elverişsiz hal için düşey yükleme hali olan  $1.4G + 1.6Q$  yüklemesinden alınarak  $6000 \text{ kN/m}^2$  olarak bulundu.  $V_{pr}$  ise  $\gamma = 1$ ,  $f_{cd} = 1000 \text{ kN/m}^2$   $u_p = 7.4 \text{ m}$ ,  $d = 0.95 \text{ m}$  için  $7030 \text{ kN/m}^2$  olarak hesaplandı.

$V_{pr} > V_{pd}$  olduğu için zımbalama tahkiki sağlandı.

### 4.3.3. Kesin Hesap

Kesin hesap için SAFE programı kullanıldı. Temel planı Şekil 4.1'de gösterilmiştir. Kesit hesaplarında tanımlanan şerit genişlikleri artırılmış yüklerin en elverişsiz değerleri için betonarme hesap program tarafından yapıldı. Sonlu eleman ağı program tarafından maksimum eleman boyutu 0.5 m olacak şekilde Şekil C.1'te gösterildiği gibi bölündü. Bu durum için yay katsayısı yine program tarafından hesaplandı. Kolonların olduğu düğüm noktalarında yükler tanımlandı ve sonlu

eleman metodu ile çözüldü. Yeni yönetmelikte zemin emniyet gerilmeleri depremli hal ve düşey yükleme için Şekil C.2 ve Şekil C.3 'te gösterildiği gibi bulunmuştur. En büyük zemin gerilmeleri aşağıda verilmiştir.



Şekil 4.1 Temel Planı

Depremli halde:

$$\sigma_{\max} = 336.7 \text{ kN/m}^2 + 1 \text{ m} * 25 \text{ kN/m}^3 = 362 \text{ kN/m}^2 < 450 \text{ kN/m}^2 = \sigma_{zem}$$

$$\sigma_{\min} = 49.5 \text{ kN/m}^2 + 1 \text{ m} * 25 \text{ kN/m}^3 = 74.5 \text{ kN/m}^2 > 0 \text{ kN/m}^2$$

Düşey yükleme halinde:

$$\sigma_{\max} = 227.7 \text{ kN/m}^2 + 1 \text{ m} * 25 \text{ kN/m}^3 = 252.7 \text{ kN/m}^2 < 300 \text{ kN/m}^2 = \sigma_{zem}$$

$$\sigma_{\min} = 38.7 \text{ kN/m}^2 + 1 \text{ m} * 25 \text{ kN/m}^3 = 63.7 \text{ kN/m}^2 > 0 \text{ kN/m}^2$$

Zımbalama tahkikleri tüm yüklemelerden en elverişsiz durumları için  $V_{zem} / V_{zday}$  oranları olarak Şekil C.4'da gösterilmiştir. Burada bazı kolonlarda zımbalamaya sınırlı yaklaşılmıştır. Kesitteki donatının zımbalamaya katkısı ve de kolon altlarında

yapılacak soketlerin kesit yüksekliğini artıracağı düşünülünce kesit yüksekliğini artırıp hesaplar tekrarlanmamıştır.

Seçilen şeritlerdeki donatı miktarı  $\text{cm}^2$  / şerit genişliği olmak üzere her iki yön için Şekil C.5 ve Şekil C.6 'de verilmiştir. Ayrıca 18 nolu şerit için bu değerler Ek C 'de verilmiştir.

#### 4.3.4. Ankastre Kolon Ayağı Hesabı

HAÇ HEB 900 'luk kolon, tabanına 95cm\*95cm 'lik taban plakası konarak yuva içine gömülüştür. Kolon ucu yuvaya sokulduktan sonra, önceden başlıklarına kaynaklanmış olan dört yatay L100\*10 'luk korniyer aracılığı ile temelin üst yüzüne oturtulur ve 8 adet ankraj bulonu ile yuva içindeki L100\*10'luk ankraj korniyerlerine bağlanır. Kolonun durumu ayarlandıktan sonra yuva BS20'lik betonla doldurulur. Kolonun P basınç kuvveti kolonun ucuna bağlanmış taban levhası aracılığı ile temele aktarılır. En büyük mesnet tepkileri için şu tahkikler yapılır:

$$N = 3226.2 \text{ kN}, H = 275 \text{ kN}, M_x = 257 \text{ kNm}, P_{cm}; \text{BS20 için } 550 \text{ N/cm}^2 \text{ 'dir.}$$

$F_T$  = taban plakası alanı,  $F_k$  = kolonun yuva içindeki kesit alanı,  $W_k$  = kesitin mukavemet momenti,  $h$  = kolonun yuva içindeki boyu olarak aşağıdaki gibi hesaplanmıştır.

$$P / F_T = 3226200 / 9025 = 357.6 \text{ N/cm}^2 < P_{cm}$$

$$h = 110 \text{ cm}, b = 90 \text{ cm} \text{ için } F_k = 100 * 90 = 9000 \text{ cm}^2, W_k = b * h^2 / 6 = 181500 \text{ cm}^3$$

$$P = H / F_k + M / W_k = 172.2 \text{ N} < P_{cm}$$

olduğu için seçilen boyutlar doğrudur.

## **5. ESKI DEPREM YÖNETMELİĞİNE GÖRE ÇÖZÜM**

### **5.1. Yapıya Etkiyen Yatay Yük**

Bölüm 3'te yapılan yatay yük hesabında çıkan toplam yatay kesme kuvveti 4052 kN 'dur. Bu kuvvet bütün katlara dağıtılarak etki ettirildi. Yük kombinasyonları ve yükler hakkındaki bilgiler Ek B'de bulunmaktadır.

### **5.2. Deprem Hesabı**

Bina yüksekliği 75m'yi geçmediği için statik hesap yapıldı. Yatay burulma momenti, katlara gelen fiktif deprem kuvvetleri bina dik doğrultusunun %5'i eklenerek bulundu.

### **5.3. Temel Hesabı**

Temel tipi yeni yönetmelikte olduğu gibi radye olarak belirlendi ve eski yönetmelik mesnet reaksiyonları kullanılarak hesaplar tekrarlandı. Eski yönetmelikte de TS500'e göre temel hesabı elastik zemine oturan plak teorisine uygun olarak SAFE programı kullanılarak yapıldı. Eski yönetmelikteki TS500'e göre yük kombinasyonları şunlardır:

Düşey yük için:  $1.4G + 1.6Q$

Depremli durumda:  $G + Q + E$ ,  $0.9 G + E$

Rüzgarlı durumda:  $G + 1.3 Q + 1.3 W$ ,  $0.9 G + 1.3 W$

Zemin grubu  $Z_1$ , sıkı kum ve çakıl olarak seçildiği için K, yatak katsayısı  $120000 \text{ kN/m}^3$  olarak,  $\sigma_{z,\text{cm}}=300 \text{ kN/m}^2$  olarak alındı[8].

### 5.3.1. Malzeme Özellikleri

Beton: BS20,  $f_{ck}=20000 \text{ kN/m}^2$ ,  $\gamma_{mc} = 1.5$ ,  $E_c=2.85*10^7 \text{ kN/m}^2$

Çelik: StIII,  $f_y=42000 \text{ kN/m}^2$ ,  $\gamma_{ms} = 1.15$

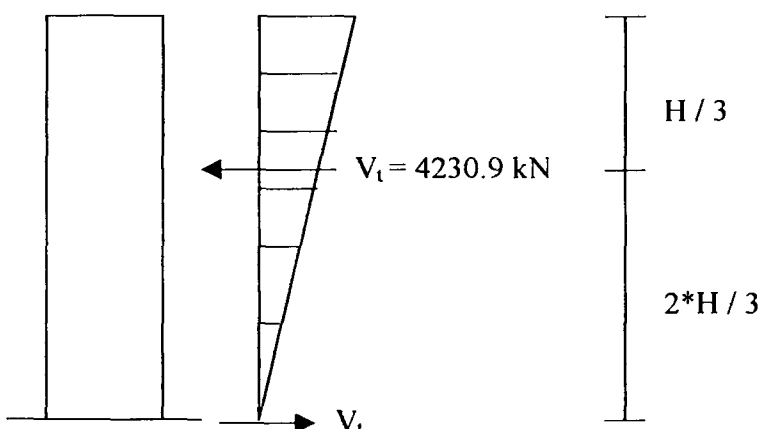
Zemin gerilme kontrolleri artırılmamış yük kombinasyonları kullanılarak, kesit hesabı ise artırılmış yük kombinasyonları kullanılarak yapıldı.

### 5.3.2. Ön Boyutlandırma

#### 1) Zemin Gerilmeleri

Temel alanı bina alanından 1.5m çıkararak  $795.24 \text{ m}^2$  olarak belirlendi. Temel boyutları  $1\text{m} * 28.2 * 28.2\text{m}$  olarak seçildi. Mukavemet momenti,  $W_x=W_y=3737.63\text{m}^3$  hesaplandı. Toplam bina sabit ağırlığı;  $G = 71424 \text{ kN}$ , hareketli ağırlığı ise  $Q = 46240 \text{ kN}$  'dur. Ön boyutlama için deprem yüklerini bina boyunca üçgen yayılı olduğu ve bu haldeki kuvvetlerin bileşkesinin  $V_t$  olduğu düşünülerek devrilme momenti bulundu. Bunun için en büyük kesme kuvveti olan statik hesaptan çıkan sonuç kullanıldı.

Zemin emniyet gerilmesi depremli durumda  $\sigma_{zem}=300 * 1.33 = 399 \text{ kN/m}^2$ , rüzgarlı durumda  $\sigma_{zem}=300 * 1.15 = 345 \text{ kN/m}^2$  olarak artırılmıştır. Maksimum zemin gerilmeleri emniyet gerilmeleri ile kıyaslanınca radye temelin yeterli olduğu görülür.



Devrilme momenti ;  $M_D=4230.9 * 70 * 2 / 3 = 197442.0 \text{ kNm}$

$$\text{Zemin gerilmesi; } \sigma = \frac{117664}{795.24} \pm \frac{197442}{3737.63} = 148 \pm 52.8 \text{ kN/m}^2$$

$$\sigma_{\max} = 200.8 \text{ kN/m}^2, \quad \sigma_{\min} = 95.2 \text{ kN/m}^2$$

## 2) Yaklaşık Kesit Hesabı:

Yaklaşık kesit hesabı için açıklıktaki moment ve gerekli donatı miktarı hesaplandı. Kiyaslama açısından kesit yüksekliği aynı alındı.  $M = \sigma_{\max} * L_{\max}^2 / 12$  olarak düşünüldü.  $M = 904 \text{ kN/m}$  olarak bulundu.  $K = 99.8$ ,  $k_s = 0.304$  hesaplanıp,  $A_s$ ; donatı alanı  $29 \text{ cm}^2/\text{m}$  bulundu. Bu sonuç yeni yönetmelik için yapılan hesaptan biraz büyütür..

## 3) Zımbalama Tahkiki :

Kolonlar tarafından yerel olarak yüklenen plakta zımbalamaya karşı dayanımı hesaplandı ve bunun hesap kesme kuvvetinden büyük olduğu daha önce hesaplanmıştı.

### 5.3.3. Kesin Hesap

Eski yönetmelik için de kesin hesap eski yönetmelik yükleri için aynı şekilde yapıldı. Kolonların olduğu düğüm noktalarında yükler eski tanımlandı ve sonlu eleman metodu ile çözüldü. Eski yönetmelikte zemin emniyet gerilmeleri depremli hal için Ek D 'de yer alan Şekil D.1 'de gösterildiği gibi bulunmuştur. En büyük zemin gerilmeleri aşağıda verilmiştir.

Depremli halde:

$$\sigma_{\max} = 384.6 \text{ kN/m}^2 + 1 \text{ m} * 25 \text{ kN/m}^3 = 409.6 \text{ kN/m}^2 < 450 \text{ kN/m}^2 = \sigma_{zem}$$

$$\sigma_{\min} = -21.9 \text{ kN/m}^2 + 1 \text{ m} * 25 \text{ kN/m}^3 = 3.1 \text{ kN/m}^2 > 0 \text{ kN/m}^2$$

Düşey yükleme halinde:

$$\sigma_{\max} = 227.7 \text{ kN/m}^2 + 1 \text{ m} * 25 \text{ kN/m}^3 = 252.7 \text{ kN/m}^2 < 300 \text{ kN/m}^2 = \sigma_{zem}$$

$$\sigma_{\min} = 38.7 \text{ kN/m}^2 + 1 \text{ m} * 25 \text{ kN/m}^3 = 63.7 \text{ kN/m}^2 > 0 \text{ kN/m}^2$$

Seçilen şeritlerdeki donatı miktarı  $\text{cm}^2$  / şerit genişliği olmak üzere her iki yön için Şekil D.2 ve Şekil D.3 'de verilmiştir. Ayrıca 18 nolu şerit için bu değerler Ek D 'de verilmiştir.

#### **5.3.4. Ankastre Kolon Ayağı Hesabı**

Bölüm 4.3.4.'teki hesap eski yönetmelik için de aynı şekilde tekrar edildi ancak BS20 yerine BS30 kullanıldı.

$N = 5994.9 \text{ kN}$ ,  $H = -514.9 \text{ kN}$ ,  $M_x = -466.1 \text{ kNm}$ ,  $P_{cm}$ , BS30 için  $700 \text{ N/cm}^2$  'dir.  
 $F_T$  = taban plakası alanı,  $F_k$  = kolonun yuva içindeki kesit alanı,  $W_k$  = kesitin mukavemet momenti,  $h$  = kolonun yuva içindeki boyu olarak aşağıdaki gibi hesaplanmıştır.

$$P / F_T = 5994.9 / 9025 = 664.3 \text{ N/cm}^2 < P_{cm}$$

$$h = 110 \text{ cm}, b = 90 \text{ cm} \text{ için } F_k = 100 * 90 = 9900 \text{ cm}^2, W_k = b * h^2 / 6 = 181500 \text{ cm}^3$$

$$P = H / F_k + M / W_k = 308.8 \text{ N/cm}^2 < P_{cm}$$

olduğu için seçilen boyutlar doğrudur.

## **6. KESİT HESAPLARI VE BİRLEŞİMLER**

### **6.1. Yapısal Elemanların Özellikleri**

Binada kirişler geniş başlıklı I profiller olarak belirlendi. Düşey çaprazlar çift U profiller ve kolonlar yapma haç profiller olarak seçildi. Seçilen kesitler ve yapısal özellikleri aşağıdaki gibidir:

#### Kirişler:

HE300B	$F=149.1\text{cm}^2$	$I_x=25170\text{cm}^4$	$I_y=8563\text{cm}^4$
HE360B	$F=180.6\text{cm}^2$	$I_x=43190\text{cm}^4$	$I_y=10140\text{cm}^4$
HE450B	$F=218\text{cm}^2$	$I_x=79890\text{cm}^4$	$I_y=11720\text{cm}^4$
HE240B	$F=106\text{cm}^2$	$I_x=11260\text{cm}^4$	$I_y=3923\text{cm}^4$

#### Kolonlar:

HAÇHE900B	$F=668.4\text{cm}^2$	$I_x=374000\text{cm}^4$	$I_y=374000\text{cm}^4$
HAÇHE700B	$F=612.8\text{cm}^2$	$I_x=271340\text{cm}^4$	$I_y=271340\text{cm}^4$
HAÇHE550B	$F=508.2\text{cm}^2$	$I_x=149780\text{cm}^4$	$I_y=149780\text{cm}^4$

#### Düşey Çaprazlar:

J[ UPN300	$F=117.6\text{cm}^2$	$I_x=16060\text{cm}^4$	$I_y=597\text{cm}^4$
-----------	----------------------	------------------------	----------------------

### **6.2. Kesit Hesapları**

#### **HAÇ HEB900:**

Kesit özellikleri: Profil yüksekliği;  $h = 90 \text{ cm}$ , başlık genişliği;  $30\text{cm}$ , başlık kalınlığı;  $t = 3.5\text{cm}$ , gövde genişliği;  $s = 2.0\text{cm}$ , başlık alanı;  $F_b = 166\text{cm}^2$ , gövde alanı;  $F_g = 165\text{cm}^2$ ,  $\sigma_a = 24 \text{ kN / cm}^2$ ,  $F = 372 \text{ cm}^2$ .

Kesit tesirleri:  $N = -11962.8 \text{ kN}$ ,  $Q_x = -158.1 \text{ kN}$ ,  $Q_y = -117.5 \text{ kN}$ ,  $M_x = -465.5 \text{ kNm}$ ,  $M_y = -349.7 \text{ kNm}$ .

Kolon profili olarak seçilen bu profil kesmetli bileşik eğilme durumunda olduğu kesme kuvvetleri doğrultularına paralel kesit bölgelerinde gerekli kalınlık azalmaları yapıldı. Daha sonra hesap kesme kuvvetleri yokmuş gibi bileşik eğik eğilme durumu kabulü ile hesaba devam edildi.

$$Q_{px} = 0.52 * \sigma_a * \sum F_b \quad (6.1)$$

$$Q_{py} = 0.52 * \sigma_a * \sum F_g \quad (6.2)$$

$Q_{px} = 2041 \text{ kN}$ ,  $Q_{py} = 4642 \text{ kN}$  olarak hesaplanmıştır.

$$t'_g = t_g * \sqrt{1 - \left(\frac{Q_y}{Q_{py}}\right)^2} \quad (6.3)$$

$$t'_b = t_b * \sqrt{1 - \left(\frac{Q_x}{Q_{px}}\right)^2} \quad (6.4)$$

$$t'_g = 2 * \sqrt{1 - \left(\frac{117.5}{4642}\right)^2} = 1.9 \text{ cm}, \quad t'_b = 2 * \sqrt{1 - \left(\frac{158.1}{2071}\right)^2} = 1.9 \text{ cm} \quad \text{olarak hesaplandı.}$$

x-x yönü için:

$$\chi_x = \min (F_g / 2 F, 0.22 ; 0.25) \quad (6.5)$$

$$N_p = F_{eff} * \sigma_a \quad (6.6)$$

$$N_p = 744 * 24 = 17866 \text{ kN}, \quad N / N_p = 0.67$$

$$M_{px} = W'_{px} * \sigma_a \quad (6.7)$$

$$M_{px} = 12580 * 24 = 301920 \text{ Ncm}, \quad \chi_x \leq N / N_p \leq 1 \text{ olduğu için;}$$

$$M_{ux} = \frac{1 - (N / N_p)}{1 - \chi_x} * M_{px} \quad (6.8)$$

$M_{ux} = 1268 \text{ kNm}$  olarak bulundu.

y-y yönü için:

$$\chi_x = \min ( F_g / F = 0.44 ; 0.2 ) \quad (6.9)$$

$\chi_x \leq N / N_p \leq 1$  olduğu için ;

$$M_{uy} = \left[ 1 - \left( \frac{N / N_p - \chi_y}{1 - \chi_y} \right)^2 \right] * M_{py} \quad (6.10)$$

$M_{py} = M_{px}$  olduğu için  $M_{uy} = 1977 \text{ kNm}$  olarak bulundu.

$$\left( \frac{M_x}{M_{ux}} \right)^\alpha + \left( \frac{M_y}{M_{uy}} \right)^\beta \leq 1 \quad (6.11)$$

$\alpha = 2, \beta = 1$  olduğu için bu değer 0.3'e eşit olarak bulunup kesit sağlanmıştır.

#### HEB300:

Kesit özellikleri: Profil yüksekliği;  $h = 30 \text{ cm}$ , başlık genişliği;  $30\text{cm}$ , başlık kalınlığı;  $t = 2.7\text{cm}$ , gövde genişliği;  $s = 1.9\text{cm}$ .

$M_x = 211.0 \text{ kN}$  olduğu için basit eğilme durumu vardır.  $W_{px} = 1869 \text{ cm}^3$  hali için  $M_{px} = 448.6 \text{ kNm}$  olup  $M_x < M_{px}$  eşitsizliği sağlanmıştır.

#### HEB450:

Kesit özellikleri: Profil yüksekliği;  $h = 45 \text{ cm}$ , başlık genişliği;  $30\text{cm}$ , başlık kalınlığı;  $t = 2.6\text{cm}$ , gövde genişliği;  $s = 1.4\text{cm}$ .

$M_x = -578.56 \text{ kNm}$  ,  $Q_x = 486.3 \text{ kN}$  kesit tesirleri için kesmeli eğilme durumu vardır.

Bunun için kesit azaltması yapılarak basit eğilme hali gibi işlemlere devam edilir.

$t_g^2 = 1.2$  cm olarak bulundu.  $Q_{py} = 0.52 * 24 * 55.7 = 695.1$  kN ve  $W'_{px} = 3782 \text{ cm}^3$  olarak hesaplandı.  $M_{px}$  ise 907.8 kNm olduğu için  $M_x < M_{px}$  eşitsizliği sağlanmış olur.

### || UNP 300:

$$N = -838.2 \text{ kN}$$

$i_x = 15.9 \text{ cm}^2$ ,  $S_{kx} = 1 = 430 \text{ cm}$ ,  $F = 120 \text{ cm}^2$   $\lambda_x = 430 / 15.9 = 27.04$  için  $\omega$  tablosundan  $\omega_x = 1.07$  olarak bulundu.

$$\sigma_{\omega x} = \frac{\omega_x * N}{F} \leq \sigma_{em} \quad (6.12)$$

$\sigma_{\omega x} = 7.5 \text{ kN / cm}^2 < 24 \text{ kN / cm}^2$  olduğu için tahkik sağlandı.

### 6.3. Kirişlerin Kolonlardan Güçlü Olma Şartı

Kesit hesabı yapılan kolonlar ve kirişler için yeni yönetmelikte uyulması gereken bu şart aşağıdaki gibi sağlanmıştır.

Haç HEB 900'lük kolonlara iki HEB 450 ve iki HEB 300 'lük kirişler bağlanmıştır. Kolonların plastikleşme momenti toplamı kirişlerin plastikleşme momentinden büyüktür.

$M_{p\text{kolonlar}} = 2736 \text{ kNm} < 2690 \text{ kNm} = M_{p\text{kirişler}}$  olduğu için bu koşul sağlanmıştır.

### 6.4. Birleşimler

Tipik birleşimlerden kolon – kiriş rıjît birleşimi, kiriş – kiriş mafsallı birleşimi için yapılan hesaplar Tablo 6.1 ve Tablo 6.2'de verilmiştir. Haç HEB900 ile Haç HEB700'lük kolon – kolon birleşimi ise aşağıdaki gibidir.

Tablo 6.1 Kolon-Kiriş Rijit Birleşimi

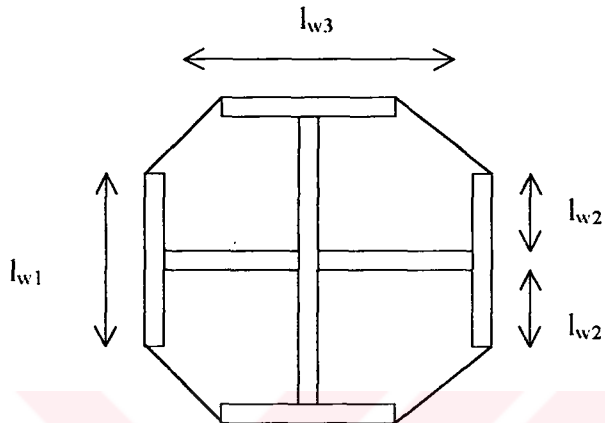
<b>HAC HEB 900 - HEB 360</b>		
F <sub>trk</sub>	M 24 (10.9)	317,70 kN
P=F <sub>trd</sub>	M 24 (10.9)	254,16 kN
2c	(plaka genişliği)	30,00 cm
t	(plaka kalınlığı)	<b>2,50 cm</b>
τ	(plakadaki kesme kuvveti)	6,78 kN/cm <sup>2</sup>
σ <sub>yd</sub>	(akma gerilmesi)	24,00 kN/cm <sup>2</sup>
b	(bulonun gövdeye olan uzaklılığı)	7,40 cm
t <sub>lim</sub>	$t_{lim} = \{ 2 * P * b / [c * (\sigma_{yd}^2 - 3 * \tau^2)^{1/2}] \}^{1/2}$	<b>3,46 cm</b>
Akan bulon sayısı		<b>3,00 adet</b>
y <sub>0</sub>	$y_0 = \sum N_u(i) / (2 * c * \sigma_{yd})$ ( $N_u(i) = 2 * P$ )	2,12 cm
M <sub>u</sub>	(birleşimin taşıma gücü momenti)	
	$M_u = \sigma_{yd} * c * y_0^2 + \sum N_u(i) * (y_i - y_0)$	<b>95982,51 kNm</b>
y <sub>1</sub>		80,00 cm
y <sub>2</sub>		64,00 cm
y <sub>3</sub>		48,00 cm
M <sub>plx</sub>	(kesitin plastikleşme momenti)	
HEB 360	→ W <sub>plx</sub> = 2683 cm <sup>3</sup>	
	$M_{plx} = \sigma_{yd} * W_{plx}$	<b>64392,00 kNm</b>
<b>M<sub>u</sub> &gt; M<sub>plx</sub></b>		

Tablo 6.2 Kiriş –Kiriş Mafsallı Birleşimi

<b>HEB 450 -HEB 300</b>		
$h_1$	gövde yüksekliği	26,00 cm
$t_w$	gövde kalınlığı	1,20 cm
$A_v$	gövde alanı	$31,20 \text{ cm}^2$
Kesitin taşıma gücüne erişmesi durumunda aktardığı kesme kuvveti $V_{pl}$ :		
$\sigma_{yd}$	akma gerilmesi	24,00 $\text{kN/cm}^2$
$\gamma_{MO}$	malzeme güvenlik katsayısı	1,15
$V_{pl}$	$V_{pl} = A_v * \sigma_{yd} / \gamma_{MO}$	651,13 $\text{kN/cm}^2$
1 bulona gelen maksimum düşey kesme kuvveti $V_1$ :		
$n_L$	etki sayısı	2,00
$n$	bulon sayısı	4,00 Adet
$V_1$	$V_1 = V_{pl} / (n_L * n)$	81,39 kN
$P_{1max} = V_1$		<b>81,39 kN</b>
M16 (10.9) bulonun emniyetle taşıyabilecegi kuvvet $P_{1emn,1}$ :		
$F_{vRk}$	bulonun kesme dayanımı	78,50 kN
Bulonun güvenle taşıyabilecegi kesme kuvveti:		
$P_{1emn,1}$	$P_{1emn,1} = F_{vRk}$	<b>78,50 kN</b>
$F_{bRk}$	ezilme dayanımı ( $t = 10\text{mm}$ )	151,30 kN
$F_{bRd}$	$F_{bRd} = F_{bRk}$	151,30 kN
Bulonun güvenle taşıyabilecegi ezilme kuvveti:		
$P_{1emn,1}$	$P_{1emn,1} = F_{bRd}$	<b>151,30 kN</b>
Bulonun güvenle taşıyabilecegi kuvvet:		
$P_{1emn,1}$	[ $\min(P_{1emn,1}; P_{1emn,1})$ ]	<b>78,50 kN</b>
$P_{1max}$	<	$P_{1emn,1}$

## HAÇ HEB 900 – HAÇ HEB 700 :

İlk altı katta Haç HEB 900 ‘lük profil kullanıldıktan sonra kesit tesitleri küçüldüğü için Haç HEB 700 olarak küçültüldü. Kolon birleşimleri kat yüksekliğinin dörtte birinde gerçekleştirildi. Birleşimdeki Haç HEB 700 profili ile geçiş plakası arasındaki kaynaklar Şekil 6.1’de gösterilmiştir.



Şekil 6.1 Kolon Birleşim Kaynakları

Kesit tesirleri:  $N = -2892.9 \text{ kN}$ ,  $Q_x = 73.1 \text{ kN}$ ,  $Q_y = 14.6 \text{ kN}$ ,  $M_x = 152.3 \text{ kNm}$ ,  $M_y = 29.1 \text{ kNm}$ .

Kaynak kalınlığı ve boyları:  $a=1.4 \text{ cm}$ ,  $l_{w1}=30-2*1.4=27.2\text{cm}$ ,  $l_{w2}=14-2*1.4=11.2\text{cm}$   
 $l_{w3}=63-2*1.4=60.2\text{cm}$   $b'$ =azaltılmış gövde genişliği= $26.8\text{cm}$  olarak hesaplandı.  
 $b$ =gövde genişliği

$$b' = b - 2 ( 2 * a * l_{w2} * t_t ) / ( 2 * a * l_{w2} + a * l_{w1} ) \quad (6.13)$$

$$-\sigma_{yd} \leq \frac{1}{0.85} * \left( \frac{N}{\sum a * l_w} \pm \frac{M_x/b'}{a * l_{w1} + 2 * a * l_{w2}} \right) \leq \sigma_{yd} \quad (6.14)$$

$$\sigma_{min}=8.59 \text{ kN/cm}^2, \sigma_{max}=10.23 \text{ kN/cm}^2$$

$$\sqrt{\left( \frac{N}{0.85 * \sum a * l_w} \right)^2 + \left( \frac{Q_y}{0.75 * 2 * a * l_{w3}} \right)^2} \leq \sigma_{yd} \quad (6.15)$$

$\sigma=11.1 \text{ kN/cm}^2$  bulunarak tahkik sağlanmıştır.

## **7. YENİ VE ESKI DEPREM YÖNETMELİĞİNE GÖRE YAPILAN HESAPLARIN KIYASLANMASI**

Deprem hesabında yeni ve eski yönetmelik koşullarındaki farklar binaya etkidiği düşünülen yatay kuvvetlerin değişimine sebep olurken çelik yapı tasarımlı için uyulması gereken yeni ilkeler nedeniyle farklı sonuçlara sebep oldu.

Yapılan hesaplar sonucunda eski yönetmelikte deprem hesabı için statik hesapta bulunan sonuçlar yeterli olurken, yeni yönetmelikte dinamik hesap da yapılması gerekti. Her iki yönetmelik için statik hesap sonuçlarını kıyaslarsak toplam taban kesme kuvveti eski yönetmelik için 4052 kN bulunurken yeni yönetmelikte bu değer 3412 kN değerine düşerek yaklaşık olarak %20'lik bir azalma meydana geldi. Yeni yönetmelik kurallarına göre dinamik hesapla çözüm yapılması gerektiği için taban kesme kuvveti 2260 kN olarak bulundu. Ancak statik hesapla dinamik hesapların kıyaslanması sonucunda dinamik hesap sonuçlarına göre bulunan yer değiştirmeler ve kesit tesirleri 0.57 oranında artırıldı. Bu oranın yüksek olmasının bir sebebi de A1 düzensizliğinin bulunmuşudur.

Yeni yönetmelikte her bir kata etkiyen fiktif yatay deprem kuvveti ise en üst kat hariç diğer katlarda %50 oranında azaldı. Toplam taban kesme kuvvetleri oranı ile bu oranlar arasındaki fark en üst kata etkiyen ek eşdeğer kuvvet nedeniyedir. Ek eşdeğer kuvvet yeni yönetmelikte 635.31 kN hesaplanırken eski yönetmelikte bu kuvvetin etki ettirilmesi için gereken şart sağlanmadığı için 0 olarak alındı. Bu şart binanın yüksekliğinin genişliğine oranının 1 / 3'ten büyük olmasıdır.

Her iki yönetmelik için hesaplanan kat ağırlıkları katsayıların aynı olması nedeniyle aynı değerde bulundu. Yük kombinasyonları ise yeni yönetmelikte taşıma gücü yönteminde deprem etkisini içeren durumda değiştirilerek hesaplandığı için farklı şekiller aldı.

Burulma momenti hesabında kullanılacak olan kaydırılmış kütle merkezi A1 düzensizliği nedeniyle yeni yönetmelikte katsayı ile artırılarak hesaplandı, eski yönetmelikte ise böyle bir artırıma gidilmedi.

Binanın birinci doğal periyodu hesabı eski ve yeni yönetmelikte farklı şartlardan dolayı SAP2000'de yapılan dinamik analiz sonuçları kullanıldı. Eski yönetmelikteki bu sınır şartı bina yüksekliğinin 35m'yi geçmesi iken yeni yönetmelikte 25m olduğu halde bina yüksekliği 70m olduğu için periyot hesabında aynı yöntem sonuçları kabul edildi.

Yeni yönetmelikte kolonların kırışlarından daha güçlü olması koşulu nedeniyle daha büyük kesitli kolonlar seçildi. Aynı zamanda bütün kesitler yerel burulmaları önlemek için uyulması gereken en kesit koşulları dikkate alınarak belirlendi.

Yeni yönetmelikte sünek tasarım ilkesine uygun olarak dış merkez çaprazlar kullanıldı. Bu sebeple süneklik katsayısı 8 olarak seçilip deprem yüklerinin azaltılması sağlandı. Eski yönetmelikte ise yapı tipi katsayısı belirlenirken sünek olan diyagonalli çerçeveler için ayrı bir katsayı tanımlanmadığı için deprem yüklerinin yeni yönetmeliğe göre daha büyük çıkması sonucuna ulaşıldı.

Yeni ve eski yönetmelikte çıkan sonuçların en büyük etkisi temellerde oluşacağı için her iki yönetmelikte ayrı ayrı temel hasabı yapıldı. Bu hesaplar sonucunda radye temel yüksekliği aynı alındığı halde her iki yönetmelik için de bu değer yeterli oldu. Ancak yeni yönetmelikte ankastre kolon ayakları için BS20'lük beton yeterli olduğu halde, eski yönetmelik için BS30'luk beton seçimine geçildi. Radye temel için gerekli donatı miktarı ise açıklıklarda yaklaşık değerler alırken mesnetlerde eski yönetmelikte artım yapmak zorunda kalındı.

## **8. SONUÇLAR VE ÖNERİLER**

Yeni ve eski yönetmelik deprem hesabının aynı bina üzerinde yapılması sonucunda yeni deprem yönetmeliğine geçilmesiyle elde edilen olumlu ve olumsuz yönler belirlendi.

Yeni deprem yönetmeliğine göre düzensizlik kavramı geniş bir alanı kapsadığı için yapının taşıyıcı sistemi belirlenirken bu kurallara uyulmakla deprem anında yapının daha az etkilenmesi sağlanmış oldu. Düzensizlikler arasında yapının simetrik olup olmaması çok önemli bir yer tutmaktadır. Simetriklilik rijitlik merkezi ile ağırlık merkezinin çakıştırılmasını sağlayıp depremdeki ek burulma etkisini azalttığı için deprem hesabında yer olması gereken olumlu bir gelişmedir. Her iki yönetmelikte yer alan düşey eleman süreksizliği yeni yönetmelikte daha kesin şartlarla sınırlanmış olmasıyla deprem anında elemanların birbirine yardım etmesi sağlanırken, sistemde elastik davranışın ötesinde taşıma kapasitesi de artırılmış oldu. Bu sayede ortaya çıkacak olan plastik mafsalların sayısı dolayısıyla dinamik enerjinin yutulan kısmı da büyütülmüş oldu. Yeni yönetmelikte komşu katlar arasındaki dayanım ve rijitlik düzensizliği kavramlarına yer verilerek katlar arasındaki yer değiştirmeler küçültülmekte ve normal kuvvetin ikinci mertebe momenti de azaltılmaktadır.

Yeni yönetmelikte sünek tasarım ilkesine uygun kurallar sayesinde deprem enerjisi kontrollü hasarlarla, göçmeden uzak kalınarak karşılanmış olmaktadır. Ayrıca binanın 1. doğal periyodunun belirlenmesinde zemin hakim periyodunda uzak değerler alınarak rezonans olayının önlenmesi sağlandı.

Yeni yönetmelikteki taban kesme kuvvetinin alt sınırını belirleyen  $0.1 * A_0 * I * W$  değeri bölüm 2'de denklem 2.8'deki koşulu sağlamak için sadeleştirildiğinde çıkan sonuca göre spektrum katsayısi,  $S(T)$ 'nin  $0.1 * R_a(T_1)$  'den büyük olma şartı ortaya çıkar. Böylelikle spektrum eğrisine deprem yükü azaltma katsayına bağlı bir alt sınır getirilmiş oldu. Bu ise eşdeğer deprem yükü yönteminde söz konusu olan bina süneklik düzeyi yüksek olarak tasarlandığı halde bu alt koşul ile deprem kuvvetlerini artırma zorunluluğu doğurur. Eşdeğer yönteme artırmadan elde edilen toplam taban kesme kuvveti dinamik hesapla uyum içindeyken bu şart nedeniyle dinamik sonuçlarda da bir artırıma gidildi. Ayrıca binanın 1. doğal periyodu hesabında verilen

ampirik metoda bağlı bir üst sınır getirilmesi  $S(T)$ 'nin artırılmasıyla toplam taban kesme kuvvetinin de artmasına yol açarak periyodu yüksek çıkabilecek çok katlı yapınlarda azaltmaya neden oldu. Yine de çıkan sonuçlar eski yönetmeliğe göre daha küçük olduğu için çelik binaların yapımı için önemli bir etken olan ekonomide fayda sağlanmış oldu.

Bina sistemi yeni yönetmeliğe uygun olarak dış merkez çelik çaprazlı olarak seçilmesi nedeniyle yapı süneklik düzeyi yüksek sınıfına dahil edilebiliniyor. Ancak eski yönetmelikte süneklik koşuluna dair bir açıklama ve yapının sünek olması halinde yapıya etkiyen kuvvetlerin azaltılmasına ait bir kural yer almıyor. Bu nedenle deprem kuvvetleri gereksiz olarak daha büyük olarak hesaplanıp kesit tesirlerinin artmasına sebep oldu. Yeni yönetmelikte süneklik koşuluna bağlı olarak bir azaltmaya gidilmesi yapının deprem halindeki gerçek davranışına daha yakın bir sonuca ulaştırdı. Sonuç olarak yeni yönetmelikteki bu koşul depreme dayanıklı yapı tasarımda ulaşılan bir gelişmedir.

Yeni yönetmelikte 1. ve 2. deprem bölgelerinde dinamik hesap yapma kısıtlaması eski yönetmeliğe göre daha fazla yer almaktadır. Dinamik hesap metodunun uygulanma şartı eski yönetmelikte olduğu gibi sadece düşey süreksızlıkla birlikte bina yüksekliği olmayıp deprem halinde sakincalar yaratabilecek rıjilik ve burulma düzensizliği koşullarını da kapsamaktadır. Bu nedenle deprem riskinin fazla olduğu bu bölgelerde dinamik hesap yapılması koşulu ile daha güvende kalınmış oldu.

Yeni yönetmelikte uyuılması gereken kolonların kırışlarından güçlü olması sağlandığı için bu sayede plastik mafsalın ilk önce kırışta oluşması sağlandı. Bu şartın bazı yerlerde sağlanmaması halinde ise bazı sınır koşulları getirilerek kesit tesirlerinin artırılmasına sebep olmaktadır. Bu sayede kolon kesitleri daha büyük seçilerek toptan göçmenin azaltılmasına çalışıldı.

Elde edilen hesaplar çerçevesinde 1998 yılında yürürlüğe giren yeni yönetmelik ile çok katlı çelik bir binada deprem anında eskiye göre daha güvenli kalan ve daha ekonomik olan bir tasarım elde edildiği sonucuna varıldı.

## KAYNAKLAR

- [1] **Özmen, G.**, 1999, 1997 Türkiye Deprem Yönetmeliğine Göre Tasarım Uygulamaları, Türkiye Deprem Vakfı Teknik Raporu, TDV / TR 018 –32.
- [2] **Uluğ, T., N.**, Çelik Yapılar, Matbaa Teknisyenleri Basımevi, 1977, İstanbul.
- [3] **Arda, T. S.**, Yapıların Yangın Güvenliği Ve Buna İlişkin Yapısal Önlemler
- [4] **Arda, T. S.**, Çelik Çatı Ve Binalarda Rüzgar Karşıt Düzenleri Ve Stabilite Bağları, Matbaa Teknisyenleri Basımevi, 1978, İstanbul.
- [5] **Celep, Z., Kumbasar, N.**, 1992, Deprem Mühendisliğine Giriş Ve Depreme Dayanıklı Yapı Tasarımı, İ.T.Ü. İnşaat Fakültesi Matbaası, İstanbul.
- [6] **İnşaat Mühendisleri Odası İzmir Şubesi Eğitim Merkezi**, 1998, Afet Bölgelerinde Yapılacak Yapılar Hakkında Yönetmelik, İnşaat Mühendisleri Odası İzmir Şubesi Yayın No:25.
- [7] **İmar Ve İskan Bakanlığı, Deprem Araştırma Enstitüsü Başkanlığı**, 1975, Afet Bölgelerinde Yapılacak Yapılar Hakkında Yönetmelik, Ankara.
- [8] **Çakıroğlu, A., Çetmeli, E.**, 1979, Yapı Statiği.

## **EKLER**

**EK A TABLOLAR**

**EK B SAP2000 ÇIKTILARI**

**EK C YENİ YÖNETMELİK TEMEL ÇIKTILARI**

**EK D ESKİ YÖNETMELİK TEMEL ÇIKTILARI**

## EK A

Tablo A.1 Düzensiz Binalar

A – PLANDA DÜZENSİZLİK DURUMLARI:
<b>A1 – Burulma Düzensizliği:</b> Birbirine dik iki deprem doğrultusunun herhangi biri için, herhangi bir katta en büyük görelî kat ötelemesinin o katta aynı doğrultudaki ortalama görelî ötelemeyec oranını ifade <i>Burulma Düzensizliği Katsayısi</i> $\eta_{bi}$ 'nin 1.2 'den büyük olması durumu. $[\eta_{bi} = (\Delta_i)_{max}/(\Delta_i)_{ort} > 1.2]$
<b>A2 – Döşeme Süreksizlikleri:</b> Herhangi bir kattaki döşemede: <b>I</b> – Merdiven ve asansör boşlukları dahil, boşluk alanları toplamının kat brüt alanının 1/3 'ünden fazla olması durumu. <b>II</b> – Deprem yüklerinin düşey taşıyıcı sistem elemanlarına güvenle aktarılabilmesini güçlendiren yerel döşeme boşluklarının bulunması durumu. <b>III</b> – Döşemenin düzlem içi rıjilik ve dayanımında ani azalmaların olması durumu.
<b>A3 – Planda Çıkıntıların Bulunması:</b> Bina kat planlarında çıkıştı yapan kısımların birbirine dik iki doğrultulardaki boyutlarının her ikisinin de, binanın o katının aynı doğrultulardaki toplam plan boyutlarının %20 'inden daha büyük olması durumu.
<b>A4 – Taşıyıcı Eleman Eksenlerinin Paralel Olmaması:</b> Taşıyıcı sistemin düşey elemanlarının plandaki asal eksenlerinin, göz önüne alınan birbirine dik yatay deprem doğrultularına paralel olmaması durumu.
B – DÜSEY DOĞRULTUDA DÜZENSİZLİK DURUMLARI:
<b>B1 – Komşu Katlar Arası Dayanım Düzensizliği:</b> Betonarme binalarda, birbirine dik iki deprem doğrultusunun herhangi birinde, herhangi bir kattaki <i>etkili kesme alanı</i> 'nın, bir üst kattaki <i>etkili kesme alanı</i> 'na oranı olarak tanımlanan <i>Dayanım Düzensizliği Katsayısi</i> $\eta_{ci}$ 'nin 0.80 'den küçük olması durumu. $[\eta_{ci} = (\Sigma A_e)_i / (\Sigma A_e)_{i+1} < 0.80]$ Herhangi bir katta etkili kesme alanının tanımı: $\Sigma A_e = \Sigma A_w + \Sigma A_g + 0.15 \Sigma A_k$
<b>B2 – Komşu Katlar Arasın Rıjilik Düzensizliği (Yumuşak Kat):</b> Birbirine dik herhangi iki deprem doğrultusunun herhangi biri için, herhangi bir i 'inci kattaki ortalama görelî kat ötelemesinin bir üst kattaki ortalama görelî kat ötelemesine oranı olarak tanımlanan <i>Rıjilik Düzensizliği Katsayısi</i> $\eta_{ki}$ 'nin 1.5 'tan fazla olması durumu. $[\eta_{ki} = (\Delta_i)_{ort} / (\Delta_{i+1})_{ort} > 1.5]$
<b>B3 – Taşıyıcı Sistemin Düşey Elemanlarının Süreksizliği:</b> Taşıyıcı sistemin düşey elemanlarının (kolon veya perdelerin) bazı katlarda kaldırılarak kirişlerin veya guseli kolonların üstüne veya ucuna oturtulması, ya da üst kattaki perdelerin alta kolonlara veya kirişlere oturtulması durumu.

Tablo A.2 Bina Önem Katsayısı

Binanın Kullanım Amacı veya Türü	Bina Önem Katsayısı (I)
<b>1. Deprem sonrası kullanımı gerektiren binalar ve tehlikeli madde içeren binalar</b> <ul style="list-style-type: none"> <li>a) Deprem sonrasında hemen kullanılması gereklili binalar (Hastaneler, dispanserler, sağlık ocakları, itfaiye bina ve tesisleri, PTT ve diğer haberleşme tesisleri, ulaşım istasyonları ve terminalleri, enerji üretim ve dağıtım tesisleri; vilayet, kaymakamlık ve belediye yönetim binaları, ilk yardım ve afet planlama istasyonları)</li> <li>b) Toksik, patlayıcı, parlayıcı, vb. özellikleri olan maddelerin bulunduğu veya depolandığı binalar</li> </ul>	1.5
<b>2. İnsanların uzun süreli ve yoğun olarak bulunduğu ve değerli esyanın saklandığı binalar</b> <ul style="list-style-type: none"> <li>a) Okullar, diğer eğitim bina ve tesisleri, yurt ve yatakhaneler, askeri kışlalar, cezaevleri, vb.</li> <li>b) Müzeler</li> </ul>	1.4
<b>3. İnsanların kısa süreli ve yoğun olarak bulunduğu binalar</b> Spor tesisleri, sinema, tiyatro ve konser salonları, vb.	1.2
<b>4. Diğer Binalar</b> Yukarıdaki tanımlara girmeyen diğer binalar (Konutlar, işyerleri, oteller, bina türü endüstri yapıları, vb.)	1.0

Tablo A.3 Zemin Grupları

Zemin Grubu	Zemin Grubu Tanımı	Stand. Penetr. (N/30)	Relatif Sıkılık (%)	Serbest Basınç Direnci (kPa)	Kayma Dalgası Hızı (m/s)
(A)	1. Masif volkanik kayaçlar ve ayrılmamış sağlam metamorfik kayaçlar, sert çimentolu tortul kayaçlar 2. Çok sıkı kum, çakıl 3. Sert kil ve siltli kil	- >50 >32	- 85-100 -	>1000 - >400	>1000 >700 >700
(B)	1. Tüf ve aglomera gibi gevşek volkanik kayaçlar, sürekli düzlemleri bulunan ayrılmış çimentolu tortul kayaçlar 2. Sıkı kum, çakıl 3. Çok katı kil ve siltli kil	- 30-50 16-32	- 65-85 -	500-1000 - 200-400	700-1000 400-700 300-700
(C)	1. Yumuşak sürekli düzlemleri bulunan çok ayrılmış metamorfik kayaçlar ve çimentolu tortul kayaçlar 2. Orta sıkı kum, çakıl 3. Katı kil ve siltli kil	- 10-30 8-16	- 35-65 -	<500 - 100-200	400-700 200-400
(D)	1. Yer altı su seviyesinin yüksek olduğu yumuşak, kalın alüvyon tabakaları 2. Gevşek kum 3. Yumuşak kil, siltli kil	- <10 <8	- <35 -	- - <100	<200 <200 <200

Tablo A.4 Yerel Zemin Sınıfları

Yerel Zemin Sınıfı	Tablo 2.5'e Göre Zemin Grubu ve En Üst Zemin Tabakası Kalınlığı
Z1	(A) grubu zeminler $h_1 \leq 15$ m. olan (B) grubu zeminler
Z2	$h_1 > 15$ m. olan (B) grubu zeminler $h_1 \leq 15$ m. olan (C) grubu zeminler
Z3	$15 < h_1 \leq 50$ m. olan (C) grubu zeminler $h_1 \leq 10$ m. olan (D) grubu zeminler
Z4	$h_1 > 50$ m. olan (C) grubu zeminler $h_1 > 10$ m. olan (D) grubu zeminler

Tablo A.5 Taşıyıcı Sistem Davranış Katsayıları (R)

Bina Taşıyıcı Sistemi	Süneklik Düzeyi Normal Sistemler	Süneklik Düzeyi Yüksek Sistemler
<b>1) YERİNDE DÖKME BETONARME BİNALAR</b>		
1.1) Deprem yüklerinin tamamının çerçevelerle taşındığı binalar	4	8
1.2) Deprem yüklerinin tamamının bağ kıraklı (boşluklu) perdelerle taşındığı binalar	4	7
1.3) Deprem yüklerinin tamamının boşluksuz perdelerle taşındığı binalar	4	6
1.4) Deprem yüklerinin, çerçeveler ile boşluksuz ve/veya bağ kıraklı (boşluklu) perdeler tarafından birlikte taşındığı binalar	4	7
<b>2) PREFABRİK BETONNAME BİNALAR</b>		
2.1) Deprem yüklerinin tamamının, bağlantıları tersinir momentleri aktarabilen çerçevelerle taşındığı binalar	3	6
2.2) Deprem yüklerinin tamamının; kolonları temelde ankastre, üstte mafsallı tek katlı çerçevelerle taşındığı binalar	-	5
2.3) Deprem yüklerinin tamamının; prefabrike boşluksuz perdelerle taşındığı binalar	-	4
2.4) Deprem yüklerinin, bağlantıları tersinir momentleri aktarabilen prefabrike çerçeveler ile yerinde dökme boşluksuz ve/veya bağ kıraklı (boşluklu) perdeler tarafından birlikte taşındığı binalar	3	5
<b>3) ÇELİK BİNALAR</b>		
3.1) Deprem yüklerinin tamamının çerçevelerle taşındığı binalar	5	8
3.2) Deprem yüklerinin tamamının; kolonları temelde ankastre, üstte mafsallı tek katlı çerçevelerle taşındığı binalar	4	6
3.3) Deprem yüklerinin tamamının çaprazlı perdeler veya yerinde dökme betonarme Perdeler tarafından taşındığı binalar a) Çaprazların merkezi olması durumu b) Çaprazların dışmerkez olması durumu c) Betonarme perde durumu	3 - 4	- 7 6
3.4) Deprem yüklerinin çerçeveler ile birlikte çaprazlı perdeler veya yerinde dökme betonarme Perdeler tarafından taşındığı binalar a) Çaprazların merkezi olması durumu b) Çaprazların dışmerkez olması durumu c) Betonarme perde durumu	4 - 4	- 8 7

Tablo A.6 Yapı Tipi Katsayıları

Yapı Tipi	K
Aşağıda tanımlı ayrıca yapılmamış tüm taşıyıcı sistemler	1.00
Tüm perde duvarlı kutu sistemler	1.33
Çerçeveleri yatay yüklerin tamamını taşıyabilen çerçeve taşıyıcı sistemler (Dolgu duvarı tipleri a, b ve c için bakınız dip not 1)	
1) Düktil Çerçeveler (çelik ya da betonarme)	a) 0.60 b) 0.80 c) 1.00
2) Düktil olmayan çerçeveler	a) 1.20 b) 1.50 c) 1.50
3) Diyagonalli çelik kafes çerçeveler	a) 1.33 b) 1.50 c) 1.60
Düktil çerçeveleri ile yatay yüklerin en az %25'ini taşıyabilen perde duvarlı sistemler	a) 0.80 b) 1.00 c) 1.20
Yığma binalar	1.50
Bağımsız zemin üstü havzneleri (Maksimum yatay kuvvet katsayıısı C=0.30)	3.00
Binalardan başka yapılar, bacalar, kuleler (Maksimum yatay kuvvet katsayıısı C=0.30)	2.00

Dip not: 1) Dolgu duvarı tipleri: a) Betonarme ya da yatay ve düşey donatılı yığma bölme duvarlı.  
b) Donatısız yığma bölge duvarlı. c) Hafif ve az bölge duvarlı ya da prefabrike beton bölge duvarlı [7].

**EK B**

## MODAL PARTICIPATING MASS RATIOS

MODE	PERIOD	INDIVIDUAL MODE (PERCENT)			CUMULATIVE SUM (PERCENT)		
		UX	UY	UZ	UX	UY	UZ
1	2.556542	32.9000	32.2522	0.0001	32.9000	32.2522	0.0001
2	2.432087	38.8898	24.3273	0.0000	71.7898	56.5795	0.0001
3	2.298989	0.2913	15.9028	0.0000	72.0811	72.4822	0.0001
4	0.776423	6.8543	7.9516	0.0003	78.9354	80.4338	0.0003
5	0.748718	8.1950	6.4733	0.0000	87.1304	86.9071	0.0004
6	0.368996	0.5124	7.3603	0.0000	87.6428	94.2674	0.0004
7	0.344470	7.4603	0.4234	0.0000	95.1030	94.6908	0.0004

## RESPONSE SPECTRUM BASE REACTIONS

## IN RESPONSE-SPECTRUM LOCAL COORDINATES

SPEC SPEC1 -----

FOR EACH MODE, DUE TO SPECTRAL ACCELERATION IN DIRECTION U1:

MODE	F1	F2	F3	M1	M2	M3
1	80.024708	79.232939	-0.046383	-3879.207	3924.985	-81.022599
2	98.409927	-77.833697	0.012801	3791.530	4813.635	22.627984
3	0.773995	-5.719169	0.002221	279.083713	36.790621	-28.073511
4	43.497793	46.850549	0.121012	-165.013041	179.248159	-12.160413
5	53.606502	-47.643539	-0.051616	127.051611	172.203993	-36.511740
6	5.966782	22.614527	-0.004337	-129.351384	37.984096	33.198686
7	91.933135	-21.900212	0.003063	121.577798	582.428295	-57.205034

FOR EACH MODE, DUE TO SPECTRAL ACCELERATION IN DIRECTION U2:

MODE	F1	F2	F3	M1	M2	M3
1	79.232939	78.449005	-0.045924	-3840.826	3886.151	-80.220958
2	-77.833697	61.559689	-0.010125	-2998.770	-3807.166	-17.896769
3	-5.719169	42.259827	-0.016413	-2062.193	-271.851605	207.439529
4	46.850549	50.461732	0.130339	-177.732044	193.064388	-13.097723
5	-47.643539	42.343871	0.045874	-112.918922	-153.048742	32.450327
6	22.614527	85.710662	-0.016436	-490.250921	143.962417	125.825376
7	-21.900212	5.217045	-0.000730	-28.962131	-138.745436	13.627321

COMBINED FOR ALL MODES AND ALL DIRECTIONS OF SPECTRAL ACCELERATION:

	F1	F2	F3	M1	M2	M3
SPEC	225.981968	216.137413	0.203630	8378.935	8738.043	245.091102

STATIC LOAD CASES		
STATIC	CASE	SELF WT
CASE	TYPE	FACTOR
G	DEAD	0.0000
Q	LIVE	0.0000
DUVAR	DEAD	0.0000
HUR75	QUAKE	0.0000
DEP75X	DEAD	0.0000
DEP75Y	DEAD	0.0000
DEP98X	DEAD	0.0000
DEP98Y	DEAD	0.0000
BUR98	QUAKE	0.0000
RUZY	WIND	0.0000

## RESPONSE SPECTRUM CASES

SPECTRUM EXCITATION	MODAL	DIRECTION
CASE	ANGLE	COMBO
SPEC1	0.0000	CQC

## FRAME ELEMENT DATA

FRAME	JNT-1	JNT-2	SECTION	SEGMENTS	R1	R2	FACTOR	LENGTH
29	198	16	HB90	2	0.000	0.000	1.000	1.750
74	63	64	HE300-B	4	0.000	0.000	1.000	7.350
113	40	43	HE360-B	4	0.000	0.000	1.000	7.350
957	601	589	ZUPN300	2	0.000	0.000	1.000	3.770
1418	877	918	HE450-B	4	0.000	0.000	1.000	1.190
1462	779	896	HB900HC	2	0.000	0.000	1.000	3.910

## LOAD COMBINATION MULTIPLIERS

COMBO	TYPE	CASE	FACTOR	TYPE	TITLE
DUSEY	ADD				dusey

G 1.000 STATIC(DEAD)

			Q	1.7000	STATIC(LIVE)			
DINAMIK	ADD	DUVAR	1.7000	STATIC(DEAD)		DINAMIK		
		G	1.5600	STATIC(DEAD)				
		Q	1.5600	STATIC(LIVE)				
		DUVAR	1.5600	STATIC(DEAD)				
		SPEC1	1.5600	SPECTRA				
		BUR98	1.5600	STATIC(QUAKE)				
STAT75X	ADD				STAT75X			
		G	1.0000	STATIC(DEAD)				
		Q	1.0000	STATIC(LIVE)				
		DUVAR	1.0000	STATIC(DEAD)				
		DEP75X	1.0000	STATIC(DEAD)				
		BUR75	1.0000	STATIC(QUAKE)				
STAT75Y	ADD				STAT75Y			
		G	1.0000	STATIC(DEAD)				
		Q	1.0000	STATIC(LIVE)				
		DUVAR	1.0000	STATIC(DEAD)				
		DEP75Y	1.0000	STATIC(DEAD)				
		BUR75	1.0000	STATIC(QUAKE)				
STAT98X	ADD				STAT98X			
		G	1.0000	STATIC(DEAD)				
		Q	1.0000	STATIC(LIVE)				
		DUVAR	1.0000	STATIC(DEAD)				
		DEP98X	1.0000	STATIC(DEAD)				
		BUR98	1.0000	STATIC(QUAKE)				
STAT98Y	ADD				STAT98Y			
		G	1.0000	STATIC(DEAD)				
		Q	1.0000	STATIC(LIVE)				
		DUVAR	1.0000	STATIC(DEAD)				
		DEP98Y	1.0000	STATIC(DEAD)				
		BUR98	1.0000	STATIC(QUAKE)				
RUZY	ADD				RUZY			
		G	1.5000	STATIC(DEAD)				
		Q	1.5000	STATIC(LIVE)				
		DUVAR	1.5000	STATIC(DEAD)				
		RUZY	1.5000	STATIC(WIND)				
09G	ADD				09G			
		G	0.9000	STATIC(DEAD)				
		DUVAR	0.9000	STATIC(DEAD)				
		SPEC1	1.0000	SPECTRA				
FRAME	ELEMENT	F O R C E S						
FRAME	LOAD	LOC	P	V2	V3	T	M2	M3
29	DUSEY							
		0.00	-808.81	-3.63	-3.10	-2.669E-04	-3.09	-3.45
		8.8E-01	-808.81	-3.63	-3.10	-2.669E-04	-3.677E-01	-2.586E-01
		1.75	-808.81	-3.63	-3.10	-2.669E-04	2.35	2.93
29	DINAMIK MAX							
		0.00	-285.50	6.98	7.88	1.232E-03	36.10	32.43
		8.8E-01	-285.50	6.98	7.88	1.232E-03	29.37	26.44
		1.75	-285.50	6.98	7.88	1.232E-03	22.74	20.53
29	DINAMIK MIN							
		0.00	-1196.28	-15.81	-11.75	-6.582E-04	-34.97	-46.55
		8.8E-01	-1196.28	-15.81	-11.75	-6.582E-04	-24.84	-32.80
		1.75	-1196.28	-15.81	-11.75	-6.582E-04	-14.84	-19.11
29	STAT75X							
		0.00	-1020.23	8.29	-2.51	5.333E-05	-8.083E-01	40.51
		8.8E-01	-1020.23	8.29	-2.51	5.333E-05	1.39	33.17
		1.75	-1020.23	8.29	-2.51	5.333E-05	3.58	25.70
29	STAT75Y							
		0.00	-1003.79	-3.91	8.41	6.311E-04	43.86	-5.45
		8.8E-01	-1003.79	-3.91	8.41	6.311E-04	36.41	-2.02
		1.75	-1003.79	-3.91	8.41	6.311E-04	28.82	1.42
29	STAT98X							
		0.00	-908.97	5.75	-1.40	1.675E-06	-1.08	30.57
		8.8E-01	-908.97	5.75	-1.40	1.675E-06	1.03	25.47
		1.75	-908.97	5.75	-1.40	1.675E-06	3.13	20.27
29	STAT98Y							
		0.00	-908.97	-3.53	5.91	4.438E-04	33.24	-4.68
		8.8E-01	-908.97	-3.53	5.91	4.438E-04	27.93	-1.57
		1.75	-908.97	-3.53	5.91	4.438E-04	21.62	1.54
29	RUZY							
		0.00	-1006.99	-3.59	3.64	-1.439E-04	34.93	-2.06
		8.8E-01	-1006.99	-3.59	3.64	-1.439E-04	21.69	9.203E-01

29	09G MAX	1.75	-1006.99	-3.39	3.64	-1.439E-04	18.37
		0.00	35.37	6.28	5.42	5.310E-04	21.91
		8.8E-01	35.37	6.28	5.42	5.310E-04	17.28
		1.75	35.37	6.28	5.42	5.310E-04	12.71
29	09G MIN	0.00	-548.46	-8.33	-7.16	-6.808E-04	-23.64
		8.8E-01	-548.46	-8.33	-7.16	-6.808E-04	-17.47
		1.75	-548.46	-8.33	-7.16	-6.808E-04	-11.37
74	DUSEY	0.00	0.00	-11.48	0.00	3.160E-03	0.00
		1.84	0.00	-5.74	0.00	3.160E-03	0.00
		3.68	0.00	0.00	0.00	3.160E-03	0.00
		5.51	0.00	5.74	0.00	3.160E-03	0.00
		7.35	0.00	11.48	0.00	3.160E-03	0.00
74	DINAMIK MAX	0.00	0.00	-10.54	0.00	3.293E-03	0.00
		1.84	0.00	-5.27	0.00	3.293E-03	0.00
		3.68	0.00	0.00	0.00	3.293E-03	0.00
		5.51	0.00	5.27	0.00	3.293E-03	0.00
		7.35	0.00	10.54	0.00	3.293E-03	0.00
74	DINAMIK MIN	0.00	0.00	-10.54	0.00	2.630E-03	0.00
		1.84	0.00	-5.27	0.00	2.630E-03	0.00
		3.68	0.00	0.00	0.00	2.630E-03	0.00
		5.51	0.00	5.27	0.00	2.630E-03	0.00
		7.35	0.00	10.54	0.00	2.630E-03	0.00
74	STAT75X	0.00	0.00	-6.75	0.00	1.562E-03	0.00
		1.84	0.00	-3.38	0.00	1.562E-03	0.00
		3.68	0.00	0.00	0.00	1.562E-03	0.00
		5.51	0.00	3.38	0.00	1.562E-03	0.00
		7.35	0.00	6.75	0.00	1.562E-03	0.00
74	STAT75Y	0.00	0.00	-6.75	0.00	1.572E-03	0.00
		1.84	0.00	-3.38	0.00	1.572E-03	0.00
		3.68	0.00	0.00	0.00	1.572E-03	0.00
		5.51	0.00	3.38	0.00	1.572E-03	0.00
		7.35	0.00	6.75	0.00	1.572E-03	0.00
74	STAT98X	0.00	0.00	-6.75	0.00	1.614E-03	0.00
		1.84	0.00	-3.38	0.00	1.614E-03	0.00
		3.68	0.00	0.00	0.00	1.614E-03	0.00
		5.51	0.00	3.38	0.00	1.614E-03	0.00
		7.35	0.00	6.75	0.00	1.614E-03	0.00
74	STAT98Y	0.00	0.00	-6.75	0.00	1.624E-03	0.00
		1.84	0.00	-3.38	0.00	1.624E-03	0.00
		3.68	0.00	0.00	0.00	1.624E-03	0.00
		5.51	0.00	3.38	0.00	1.624E-03	0.00
		7.35	0.00	6.75	0.00	1.624E-03	0.00
74	RUZY	0.00	0.00	-10.13	0.00	2.581E-03	0.00
		1.84	0.00	-5.07	0.00	2.581E-03	0.00
		3.68	0.00	0.00	0.00	2.581E-03	0.00
		5.51	0.00	5.07	0.00	2.581E-03	0.00
		7.35	0.00	10.13	0.00	2.581E-03	0.00
74	09G MAX	0.00	0.00	-3.24	0.00	1.041E-03	0.00
		1.84	0.00	-1.62	0.00	1.041E-03	0.00
		3.68	0.00	0.00	0.00	1.041E-03	0.00
		5.51	0.00	1.62	0.00	1.041E-03	0.00
		7.35	0.00	3.24	0.00	1.041E-03	0.00
74	09G MIN	0.00	0.00	-3.24	0.00	6.164E-04	0.00
		1.84	0.00	-1.62	0.00	6.164E-04	0.00
		3.68	0.00	0.00	0.00	6.164E-04	0.00
		5.51	0.00	1.62	0.00	6.164E-04	0.00
		7.35	0.00	3.24	0.00	6.164E-04	0.00
113	DUSEY	0.00	0.00	-7.68	0.00	7.639E-05	0.00
		1.84	0.00	-3.87	0.00	7.639E-05	0.00
		3.68	0.00	-6.11E-01	0.00	7.639E-05	0.00
		5.51	0.00	3.74	0.00	7.639E-05	0.00
		7.35	0.00	7.55	0.00	7.639E-05	0.00

113	DINAMIK MAX						
0.00	0.00	-5.82	0.00	3.514E-04	0.00	-4.21	
1.84	0.00	-2.33	0.00	3.514E-04	0.00	3.28	
3.68	0.00	1.16	0.00	3.514E-04	0.00	4.36	
5.51	0.00	4.66	0.00	3.514E-04	0.00	4.85	
7.35	0.00	8.15	0.00	3.514E-04	0.00	-9.938E-01	
113	DINAMIK MIN						
0.00	0.00	-9.05	0.00	-9.390E-04	0.00	-16.13	
1.84	0.00	-5.55	0.00	-9.390E-04	0.00	-2.71	
3.68	0.00	-2.06	0.00	-9.390E-04	0.00	4.28	
5.51	0.00	1.44	0.00	-9.390E-04	0.00	-9.919E-01	
7.35	0.00	4.93	0.00	-9.390E-04	0.00	-12.76	
113	STAT75X						
0.00	0.00	-4.73	0.00	-1.356E-04	0.00	-6.38	
1.84	0.00	-2.49	0.00	-1.356E-04	0.00	2.519E-01	
3.68	0.00	-2.498E-01	0.00	-1.356E-04	0.00	2.77	
5.51	0.00	1.99	0.00	-1.356E-04	0.00	1.17	
7.35	0.00	4.23	0.00	-1.356E-04	0.00	-4.54	
113	STAT75Y						
0.00	0.00	-3.00	0.00	-2.053E-04	0.00	1.016E-02	
1.84	0.00	-7.615E-01	0.00	-2.053E-04	0.00	3.47	
3.68	0.00	1.48	0.00	-2.053E-04	0.00	2.81	
5.51	0.00	3.77	0.00	-2.053E-04	0.00	-1.97	
7.35	0.00	5.96	0.00	-2.053E-04	0.00	-10.86	
113	STAT98X						
0.00	0.00	-4.68	0.00	-9.496E-05	0.00	-6.20	
1.84	0.00	-2.44	0.00	-9.496E-05	0.00	3.405E-01	
3.68	0.00	-2.022E-01	0.00	-9.496E-05	0.00	2.77	
5.51	0.00	2.04	0.00	-9.496E-05	0.00	1.08	
7.35	0.00	4.28	0.00	-9.496E-05	0.00	-4.72	
113	STAT98Y						
0.00	0.00	-3.35	0.00	-1.469E-04	0.00	-1.26	
1.84	0.00	-1.11	0.00	-1.469E-04	0.00	2.83	
3.68	0.00	1.13	0.00	-1.469E-04	0.00	2.80	
5.51	0.00	3.37	0.00	-1.469E-04	0.00	-1.34	
7.35	0.00	5.61	0.00	-1.469E-04	0.00	-9.60	
113	RUZY						
0.00	0.00	-5.48	0.00	1.980E-04	0.00	-3.61	
1.84	0.00	-2.12	0.00	1.980E-04	0.00	3.38	
3.68	0.00	1.24	0.00	1.980E-04	0.00	4.19	
5.51	0.00	4.60	0.00	1.980E-04	0.00	-1.17	
7.35	0.00	7.96	0.00	1.980E-04	0.00	-12.70	
113	09G MAX						
0.00	0.00	-1.60	0.00	4.274E-04	0.00	5.797E-01	
1.84	0.00	-2.895E-01	0.00	4.274E-04	0.00	2.31	
3.68	0.00	1.02	0.00	4.274E-04	0.00	1.64	
5.51	0.00	2.32	0.00	4.274E-04	0.00	2.32	
7.35	0.00	3.63	0.00	4.274E-04	0.00	6.481E-01	
113	09G MIN						
0.00	0.00	-3.66	0.00	-3.998E-04	0.00	-7.06	
1.84	0.00	-2.36	0.00	-3.998E-04	0.00	-1.53	
3.68	0.00	-1.05	0.00	-3.998E-04	0.00	1.60	
5.51	0.00	2.577E-01	0.00	-3.998E-04	0.00	-1.43	
7.35	0.00	1.56	0.00	-3.998E-04	0.00	-6.89	
957	DUSEY						
0.00	-30.65	-1.513E-04	-1.485E-04	1.401E-06	3.097E-04	0.00	
1.88	-30.65	-1.513E-04	-1.485E-04	1.401E-06	1.914E-04	0.00	
3.77	-30.65	-1.513E-04	-1.485E-04	1.401E-06	6.887E-05	0.00	
957	DINAMIK MAX						
0.00	10.80	2.006E-02	2.840E-02	2.131E-04	1.358E-02	0.00	
1.88	10.80	2.006E-02	2.840E-02	2.131E-04	1.020E-02	0.00	
3.77	10.80	2.006E-02	2.840E-02	2.131E-04	7.913E-03	0.00	
957	DINAMIK MIN						
0.00	-80.47	-1.593E-02	-2.011E-02	-5.794E-05	-2.397E-02	0.00	
1.88	-80.47	-1.593E-02	-2.011E-02	-5.794E-05	-2.373E-02	0.00	
3.77	-80.47	-1.593E-02	-2.011E-02	-5.794E-05	-2.430E-02	0.00	
957	STAT75Z						
0.00	-80.38	-3.170E-02	1.571E-03	4.388E-05	-1.976E-03	0.00	
1.88	-80.38	-3.170E-02	1.571E-03	4.388E-05	-3.405E-03	0.00	
3.77	-80.38	-3.170E-02	1.571E-03	4.388E-05	-4.760E-03	0.00	
957	STAT75Y						
0.00	-4.63	-1.861E-03	-2.584E-03	4.207E-05	9.044E-03	0.00	
1.88	-4.63	-1.771E-03	-2.494E-03	4.117E-05	4.355E-03	0.00	
3.77	-4.63	-1.791E-03	-2.594E-03	4.117E-05	-8.148E-04	0.00	
957	STAT98Y						

		0.00	-68.26	-2.920E-02	1.170E-03	3.803E-05	-1.446E-03	0.00
		1.88	-68.26	-2.920E-02	1.170E-03	3.803E-05	-2.583E-03	0.00
		3.77	-68.26	-2.920E-02	1.170E-03	3.803E-05	-3.664E-03	0.00
957	STAT98Y							
		0.00	-7.07	-2.692E-03	-2.342E-02	3.260E-05	7.926E-03	0.00
		1.88	-7.07	-2.692E-03	-2.342E-02	3.260E-05	3.880E-03	0.00
		3.77	-7.07	-2.692E-03	-2.342E-02	3.260E-05	-2.507E-04	0.00
957	RUZY							
		0.00	-13.73	1.428E-05	-2.164E-02	-3.184E-05	7.421E-03	0.00
		1.88	-13.73	1.428E-05	-2.164E-02	-3.184E-05	6.217E-03	0.00
		3.77	-13.73	1.428E-05	-2.164E-02	-3.184E-05	4.877E-03	0.00
957	09G MAX							
		0.00	20.14	1.467E-02	1.548E-02	8.726E-05	1.217E-02	0.00
		1.88	20.14	1.467E-02	1.548E-02	8.726E-05	1.096E-02	0.00
		3.77	20.14	1.467E-02	1.548E-02	8.726E-05	1.036E-02	0.00
957	09G MIN							
		0.00	-39.65	-1.475E-02	-1.562E-02	-8.652E-05	-1.190E-02	0.00
		1.88	-39.65	-1.475E-02	-1.562E-02	-8.652E-05	-1.079E-02	0.00
		3.77	-39.65	-1.475E-02	-1.562E-02	-8.652E-05	-1.029E-02	0.00
1418	DUSEY							
		0.00	0.00	8.53	0.00	-4.371E-05	0.00	4.15
		3.1E-01	0.00	8.90	0.00	-4.371E-05	0.00	1.43
		6.3E-01	0.00	9.27	0.00	-4.371E-05	0.00	-1.41
		9.4E-01	0.00	9.64	0.00	-4.371E-05	0.00	-4.36
		1.25	0.00	10.01	0.00	-4.371E-05	0.00	-7.43
1418	DINAMIK MAX							
		0.00	0.00	37.99	0.00	6.885E-04	0.00	3.95
		3.1E-01	0.00	38.33	0.00	6.885E-04	0.00	8.07
		6.3E-01	0.00	38.67	0.00	6.885E-04	0.00	12.20
		9.4E-01	0.00	39.01	0.00	6.885E-04	0.00	16.22
		1.25	0.00	39.35	0.00	6.885E-04	0.00	20.14
1418	DINAMIK MIN							
		0.00	0.00	-13.73	0.00	-2.677E-03	0.00	3.67
		3.1E-01	0.00	-13.38	0.00	-2.677E-03	0.00	-8.14
		6.3E-01	0.00	-13.04	0.00	-2.677E-03	0.00	-20.17
		9.4E-01	0.00	-12.70	0.00	-2.677E-03	0.00	-32.31
		1.25	0.00	-12.36	0.00	-2.677E-03	0.00	-44.55
1418	STAT75X							
		0.00	0.00	47.76	0.00	-6.230E-04	0.00	2.40
		3.1E-01	0.00	47.98	0.00	-6.230E-04	0.00	-12.56
		6.3E-01	0.00	48.19	0.00	-6.230E-04	0.00	-27.59
		9.4E-01	0.00	48.41	0.00	-6.230E-04	0.00	-42.68
		1.25	0.00	48.63	0.00	-6.230E-04	0.00	-57.85
1418	STAT75Y							
		0.00	0.00	14.80	0.00	-3.870E-04	0.00	2.63
		3.1E-01	0.00	15.02	0.00	-3.870E-04	0.00	-2.03
		6.3E-01	0.00	15.24	0.00	-3.870E-04	0.00	-6.75
		9.4E-01	0.00	15.46	0.00	-3.870E-04	0.00	-11.55
		1.25	0.00	15.68	0.00	-3.870E-04	0.00	-16.42
1418	STAT98X							
		0.00	0.00	38.97	0.00	-4.953E-04	0.00	2.40
		3.1E-01	0.00	39.19	0.00	-4.953E-04	0.00	-9.81
		6.3E-01	0.00	39.41	0.00	-4.953E-04	0.00	-22.09
		9.4E-01	0.00	39.63	0.00	-4.953E-04	0.00	-34.44
		1.25	0.00	39.84	0.00	-4.953E-04	0.00	-46.86
1418	STAT98Y							
		0.00	0.00	12.88	0.00	-3.038E-04	0.00	2.58
		3.1E-01	0.00	13.10	0.00	-3.038E-04	0.00	-1.48
		6.3E-01	0.00	13.32	0.00	-3.038E-04	0.00	-5.61
		9.4E-01	0.00	13.54	0.00	-3.038E-04	0.00	-9.80
		1.25	0.00	13.75	0.00	-3.038E-04	0.00	-14.07
1418	RUZY							
		0.00	0.00	9.99	0.00	4.117E-04	0.00	3.79
		3.1E-01	0.00	10.32	0.00	4.117E-04	0.00	6.117E-01
		6.3E-01	0.00	10.65	0.00	4.117E-04	0.00	-2.66
		9.4E-01	0.00	10.98	0.00	4.117E-04	0.00	-6.04
		1.25	0.00	11.30	0.00	4.117E-04	0.00	-9.53
1418	09G MAX							
		0.00	0.00	19.19	0.00	1.067E-03	0.00	1.34
		3.1E-01	0.00	19.39	0.00	1.067E-03	0.00	5.60
		6.3E-01	0.00	19.59	0.00	1.067E-03	0.00	9.86
		9.4E-01	0.00	19.79	0.00	1.067E-03	0.00	14.07
		1.25	0.00	19.99	0.00	1.067E-03	0.00	18.22
1418	09G MIN							
		0.00	0.00	-13.96	0.00	-1.090E-03	0.00	1.16
		3.1E-01	0.00	-13.76	0.00	-1.090E-03	0.00	-4.79

		6.3E-01	0.00	-13.56	0.00	-1.090E-03	0.00	-10.88
		9.4E-01	0.00	-13.37	0.00	-1.090E-03	0.00	-17.04
		1.25	0.00	-13.17	0.00	-1.090E-03	0.00	-23.25
1462	DUSEY							
		0.00	-439.24	8.48	1.050E-02	1.016E-04	2.788E-01	14.39
		1.75	-439.24	8.48	1.050E-02	1.016E-04	2.368E-01	-5.116E-01
		3.50	-439.24	8.48	1.050E-02	1.016E-04	1.926E-01	-15.41
1462	DINAMIK MAX							
		0.00	-371.02	9.44	6.13	6.764E-03	11.99	18.59
		1.75	-371.02	9.44	6.13	6.764E-03	2.36	2.27
		3.50	-371.02	9.44	6.13	6.764E-03	7.00	-10.93
1462	DINAMIK MIN							
		0.00	-431.72	6.29	-3.64	-1.760E-03	-7.20	8.24
		1.75	-431.72	6.29	-3.64	-1.760E-03	-2.29	-3.23
		3.50	-431.72	6.29	-3.64	-1.760E-03	-11.65	-17.82
1462	STAT75X							
		0.00	-289.29	7.31	1.46	1.566E-03	2.91	15.23
		1.75	-289.29	7.31	1.46	1.566E-03	1.781E-01	1.24
		3.50	-289.29	7.31	1.46	1.566E-03	-2.55	-12.76
1462	STAT75Y							
		0.00	-223.57	4.41	8.92	1.002E-03	17.21	7.73
		1.75	-223.57	4.41	8.92	1.002E-03	4.303E-01	-1.094E-01
		3.50	-223.57	4.41	8.92	1.002E-03	-16.36	-7.94
1462	STAT98X							
		0.00	-285.79	6.90	1.18	1.241E-03	2.41	14.34
		1.75	-285.79	6.90	1.18	1.241E-03	2.062E-01	1.29
		3.50	-285.79	6.90	1.18	1.241E-03	-2.00	-11.77
1462	STAT98Y							
		0.00	-227.55	4.50	7.15	7.844E-04	14.19	7.86
		1.75	-227.55	4.50	7.15	7.844E-04	7.217E-01	-1.192E-01
		3.50	-227.55	4.50	7.15	7.844E-04	-12.75	-8.10
1462	RUZY							
		0.00	-371.72	7.12	4.11	-1.047E-03	7.59	12.20
		1.75	-371.72	7.12	4.11	-1.047E-03	-1.519E-01	-3.037E-01
		3.50	-371.72	7.12	4.11	-1.047E-03	-7.90	-12.81
1462	09G MAX							
		0.00	-115.72	3.42	3.25	2.759E-03	6.44	7.41
		1.75	-115.72	3.42	3.25	2.759E-03	1.56	1.63
		3.50	-115.72	3.42	3.25	2.759E-03	5.82	-2.16
1462	09G MIN							
		0.00	-154.63	1.40	-3.01	-2.705E-03	-5.86	7.771E-01
		1.75	-154.63	1.40	-3.01	-2.705E-03	-1.42	-1.90
		3.50	-154.63	1.40	-3.01	-2.705E-03	-6.14	-6.58

S T E E L	S T R E S S	C H E C K	O U T P U T	(EUROCODE 3-1993)
/-----MOMENT INTERACTION CHECK-----//				
FRAME	SECTION	COMBO	RATIO	AXL + B33 + B22
1D	ID			
29	HB900HC	DINAMIK (C)	1.125	+ 0.762 + 0.194 + 0.169
74	HE300-B	DUSEY (T)	0.649	+ 0.000 + 0.649 + 0.000
113	HE360-B	DINAMIK (T)	0.341	+ 0.000 + 0.341 + 0.000
957	2UPN300	DINAMIK (C)	0.357	+ 0.356 + 0.000 + 0.001
1418	HE450-B	STAT98X (T)	0.564	+ 0.000 + 0.564 + 0.000
1462	HB900HC	DINAMIK (C)	0.399	+ 0.275 + 0.074 + 0.050

J O I N T	R E A C T I O N S	F1	F2	F3	M1	M2	M3
18	G	27.1148	13.5092	1606.6328	-0.4983	-3.2858	9.201E-03
18	Q	23.7308	11.8211	1406.1036	-0.4360	-2.8757	8.050E-03
18	DEP75X	-321.3792	-2.6755	-1390.7723	-0.1623	-448.6115	5.8422
18	DEP75Y	-44.1173	-369.0937	-4039.5543	390.0552	7.7403	-5.4755
18	RUZY	-10.2321	-162.6730	-1464.8974	172.3953	10.4211	-2.4236
18	SPEC1	181.3343	194.1159	1624.5036	207.6761	246.6299	4.1854
124	G	0.42008	0.1659	1568.5608	-0.4679	0.3470	1.407E-05
124	Q	0.42008	0.1453	1372.8670	-0.4094	0.3038	1.231E-05
124	DEP75X	-69.5302	1.4240	-6.6559	0.0791	-383.1240	2.189E-03
124	DEP75Y	1.8436	-48.0425	-1.51959	390.3329	8.6087	1.129E-03
124	RUZY	3.9641	-16.9771	-41.5391	171.7779	19.3853	1.949E-03
124	SPEC1	5.347536	28.8946	50.7310	103.7905	130.3495	9.313E-03
125	G	0.1653	0.1653	1511.1139	-0.4673	-0.0662	1.407E-05
125	Q	0.1653	0.1447	1372.8613	-0.4089	-0.0579	1.231E-05
125	DEP75X	-69.5348	1.4241	-6.6585	0.0791	-383.3499	2.189E-03
125	DEP75Y	1.8431	-48.0421	-1.5194	390.3326	8.6081	1.129E-03
125	RUZY	3.9640	-16.9763	-41.5394	171.7697	19.3851	1.949E-03
125	SPEC1	5.347164	28.8931	50.7307	103.7890	130.3876	9.313E-03

178	G	10.3855	3.8861	1132.7608	-3.9467	9.9250	1.407E-05
178	Q	9.0923	3.4022	991.6982	-3.4552	8.6893	1.231E-05
178	DEP75X	-55.5966	-3.2368	-644.0323	24.9941	-369.3761	2.189E-03
178	DEP75Y	1.6056	-58.8635	-624.2648	400.0133	8.3724	1.129E-03
178	RUZY	3.2979	-33.1907	-215.2528	194.5698	18.7271	1.949E-03
178	SPEC1	45.9081	47.3344	346.7976	243.9945	222.6332	9.313E-03
179	G	14.2401	0.6677	1731.1814	-0.8353	13.5974	1.407E-05
179	Q	12.4652	0.5834	1515.3673	-0.7300	11.9027	1.231E-05
179	DEP75X	-54.0673	-3.8461	-481.7124	25.6084	-379.0071	2.189E-03
179	DEP75Y	0.7420	-70.9676	-540.0624	412.1225	1.9992	1.129E-03
179	RUZY	1.3318	-36.3860	-192.1788	198.8228	7.2707	1.949E-03
179	SPEC1	42.6975	53.8245	291.3047	250.9482	210.9773	9.313E-03
180	G	0.4109	0.0974	1577.5199	-0.2831	0.1609	1.407E-05
180	Q	0.3596	0.0852	1380.7521	-0.2477	0.1409	1.231E-05
180	DEP75X	-49.4940	-4.2715	-134.9480	26.0137	-382.1617	2.189E-03
180	DEP75Y	1.5240	-74.0827	-9.1775	415.0333	-1.3047	1.129E-03
180	RUZY	0.5921	-37.8862	-3.0224	200.2246	-0.2821	1.949E-03
180	SPEC1	40.4863	55.5641	55.8230	252.6554	209.6053	9.313E-03
181	G	14.1800	-0.4796	1737.0608	0.2753	13.4407	1.407E-05
181	Q	12.4126	-0.4186	1520.5152	0.2400	11.7655	1.231E-05
181	DEP75X	-57.7509	-4.2866	-432.7375	26.0351	-397.9327	2.189E-03
181	DEP75Y	1.7897	-70.9824	477.1136	412.1408	-4.9089	1.129E-03
181	RUZY	-0.3544	-36.3900	170.6789	198.8287	-8.0354	1.949E-03
181	SPEC1	44.5626	53.8280	270.9010	250.9561	221.0973	9.313E-03
182	G	10.2133	-3.7117	1139.4157	3.4006	9.5220	1.407E-05
182	Q	8.9416	-3.2495	997.5252	2.9774	8.3365	1.231E-05
182	DEP75X	-64.7473	-3.3258	-582.4479	25.0804	-415.0481	2.189E-03
182	DEP75Y	1.2177	-58.8531	561.8394	400.0076	-10.9975	1.129E-03
182	RUZY	-2.1883	-31.9060	194.9349	193.8136	-19.3633	1.949E-03
182	SPEC1	50.3084	47.3287	331.3908	243.9915	245.3687	9.313E-03
183	G	-4.8941	7.7615	1730.2508	-7.7713	-4.8560	1.407E-05
183	Q	-4.2862	6.7913	1514.4131	-6.7999	-4.2526	1.231E-05
183	DEP75X	-66.6791	-1.1687	-537.2439	12.2675	-380.4658	2.189E-03
183	DEP75Y	2.0026	-54.2635	-434.3556	390.4064	8.7649	1.129E-03
183	RUZY	3.8981	-31.3182	-142.9546	182.6816	19.3265	1.949E-03
183	SPEC1	51.7052	42.2049	262.3704	217.0701	228.8393	9.313E-03
184	G	9.7561	32.1531	1843.5075	4.2045	-16.3178	6.677E-03
184	Q	8.5367	28.1427	1613.4660	3.6787	-14.2833	5.841E-03
184	DEP75X	-327.6207	-40.3007	-4901.8006	9.1841	-411.8318	5.5491
184	DEP75Y	-34.0798	-490.0602	-4665.1745	449.6414	14.7548	-5.5516
184	RUZY	-7.1073	-223.9018	-1763.8820	207.5068	12.8501	-2.5494
184	SPEC1	176.6682	264.2006	2621.2663	248.8113	231.1825	4.2032
185	G	0.3986	-33.1159	1639.3111	0.1333	0.1322	-5.086E-03
185	Q	0.3489	-28.9838	1434.7724	0.1163	0.1158	-4.450E-03
185	DEP75X	-51.7257	-3.3490	-2150.1550	16.3939	-391.3291	-5.7225
185	DEP75Y	1.5355	-495.0697	3743.5855	450.5645	-2.3094	-0.0254
185	RUZY	0.3418	-227.2108	1499.3904	207.8870	-2.3952	0.0188
185	SPEC1	42.5818	268.9027	1862.7471	248.9389	215.2660	2.9743
186	G	11.4969	5.9243	1873.6554	-6.0003	-16.4454	4.620E-03
186	Q	10.0605	5.1834	1639.8616	-5.2499	-14.3951	4.042E-03
186	DEP75X	-350.2486	-5.2425	-5442.0887	16.4144	-425.1911	-0.1400
186	DEP75Y	20.4494	-86.2519	2151.6273	429.3707	-11.3964	-5.5647
186	RUZY	1.6314	-41.5359	699.8427	197.8429	-10.8682	-2.5092
186	SPEC1	187.6976	57.5896	2412.2603	237.2123	237.3551	2.8962
187	G	-5.0766	-7.4989	1740.5977	7.0013	-5.2696	1.407E-05
187	Q	-4.4460	-6.5615	1523.4707	6.1261	-4.6147	1.231E-05
187	DEP75X	-77.0980	0.3658	-529.6773	10.7821	-417.4131	2.189E-03
187	DEP75Y	0.5964	-53.9998	359.7263	390.1578	-11.6096	1.129E-03
187	RUZY	-0.18633	-29.0210	117.5752	181.2927	-20.0358	1.949E-03
187	SPEC1	56.6468	41.1983	262.5893	216.9939	252.2150	9.313E-03
188	G	-55.7363	0.1600	1556.8775	-0.4569	3.7038	-4.647E-03
188	Q	-55.1549	0.1401	1362.5909	-0.3999	3.2416	-4.066E-03
188	DEP75X	-316.5666	0.9635	1090.7444	4.5379	-440.5479	0.1302
188	DEP75Y	35.4555	-51.0575	-1531.1099	590.0776	-4.4608	5.5581
188	RUZY	18.6931	-74.8910	-910.3881	176.3286	6.0299	2.4998
188	SPEC1	181.8590	40.3918	1206.4133	211.2153	211.8228	2.8822

189	G	7.6616	0.1618	1864.2019	-0.4638	6.1172	1.800E-03
189	Q	6.7064	0.1416	1631.5843	-0.4059	5.3544	1.575E-03
189	DEP75X	-683.3400	0.9604	-629.1140	4.5584	-469.3260	0.1100
189	DEP75Y	-11.8041	-52.5329	2358.8277	398.7361	-1.4339	-0.2201
189	RUZY	-14.9415	-25.4453	792.9734	179.2372	-7.9285	-0.0229
189	SPEC1	374.9652	42.0368	954.0550	215.1400	257.6681	0.4667
190	G	0.4179	0.1599	0.1570	-0.4491	0.1790	1.407E-05
190	Q	0.3657	0.1400	0.1374	-0.3931	0.1567	1.231E-05
190	DEP75X	-51.4292	0.9934	-0.0276	4.3126	-381.2251	2.189E-03
190	DEP75Y	1.4970	-50.3595	0.0467	382.5283	-0.2874	1.129E-03
190	RUZY	0.8167	-24.4797	0.0166	172.0300	1.5585	1.949E-03
190	SPEC1	41.4416	40.0691	0.0813	206.2747	209.2491	9.313E-03
191	G	6.8843	-13.1722	1319.4491	-0.4984	0.1614	1.967E-03
191	Q	6.0247	-11.5262	1154.7507	-0.4362	0.1413	1.722E-03
191	DEP75X	-259.8750	1.8629	-1655.5576	-0.1623	-390.5539	-5.8170
191	DEP75Y	2.1185	-365.4725	2059.4551	390.3474	-0.8919	-5.5301
191	RUZY	1.3253	-161.5605	832.5114	172.5189	0.4491	-2.3370
191	SPEC1	144.3520	193.4623	1139.0519	207.8099	213.9574	4.0215
192	G	5.8499	7.8684	1753.8029	-7.9738	5.5448	1.407E-05
192	Q	5.1227	6.8849	1535.0228	-6.9772	4.8557	1.231E-05
192	DEP75X	-66.6683	3.8707	495.0149	-7.9671	-380.4701	2.189E-03
192	DEP75Y	1.5736	-54.3505	-431.9869	382.5833	8.3500	1.129E-03
192	RUZY	3.7464	-29.2891	-153.9083	167.0500	19.1803	1.949E-03
192	SPEC1	51.6691	41.7094	277.1479	203.0484	228.8095	9.313E-03
194	G	-10.3070	27.3174	1997.5965	8.1736	17.0395	-2.317E-03
194	Q	-9.0182	23.9085	1748.2675	7.1524	14.9150	-2.028E-03
194	DEP75X	-325.7664	45.7472	4792.7202	1.6869	-414.6053	5.7103
194	DEP75Y	45.7679	-388.5895	-4988.6248	426.1555	-9.2931	5.4832
194	RUZY	21.9288	-165.4613	-1890.3797	183.4707	3.7508	2.3029
194	SPEC1	178.6071	200.3078	2830.9678	225.6721	231.1360	3.9743
198	G	-27.2807	-26.2874	2231.9321	-9.6197	10.7805	-9.393E-03
198	Q	-23.8753	-23.0091	1953.4085	-8.4178	9.4367	-8.218E-03
198	DEP75X	-504.9239	-29.8695	5879.0359	-17.9189	-457.1330	-5.9702
198	DEP75Y	-35.8211	-448.4338	5724.7105	427.0294	1.6066	5.6671
198	RUZY	-20.4578	-190.4891	2145.6712	183.8068	-6.5502	2.4159
198	SPEC1	269.2477	226.8984	3163.8424	226.7946	252.4944	4.2840
200	G	5.6726	-7.5024	1764.1794	6.9062	5.1363	1.407E-05
200	Q	4.9675	-6.5646	1544.1072	6.0429	4.4981	1.231E-05
200	DEP75X	-77.0387	2.2237	576.9020	-6.3728	-427.3722	2.189E-03
200	DEP75Y	1.0238	-54.4361	494.7326	382.6726	-11.1964	1.129E-03
200	RUZY	-2.7123	-27.1242	174.2955	165.7890	-19.8904	1.949E-03
200	SPEC1	56.6637	41.6691	305.6221	203.2215	252.1865	9.313E-03
202	G	-9.4168	4.0572	1157.7935	-4.3491	-9.2251	1.407E-05
202	Q	-8.2446	3.5520	1013.6044	-3.8074	-8.0766	1.231E-05
202	DEP75X	-55.5680	5.8182	579.8354	-20.5817	-369.3636	2.189E-03
202	DEP75Y	1.5111	-58.5516	-566.9997	380.7326	8.2813	1.129E-03
202	RUZY	3.2629	-27.7290	-196.6642	156.5096	18.6941	1.949E-03
202	SPEC1	45.8852	45.7081	332.1588	212.6306	222.6184	9.313E-03
203	G	-13.3858	0.8396	1748.7716	-1.2386	-13.1457	1.407E-05
203	Q	-11.7175	0.7338	1530.7592	-1.0830	-11.5071	1.231E-05
203	DEP75X	-54.0243	6.1351	434.3253	-20.9086	-378.9763	2.189E-03
203	DEP75Y	2.2357	-69.9674	-477.9443	392.1525	3.4452	1.129E-03
203	RUZY	1.8958	-29.7646	-160.3804	159.6010	7.8169	1.949E-03
203	SPEC1	42.7271	51.1678	261.0907	218.4602	211.0173	9.313E-03
204	G	0.4097	0.2816	1584.4778	-0.6983	0.1598	1.407E-05
204	Q	0.3586	0.2465	1386.8364	-0.6111	0.1399	1.231E-05
204	DEP75X	-49.4837	6.5008	136.6591	-0.11568	-380.11566	2.189E-03
204	DEP75Y	1.5040	-71.8835	9.5365	594.8688	-1.1646	1.129E-03
204	RUZY	0.5921	-30.9148	1.01939	160.7098	-0.1781	1.949E-03
204	SPEC1	40.4313	51.6523	56.4367	119.9043	109.6074	9.313E-03
205	G	-15.4755	-8.1902	1760.1931	-8.1449	-15.3295	1.407E-05
205	Q	-11.7947	-10.1529	1540.9309	-8.1778	-11.6646	1.231E-05
205	DEP75X	-27.6303	6.5764	488.7988	-0.1361	-397.46797	2.189E-03
205	DEP75Y	0.5845	-68.9364	536.9713	59.1.1.1.	-8.1774	1.129E-03
205	RUZY	-2.7837	-29.7516	179.5534	159.5509	-8.4556	1.949E-03
205	SPEC1	44.5545	51.1736	73.6485	118.4689	111.0567	9.313E-03

206	G	-9.5912	-3.5379	1164.8453	2.9961	-9.6304	1.407E-05
206	Q	-8.3972	-3.0974	1019.7789	2.6232	-8.4314	1.231E-05
206	DEP75X	-64.7024	5.9050	647.8016	-20.6659	-415.0219	2.189E-03
206	DEP75Y	1.3161	-58.5407	628.9406	380.7265	-10.9028	1.129E-03
206	RUZY	-2.1517	-26.4453	216.7818	155.7540	-19.3288	1.949E-03
206	SPEC1	50.2833	45.7063	349.1284	212.6311	245.3519	9.313E-03
209	G	-6.7097	-9.5803	1935.1607	-0.8219	0.1566	-4.844E-03
209	Q	-5.8718	-8.3832	1693.6381	-0.7196	0.1371	-4.239E-03
209	DEP75X	-268.8266	4.1036	4389.7584	-8.9520	-398.5540	0.1777
209	DEP75Y	-2.8123	-678.5479	203.5354	468.8032	-0.9881	5.5739
209	RUZY	-0.5808	-291.3187	67.1642	201.0560	0.3666	2.4788
209	SPEC1	147.0049	352.2681	1764.4414	244.0495	218.1135	2.8477

## EK C

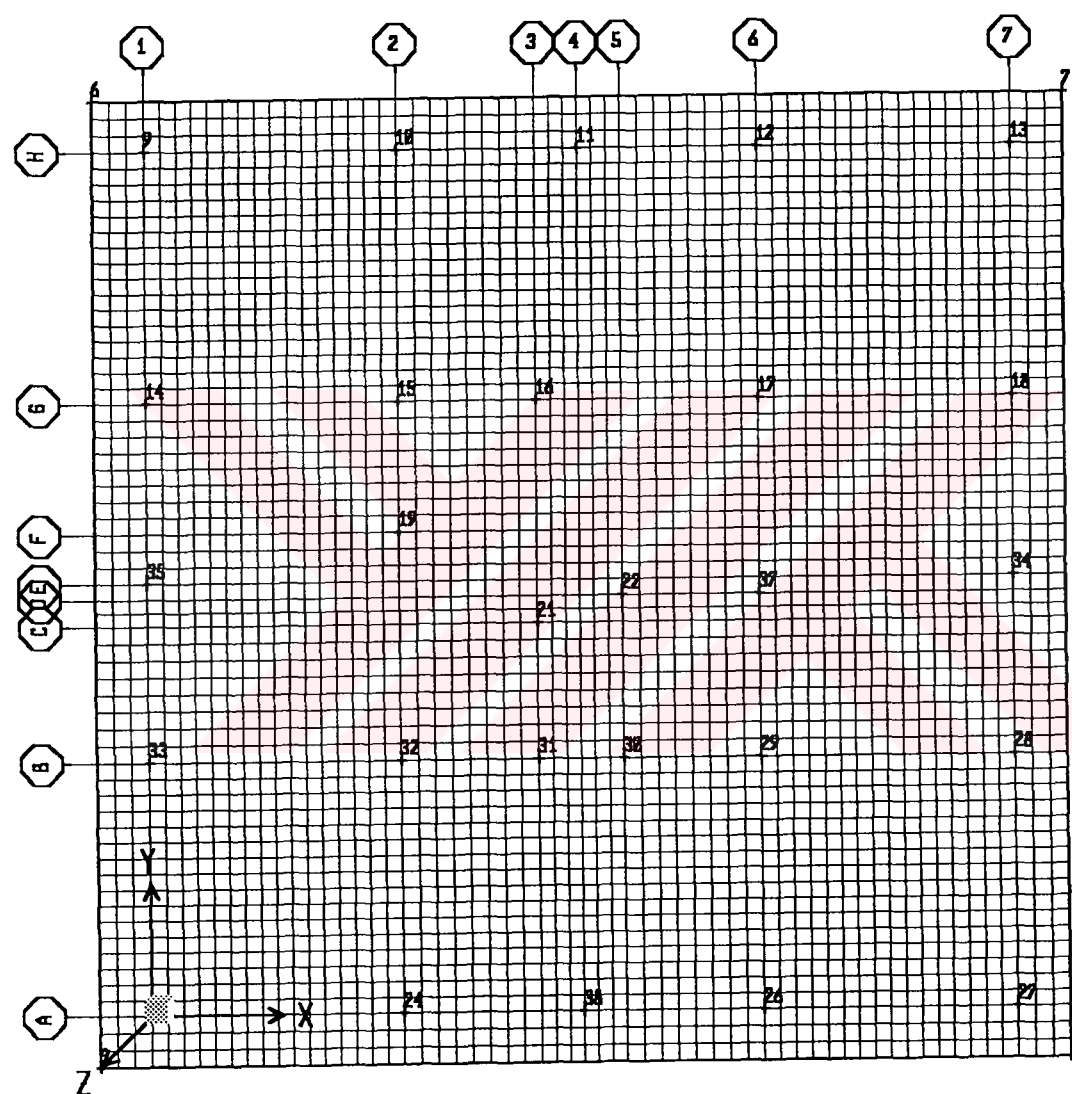
Y - S T R I P    R E I N F O R C I N G    (for whole strip in Sq-cm)

Y-STRIP ID	STRIP WIDTH	STATION Y-ORDINATE	TOP-REBAR LEFT OF Y	TOP-REBAR RIGHT OF Y	BOT-REBAR LEFT OF Y	BOT-REBAR RIGHT OF Y
18	4,500	-1,500		0,000		
18	4,500	-1,000			5,002	4,382
18	4,500	-0,500			20,039	16,622
18	4,500	0,000			45,640	47,285
18	4,500	0,463	2,623	1,860	16,258	16,525
18	4,500	0,939	18,634	18,495	1,093	1,098
18	4,500	1,406	34,801	34,446		
18	4,500	1,873	49,763	49,605		
18	4,500	2,306	59,837	59,954		
18	4,500	2,763	65,726	66,144		
18	4,500	3,219	67,682	68,386		
18	4,500	3,675	65,763	66,758		
18	4,500	4,131	64,852	61,114		
18	4,500	4,588	49,707	51,091		
18	4,500	5,044	34,939	36,946		
18	4,500	5,500	15,051	17,594		
18	4,500	5,967	4,503	6,109	16,155	14,688
18	4,500	6,423		0,000	50,191	50,191
18	4,500	6,880			50,547	50,547
18	4,500	7,350			165,100	161,139
18	4,500	7,800			89,312	91,330
18	4,500	8,350			41,834	46,067
18	4,500	8,850			11,156	14,685
18	4,500	9,350	38,806	7,405	0,000	1,071
18	4,500	9,850	70,459	18,333		
18	4,500	10,350	24,288	22,710		
18	4,500	10,850	70,600	19,621		
18	4,500	11,350	9,376	10,257	0,000	
18	4,500	11,750			7,391	8,381
18	4,500	12,150			28,908	30,905
18	4,500	12,600	4,777	2,878	8,473	9,361
18	4,500	13,083	16,318	12,631	4,960	4,100
18	4,500	13,567	24,381	21,567	0,005	1,953
18	4,500	14,050	28,310	26,375	0,000	
18	4,500	14,525	28,760	28,018		
18	4,500	15,000	26,728	26,627		
18	4,500	15,475	21,088	21,591		
18	4,500	15,950	11,686	12,801	0,000	
18	4,500	16,475	27,145	3,135	4,031	5,558
18	4,500	16,900			20,073	14,447
18	4,500	17,375			44,277	41,070
18	4,500	17,850			78,648	78,104
18	4,500	18,313			41,710	41,914
18	4,500	18,775	0,000		14,685	15,101
18	4,500	19,238	6,439	5,794	5,173	4,610
18	4,500	19,700	17,731	12,813		
18	4,500	20,156	35,845	36,307		
18	4,500	20,613	46,078	46,711		
18	4,500	21,069	53,538	54,081		
18	4,500	21,525	57,664	58,456		
18	4,500	21,981	58,958	59,774		
18	4,500	22,438	57,051	57,914		
18	4,500	22,894	51,651	51,811		
18	4,500	23,350	47,577	47,494		
18	4,500	23,813	39,101	39,771		
18	4,500	24,275	34,477	10,578		
18	4,500	24,738			11,091	11,248
18	4,500	25,200			49,411	49,194
18	4,500	25,663			4,031	4,164
18	4,500	26,125			4,031	4,164
18	4,500	26,588			4,031	4,164

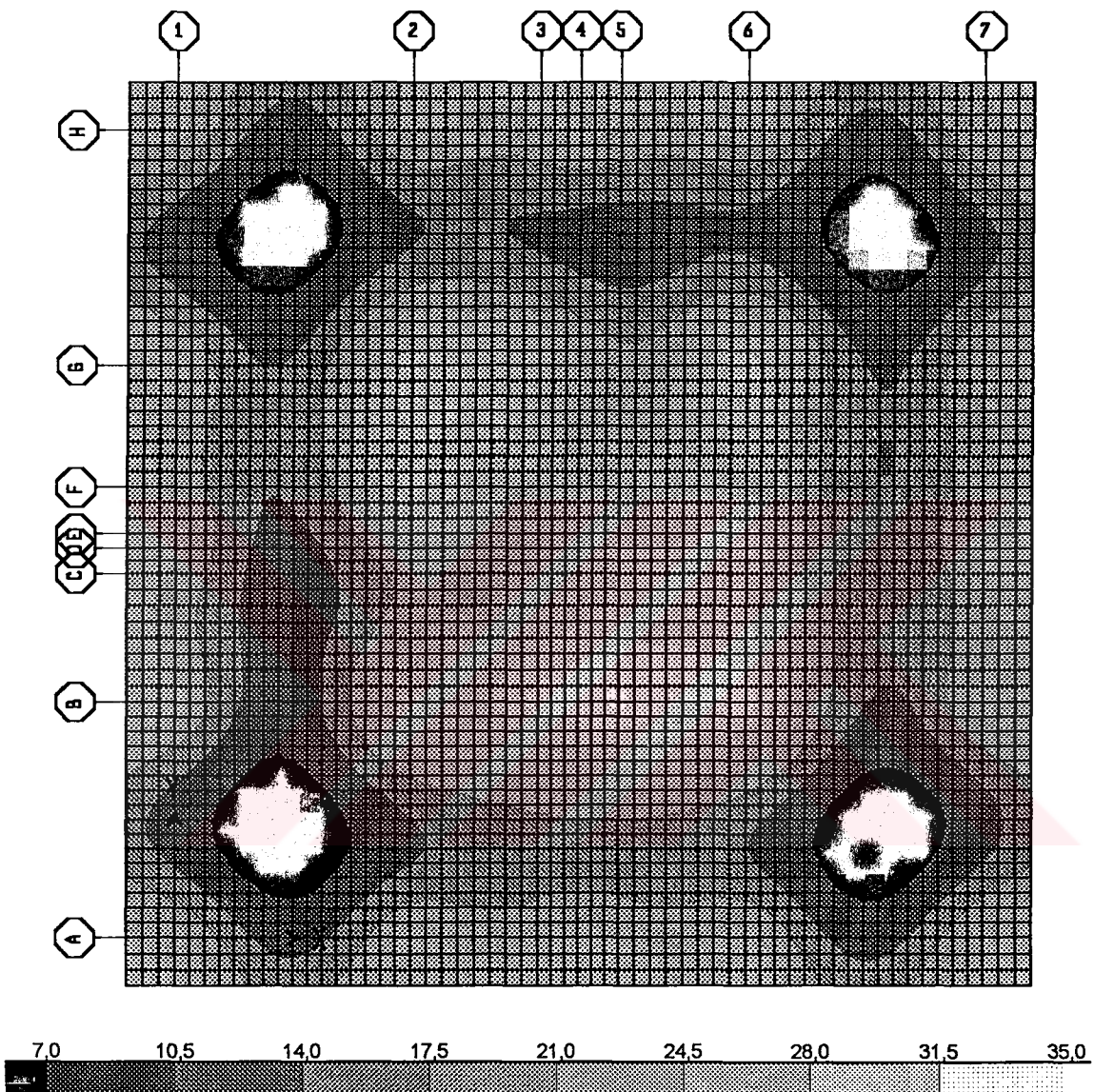
## Y - S T R I P D E S I G N M O M E N T S

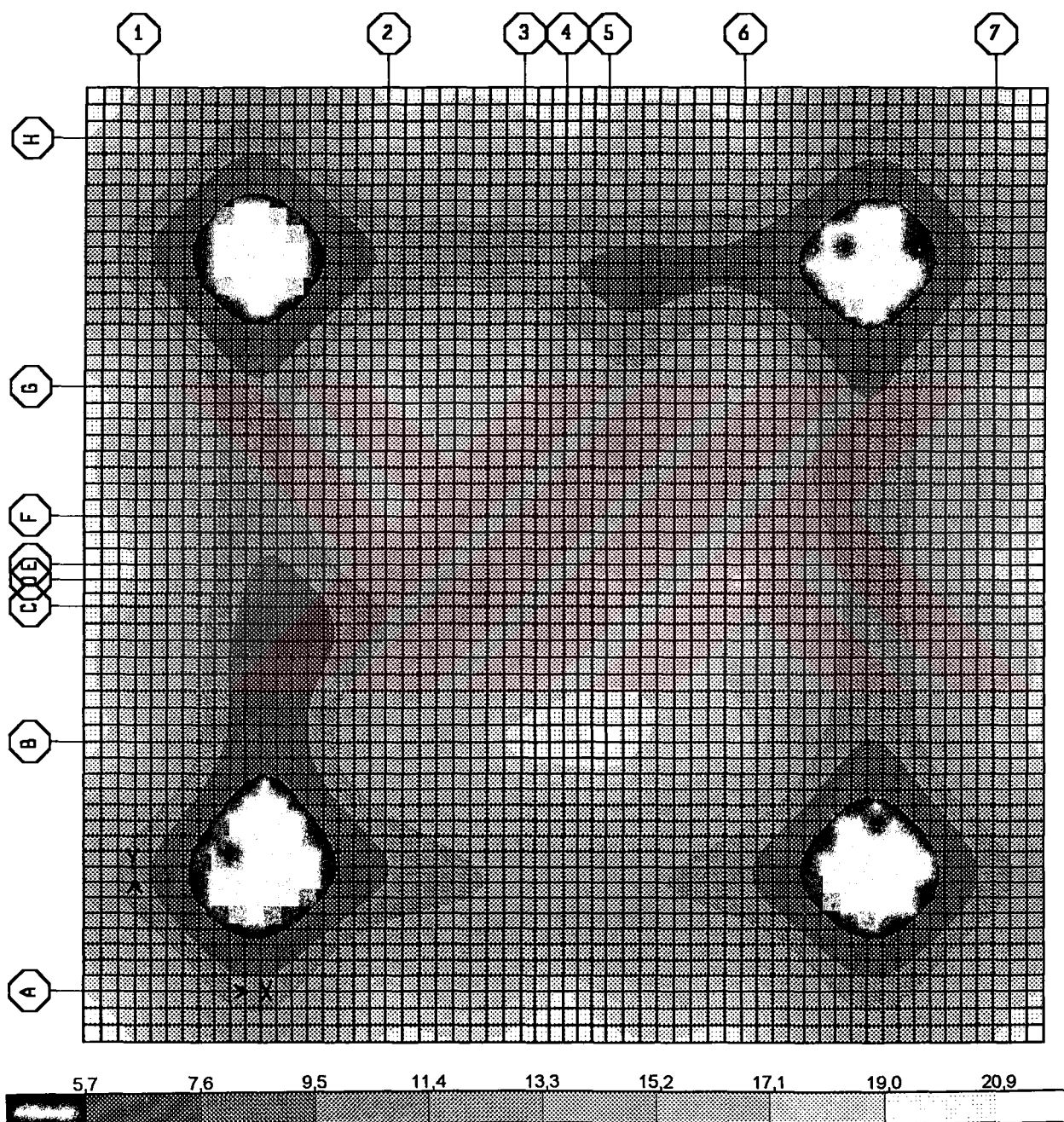
Y-STRIP ID	STRIP WIDTH	STATION Y-ORDINATE	TOP-MOMENT LEFT OF Y	TOP-MOMENT RIGHT OF Y	BOT-MOMENT LEFT OF Y	BOT-MOMENT RIGHT OF Y
18	4,500	-1,500		-1,184 97GQES		
18	4,500	-1,000			17,370 14G16Q	15,177 14G16Q
18	4,500	-0,500			68,968 14G16Q	67,546 14G16Q
18	4,500	0,000			155,453 14G16Q	160,951 14G16Q
18	4,500	0,463	-63,083 97GQES	-63,449 97GQES	56,044 14G16Q	56,963 97GQES
18	4,500	0,926	-64,168 97GQES	-63,633 97GQES	57,733 14G16Q	53,809 97GQES
18	4,500	1,388	-114,129 14G16Q	-117,861 14G16Q		
18	4,500	1,851	-169,217 14G16Q	-163,699 14G16Q		
18	4,500	2,314	-210,5634 14G16Q	-210,310,7 14G16Q		
18	4,500	2,767	-222,037 14G16Q	-223,406 14G16Q		
18	4,500	3,219	-228,464 14G16Q	-230,771 14G16Q		
18	4,500	3,673	-232,161 14G16Q	-235,362 14G16Q		
18	4,500	4,131	-202,685 14G16Q	-206,850 14G16Q		
18	4,500	4,588	-169,027 14G16Q	-174,303 14G16Q		
18	4,500	5,044	-119,526 14G16Q	-126,291 14G16Q		
18	4,500	5,500	-51,908 14G16Q	-60,614 14G16Q		
18	4,500	5,963	-15,216 97GQES	-21,142 97GQES	67,148 97GQAS	58,108 97GQAS
18	4,500	6,425		-0,945 97GQES	180,620 97GQAS	170,906 97GQAS
18	4,500	6,888			331,568 97GQAS	327,093 97GQAS
18	4,500	7,350			634,911 97GQAS	633,004 14G16Q
18	4,500	7,813			68,813 14G16Q	308,466 14G16Q
18	4,500	8,276			140,713 14G16Q	156,885 14G16Q
18	4,500	8,730			140,692 14G16Q	140,651 14G16Q
18	4,500	9,193	-30,447 14G16Q	-35,617 14G16Q	10,992 97GQES	4,407 14G16Q
18	4,500	9,656	-70,400 14G16Q	-63,141 14G16Q		
18	4,500	10,119	-83,450 14G16Q	-78,077 14G16Q		
18	4,500	10,583	-70,386 14G16Q	-67,541 14G16Q		
18	4,500	11,046	-32,406 14G16Q	-35,440 97GQES		
18	4,500	11,509			13,568 14G16Q	11,176 97GQES
18	4,500	11,972			140,160 14G16Q	139,000 14G16Q
18	4,500	12,435			13,156 14G16Q	12,907 14G16Q
18	4,500	12,898	-13,441 97GQES	-13,441 97GQES	13,156 14G16Q	13,156 14G16Q
18	4,500	13,361	-13,441 97GQES	-13,441 97GQES	13,156 14G16Q	13,156 97GQES
18	4,500	13,824	-13,441 97GQES	-13,441 97GQES	13,156 14G16Q	13,156 97GQES
18	4,500	14,287	-13,441 97GQES	-13,441 97GQES	13,156 14G16Q	13,156 97GQES

18	4,500	15,000	-91,743 14G16Q	-91,400 14G16Q		
<b>Y - S T R I P      D E S I G N      M O M E N T S</b>						
Y-STRIP ID	STRIP WIDTH	STATION Y-ORDINATE	TOP-MOMENT LEFT OF Y	TOP-MOMENT RIGHT OF Y	BOT-MOMENT LEFT OF Y	BOT-MOMENT RIGHT OF Y
18	4,500	15,475	-72,549 14G16Q	-74,263 14G16Q		
18	4,500	15,950	-40,356 14G16Q	-44,185 14G16Q	0,533 97GQES	
18	4,500	16,425	-7,782 14G16Q	-10,828 14G16Q	13,894 97GQAS	12,326 97GQAS
18	4,500	16,900			68,898 97GQAS	63,512 97GQAS
18	4,500	17,375			151,066 14G16Q	143,504 14G16Q
18	4,500	17,850			264,280 14G16Q	262,510 14G16Q
18	4,500	18,313			140,620 14G16Q	142,981 14G16Q
18	4,500	18,775	-0,373 97GQES	-20,073 14G16Q	50,642 97GQAS	52,079 14G16Q
18	4,500	19,238	-11,153 14G16Q	-20,073 14G16Q	11,341 97GQAS	9,047 97GQAS
18	4,500	19,700	-78,149 14G16Q	-78,461 14G16Q		
18	4,500	20,166	-111,500 14G16Q	-11,4,139 14G16Q		
18	4,500	20,613	-156,754 14G16Q	-158,037 14G16Q		
18	4,500	21,069	-181,073 14G16Q	-183,576 14G16Q		
18	4,500	21,525	-195,448 14G16Q	-198,068 14G16Q		
18	4,500	21,981	-199,730 14G16Q	-202,425 14G16Q		
18	4,500	22,438	-193,354 14G16Q	-196,276 14G16Q		
18	4,500	22,894	-175,437 14G16Q	-178,729 14G16Q		
18	4,500	23,350	-144,535 14G16Q	-148,278 14G16Q		
18	4,500	23,813	-97,764 14G16Q	-101,893 14G16Q		
18	4,500	24,275	-32,584 14G16Q	-36,537 14G16Q		
18	4,500	24,738			54,783 14G16Q	51,476 14G16Q
18	4,500	25,200			168,063 14G16Q	165,953 14G16Q
18	4,500	25,700			75,719 14G16Q	74,771 14G16Q
18	4,500	26,200			19,340 14G16Q	19,140 14G16Q
18	4,500	26,700	-3,404 97GQAS	-3,770 14G16Q		

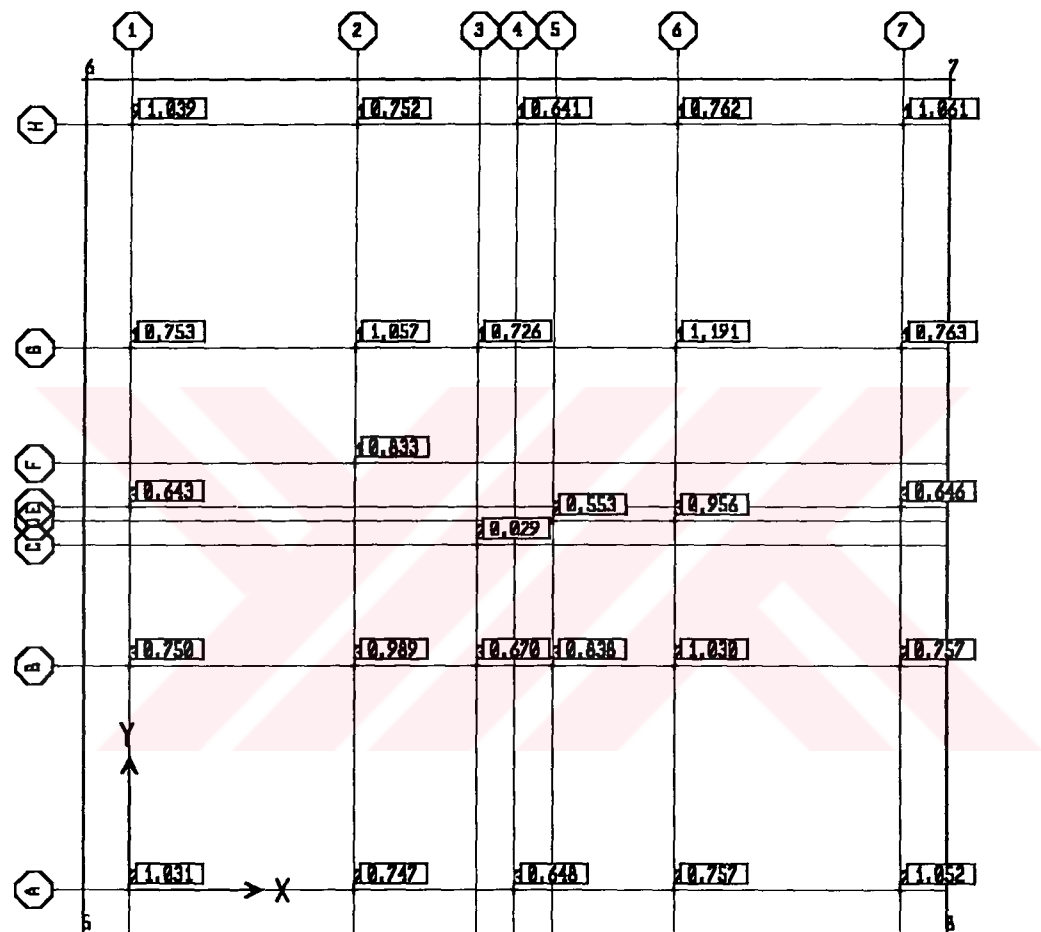


Şekil C.1 Sonlu Eleman Ağacı

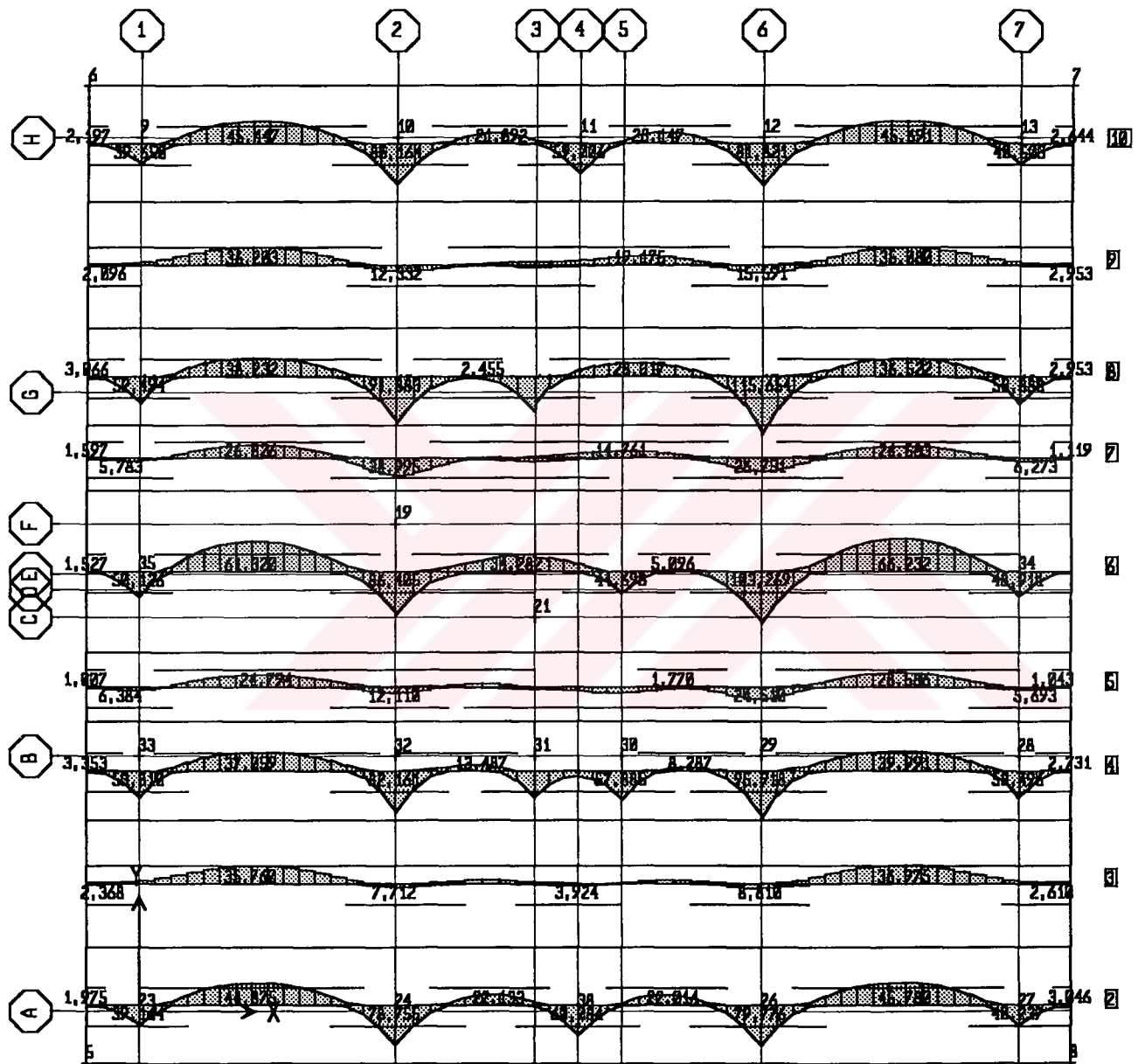




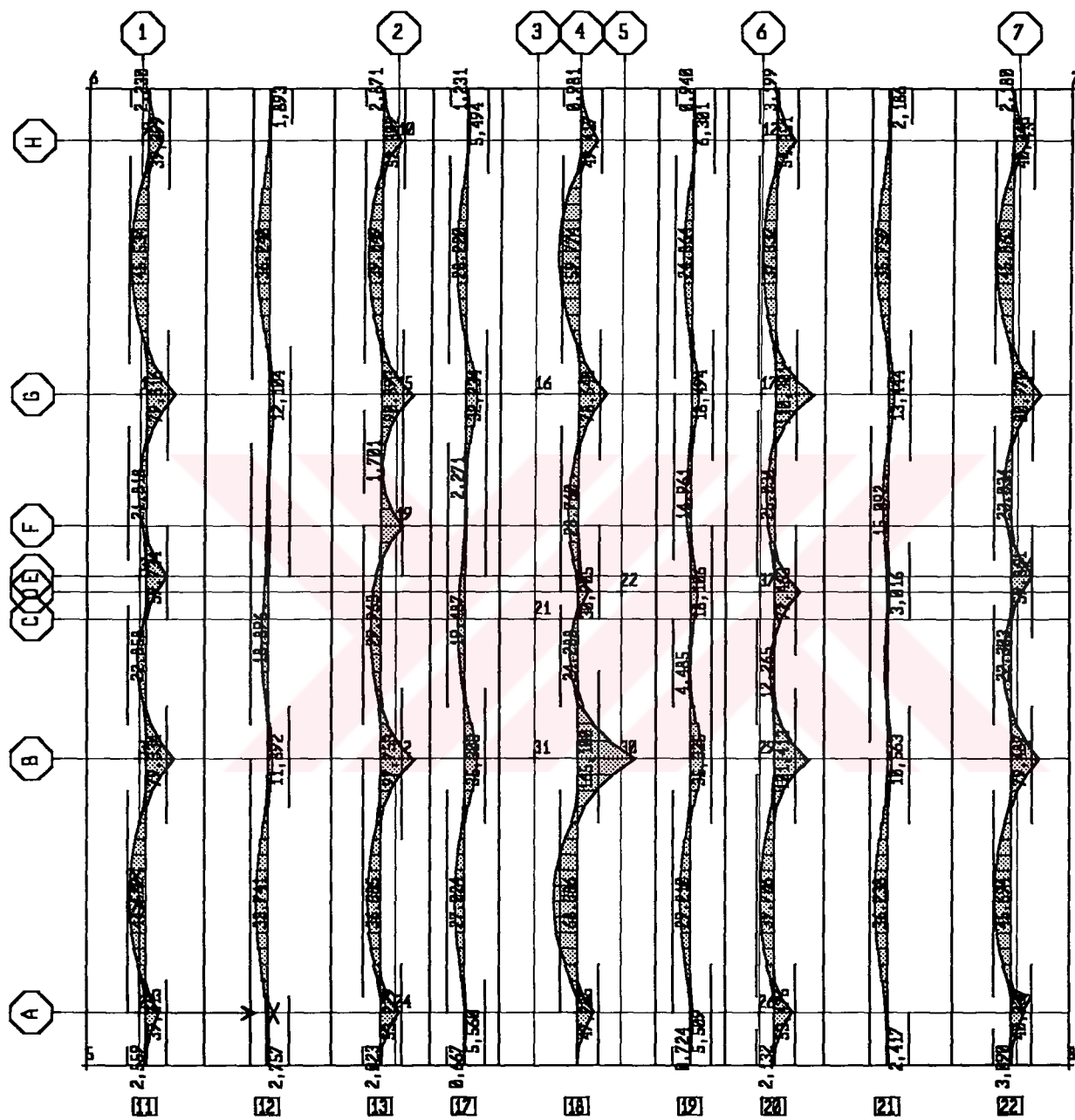
Şekil C.3 Düşey Yükleme İçin Zemin Emniyet Gerilmeleri



Şekil C.4 Zımbalama Dayanımı Oranları



Şekil C.5 X Yönü Şerit Donatı Miktarı



Şekil C.6 Y Yönü Şerit Donatı Miktarı

## EK D

Y - S T R I P    R E I N F O R C I N G    (for whole strip in Sq-cm)

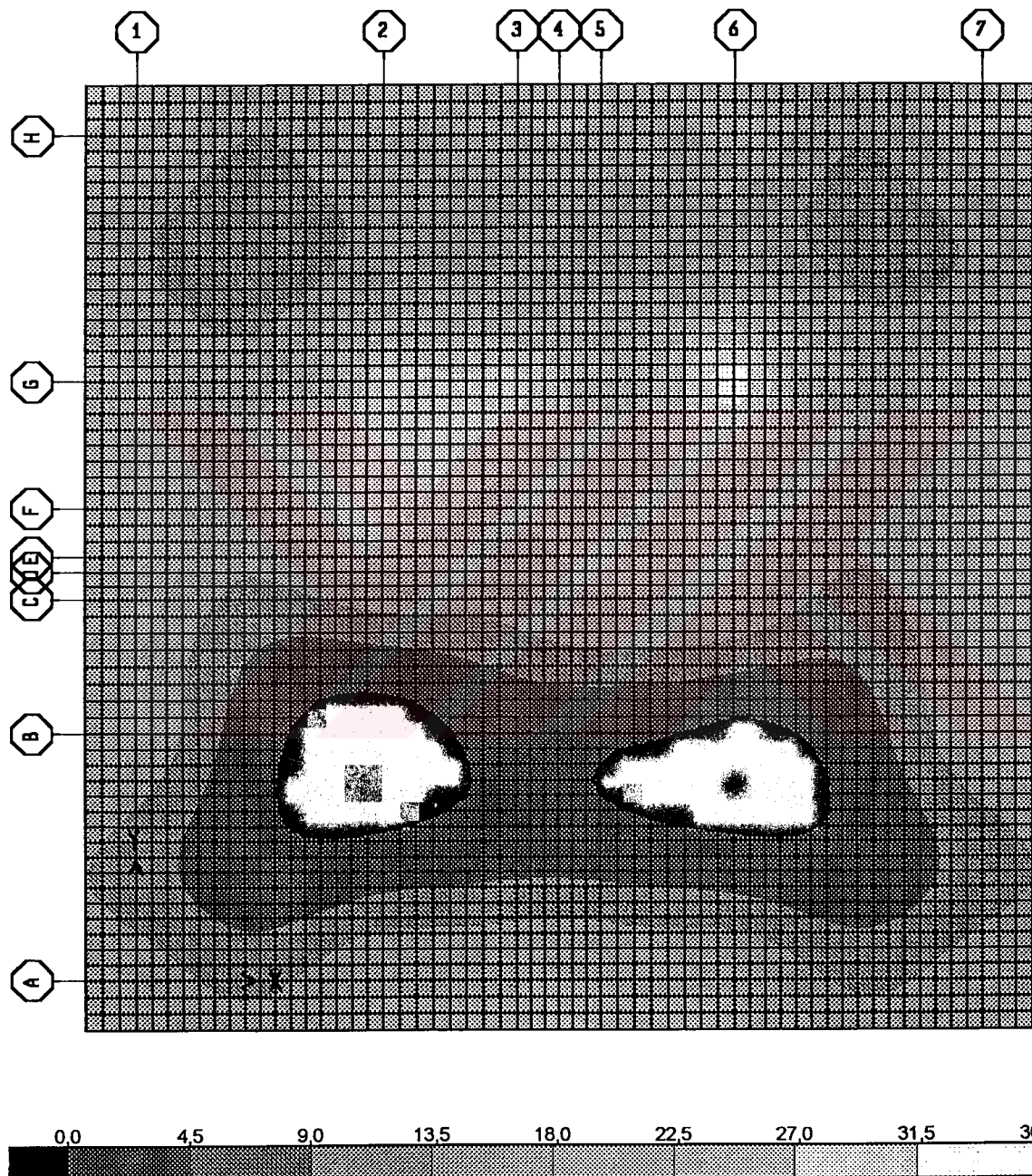
Y-STRIP ID	STRIP WIDTH	STATION Y-ORDINATE	TOP-REBAR LEFT OF Y	TOP-REBAR RIGHT OF Y	BOT-REBAR LEFT OF Y	BOT-REBAR RIGHT OF Y
18	4,500	-1,500		1,651		1,458
18	4,500	-1,000		0,000	5,002	4,874
18	4,500	-0,500			20,039	19,622
18	4,500	0,000			45,640	47,285
18	4,500	0,463			12,332	12,591
18	4,500	0,925	14,397	14,003		
18	4,500	1,388	34,821	34,445		
18	4,500	1,850	49,763	49,605		
18	4,500	2,306	59,837	59,954		
18	4,500	2,763	65,726	66,142		
18	4,500	3,219	67,682	68,386		
18	4,500	3,675	65,763	66,738		
18	4,500	4,131	59,852	61,114		
18	4,500	4,588	49,707	51,291		
18	4,500	5,044	34,939	36,946		
18	4,500	5,500	24,904	25,000	4,661	3,083
18	4,500	5,963	23,163	23,188	38,703	34,098
18	4,500	6,425	21,000	20,405	84,734	78,623
18	4,500	6,888	17,707	16,251	148,345	142,798
18	4,500	7,350	12,821	34,268	239,423	265,860
18	4,500	7,850	34,928	30,914	161,369	163,356
18	4,500	8,350	32,300	30,929	90,775	95,303
18	4,500	8,850	28,782	27,916	44,235	48,266
18	4,500	9,350	23,897	23,038	11,842	14,637
18	4,500	9,850	20,459	18,333		
18	4,500	10,350	26,470	25,338	0,947	1,606
18	4,500	10,850	36,191	36,109	8,014	9,268
18	4,500	11,350	41,309	29,306	28,239	19,527
18	4,500	11,750	30,077	31,199	40,054	42,513
18	4,500	12,150	29,252	18,390	69,177	60,710
18	4,500	12,600	23,893	24,622	30,723	35,176
18	4,500	13,083	27,833	28,254	13,017	15,992
18	4,500	13,567	29,323	29,600	6,818	8,110
18	4,500	14,050	29,076	29,500	1,968	2,929
18	4,500	14,525	28,760	28,303		
18	4,500	15,000	26,728	26,627		
18	4,500	15,475	22,754	23,510		0,000
18	4,500	15,950	19,219	20,134	3,468	2,874
18	4,500	16,425	15,017	16,160	17,659	16,139
18	4,500	16,900	10,051	11,672	37,621	35,409
18	4,500	17,375	4,195	5,729	65,484	64,018
18	4,500	17,850			104,956	92,283
18	4,500	18,313	2,127	1,732	52,010	53,041
18	4,500	18,775	4,480	3,233	22,722	23,880
18	4,500	19,238	12,451	11,590	9,013	8,759
18	4,500	19,700	22,731	22,823	3,035	2,749
18	4,500	20,156	35,845	36,307		
18	4,500	20,613	46,028	46,711		
18	4,500	21,069	53,328	54,082		
18	4,500	21,525	57,664	58,456		
18	4,500	21,981	58,958	59,774		
18	4,500	22,438	57,031	57,914		
18	4,500	22,894	51,632	52,622		
18	4,500	23,350	42,377	43,494		
18	4,500	23,813	28,503	29,721		
18	4,500	24,275	9,427	10,576		
18	4,500	24,738			15,891	14,926
18	4,500	25,200			49,417	48,784
18	4,500	25,700			32,018	31,740
18	4,500	26,200	1,870	1,425	5,587	5,529
18	4,500	26,700	3,188		3,161	

## Y - S T R I P D E S I G N M O M E N T S

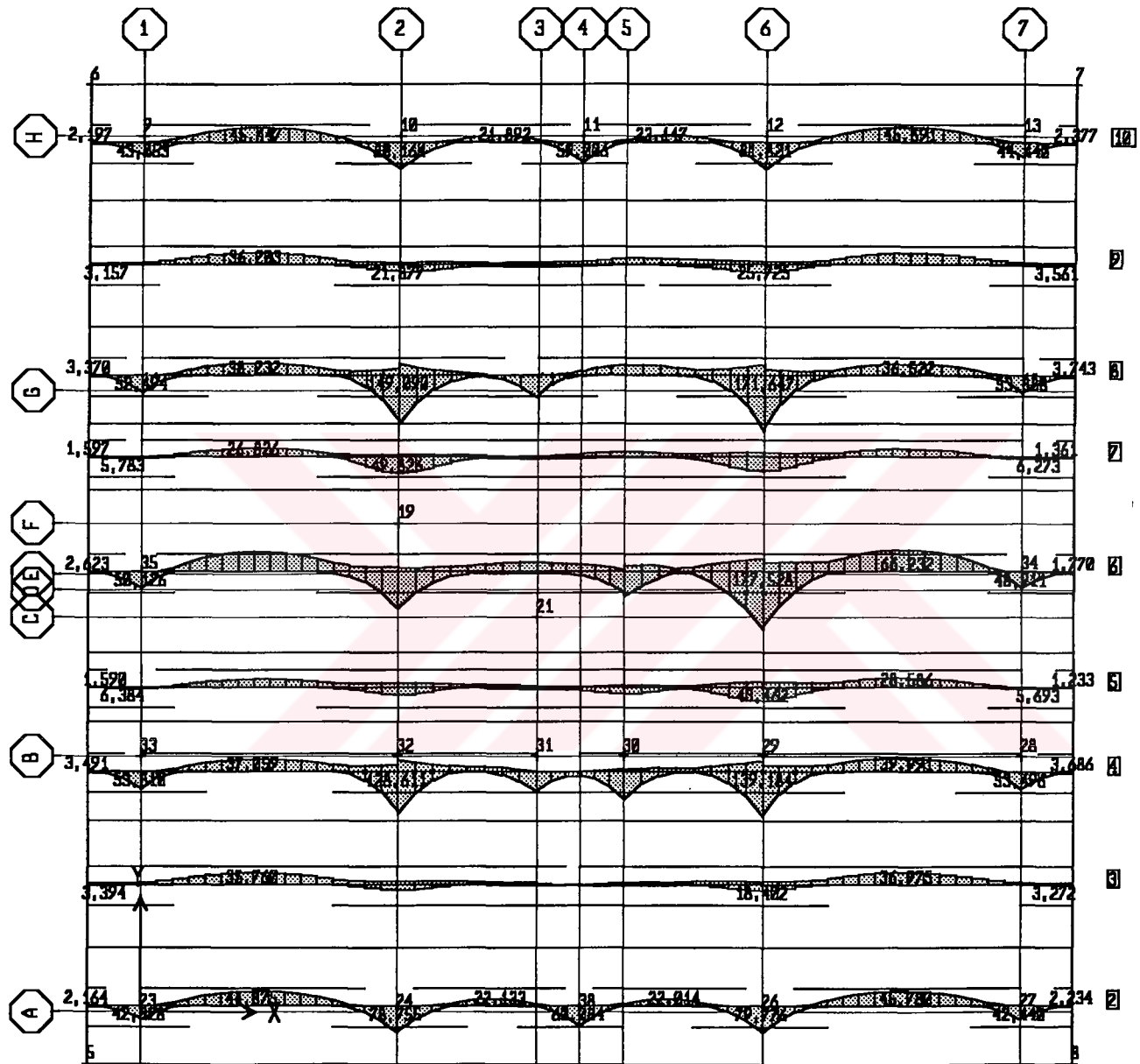
Y-STRIP ID	STRIP WIDTH	STATION Y-ORDINATE	TOP-MOMENT LEFT OF Y	TOP-MOMENT RIGHT OF Y	BOT-MOMENT LEFT OF Y	BOT-MOMENT RIGHT OF Y
18	4,500	-1,500		-5,725 75ZGQEX		5,055 75ZGQAX
18	4,500	-1,000		-2,916 75ZGQEX	17,320 14G16Q	16,878 75ZGQAY
18	4,500	-0,500			68,968 14G16Q	67,546 14G16Q
18	4,500	0,000			155,458 14G16Q	160,951 14G16Q
18	4,500	0,463			42,574 14G16Q	43,465 14G16Q
18	4,500	0,925	-49,665 14G16Q	-48,312 14G16Q		
18	4,500	1,388	-119,129 14G16Q	-117,861 14G16Q		
18	4,500	1,850	-169,217 14G16Q	-168,689 14G16Q		
18	4,500	2,306	-202,634 14G16Q	-203,021 14G16Q		
18	4,500	2,763	-222,037 14G16Q	-223,405 14G16Q		
18	4,500	3,219	-228,464 14G16Q	-230,771 14G16Q		
18	4,500	3,675	-222,161 14G16Q	-225,362 14G16Q		
18	4,500	4,131	-202,685 14G16Q	-206,850 14G16Q		
18	4,500	4,588	-169,027 14G16Q	-174,303 14G16Q		
18	4,500	5,044	-119,526 14G16Q	-126,291 14G16Q		
18	4,500	5,500	-85,543 75ZGQAY	-85,871 75ZGQAY	16,143 75ZGQEY	10,685 75ZGQEY
18	4,500	5,963	-79,621 75ZGQAY	-79,704 75ZGQAY	132,201 75ZGQEY	116,690 75ZGQEY
18	4,500	6,425	-72,250 75ZGQAY	-70,218 75ZGQAY	284,014 75ZGQEY	264,200 75ZGQEY
18	4,500	6,888	-60,999 75ZGQAY	-56,018 75ZGQAY	483,812 75ZGQEY	467,114 75ZGQEY
18	4,500	7,350	-44,254 75ZGQAY	-117,265 75ZGQAY	751,048 75ZGQEY	824,213 75ZGQEY
18	4,500	7,850	-119,489 75ZGQAY	-112,692 75ZGQAY	523,398 75ZGQEY	529,696 75ZGQEY
18	4,500	8,350	-110,617 75ZGQAY	-105,980 75ZGQAY	303,499 75ZGQEY	318,041 75ZGQEY
18	4,500	8,850	-98,711 75ZGQAY	-95,774 75ZGQAY	150,756 75ZGQEY	164,224 75ZGQEY
18	4,500	9,350	-82,118 75ZGQAY	-79,194 75ZGQAY	40,892 75ZGQEY	50,486 75ZGQEY
18	4,500	9,850	-70,402 14G16Q	-63,141 14G16Q		
18	4,500	10,350	-90,866 75ZGQEY	-87,021 75ZGQAY	3,285 75ZGQAY	5,568 75ZGQAY
18	4,500	10,850	-123,748 75ZGQEY	-123,469 75ZGQAY	27,717 75ZGQAY	32,035 75ZGQAY
18	4,500	11,350	-140,953 75ZGQEY	-100,484 75ZGQAY	96,868 75ZGQAY	67,221 75ZGQAY
18	4,500	11,750	-103,096 75ZGQEY	-106,894 75ZGQAY	136,742 75ZGQAY	144,992 75ZGQAY
18	4,500	12,150	-100,304 75ZGQEY	-63,336 75ZGQAY	233,365 75ZGQAY	205,517 75ZGQAY
18	4,500	12,600	-82,105 75ZGQEY	-84,585 75ZGQAY	105,784 75ZGQAY	120,327 75ZGQAY
18	4,500	13,083	-95,491 75ZGQEY	-96,920 75ZGQAY	44,919 75ZGQAY	55,129 75ZGQAY
18	4,500	13,567	-100,545 75ZGQEY	-101,483 75ZGQAY	133,193 75ZGQAY	128,047 75ZGQAY
18	4,500	14,050	-99,706 75ZGQEY	-101,144 75ZGQAY	6,814 75ZGQAY	10,147 75ZGQAY
18	4,500	14,525	-98,636 14G16Q	-97,105 75ZGQAY		

## Y - S T R I P   D E S I G N   M O M E N T S

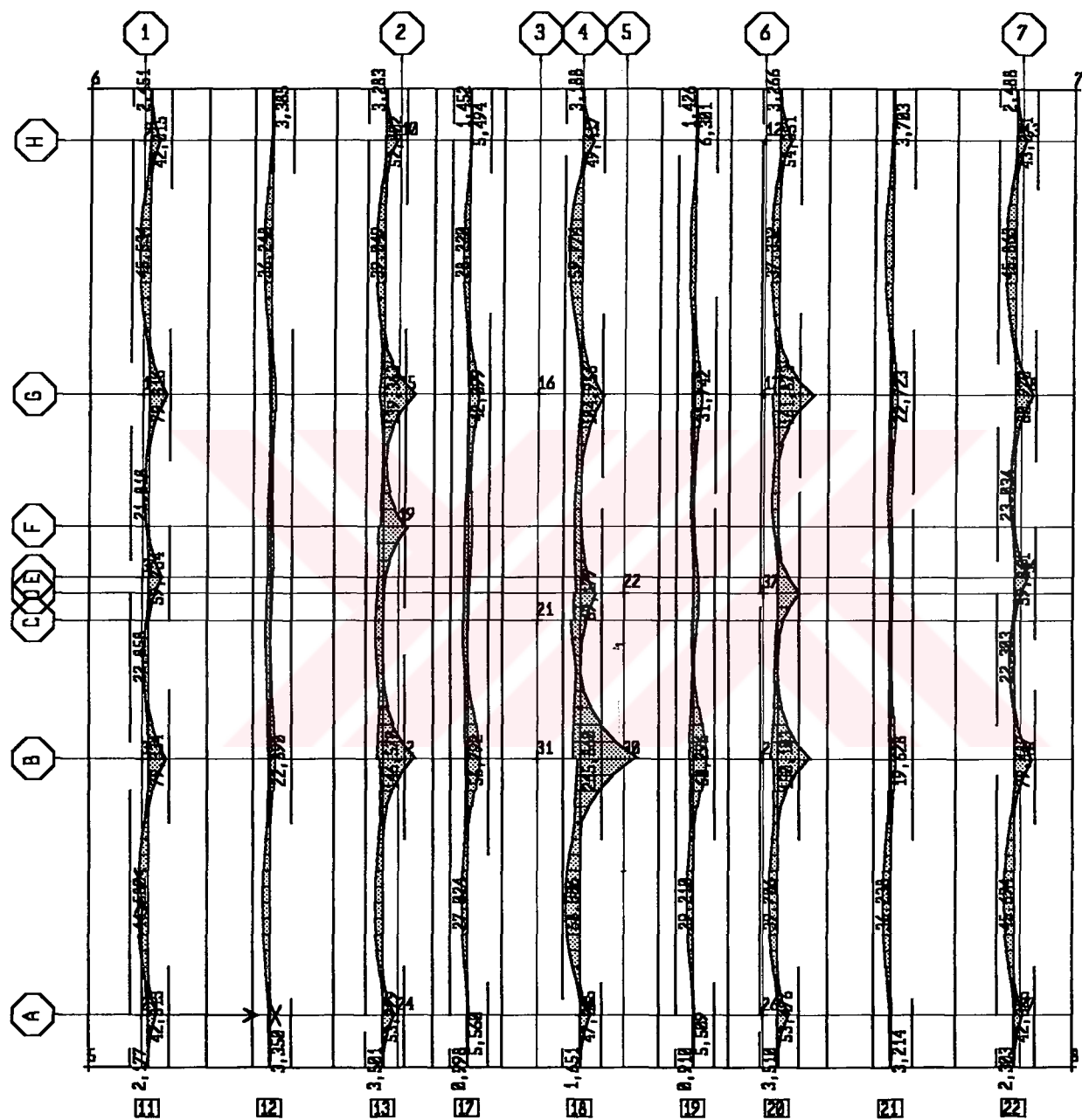
Y-STRIP ID	STRIP WIDTH	STATION	TOP-MOMEMT LEFT OF Y	TOP-MOMEMT RIGHT OF Y	BOT-MOMEMT LEFT OF Y	BOT-MOMEMT RIGHT OF Y
18	4,500	15,000	-91,743 14G16Q	-91,400 14G16Q		
18	4,500	15,475	-78,228 75ZGQEY	-80,801 75ZGQEY		1,117 75ZGQEX
18	4,500	15,950	-66,169 75ZGQEY	-69,292 75ZGQEY	12,015 75ZGQAY	9,959 75ZGQAY
18	4,500	16,425	-51,791 75ZGQEY	-55,707 75ZGQEY	60,837 75ZGQAY	55,635 75ZGQAY
18	4,500	16,900	-34,732 75ZGQEY	-40,307 75ZGQEY	128,562 75ZGQAY	121,113 75ZGQAY
18	4,500	17,375	-14,530 14G16Q	-19,831 14G16Q	221,242 14G16Q	216,419 14G16Q
18	4,500	17,850			348,846 75ZGQAY	308,349 75ZGQAY
18	4,500	18,313	-7,372 75ZGQEY	-6,004 75ZGQEY	176,695 75ZGQAY	180,121 75ZGQAY
18	4,500	18,775	-15,516 75ZGQAX	-11,201 75ZGQEY	78,118 75ZGQAY	82,062 75ZGQAY
18	4,500	19,238	-42,986 75ZGQEX	-40,026 75ZGQEX	31,159 75ZGQEX	30,283 75ZGQEX
18	4,500	19,700	-78,149 14G16Q	-78,461 14G16Q	10,516 75ZGQEX	9,528 75ZGQEX
18	4,500	20,156	-122,580 14G16Q	-124,134 14G16Q		
18	4,500	20,613	-156,754 14G16Q	-159,037 14G16Q		
18	4,500	21,069	-181,073 14G16Q	-183,576 14G16Q		
18	4,500	21,525	-195,448 14G16Q	-198,068 14G16Q		
18	4,500	21,981	-199,730 14G16Q	-202,425 14G16Q		
18	4,500	22,438	-193,354 14G16Q	-196,276 14G16Q		
18	4,500	22,894	-175,437 14G16Q	-178,729 14G16Q		
18	4,500	23,350	-144,535 14G16Q	-148,278 14G16Q		
18	4,500	23,813	-97,764 14G16Q	-101,893 14G16Q		
18	4,500	24,275	-32,584 14G16Q	-36,537 14G16Q		
18	4,500	24,738			54,783 14G16Q	51,479 14G16Q
18	4,500	25,200			168,062 14G16Q	165,953 14G16Q
18	4,500	25,700			75,719 14G16Q	74,771 14G16Q
18	4,500	26,200	-6,482 75ZGQEX	-4,942 75ZGQEX	19,340 14G16Q	19,140 14G16Q
18	4,500	26,700	-11,048 75ZGQEX		10,953 75ZGQEX	



Şekil D.1 Depremli Hal İçin Zemin Emniyet Gerilmeleri



Şekil D.2 X Yönü Şerit Donatı Miktarı



Şekil D.3 Y Yönü Şerit Donanı Miktarı

## **ÖZGEÇMİŞ**

Tez sahibi Gonca Balçioğlu, 28 Nisan 1975 tarihinde Kayseri'de doğdu. İlk öğrenimini Gaziantep'te tamamladıktan sonra, orta okul ve liseyi Gaziantep Anadolu Lisesi'nde bitirdi. 1993 yılında İstanbul Teknik Üniversitesi İnşaat Fakültesi, İnşaat Mühendisliği Bölümü'ne girdi. 1997 yılında mezun olduktan sonra aynı üniversitede, Fen Bilimleri Enstitüsünde, Yapı Mühendisliği yüksek lisans programına girmeye hak kazandı. 1998 yılında ERDEMLİ Proje ve Müşavirlik Ltd. Şti.'nde çalışmaya başladı. Halen aynı şirkette çalışmaktadır.